

ՀԱՄԱՐ ԳԱ
Տեղեկագիր

Ֆ Ի Չ Ր Ի Կ Ա
Ф И З И К А

1973

ԽՄԲԱԳՐԱԿԱՆ ԿՈՒԵՊԻԱ

Ա. Յ. Ամատունի, Վ. Մ. Հարությունյան (պատասխանատու խմբագրի տեղակալ), Գ. Մ. Ղարիբյան (պատասխանատու խմբագիր), Է. Դ. Միրզաբեկյան, Մ. Ե. Մովսիսյան, Յու. Գ. Շահնազարյան (պատասխանատու քարտուղար), Է. Գ. Շարոյան, Գ. Ս. Սահակյան, Հ. Հ. Վաղապետյան:

РЕДАКЦИОННАЯ КОЛЛЕГИЯ

Ա. Շ. Амадуни, В. М. Арутюнян (заместитель ответственного редактора), Г. А. Вартапетян, Г. М. Гарибян (ответственный редактор), Э. Г. Мирзабекян, М. Е. Мовсисян, Г. С. Саакян, Э. Г. Шароян, Ю. Г. Шахназарян (ответственный секретарь).

ИЗМЕРЕНИЕ СЕЧЕНИЯ НЕУПРУГОГО ЯДЕРНОГО ВЗАИМОДЕЙСТВИЯ В Pb И Al С ПОМОЩЬЮ ИСКРОВЫХ КАМЕР И ИОНИЗАЦИОННОГО КАЛОРИМЕТРА

Н. Х. БОСТАНДЖЯН, Д. Т. ВАРДУМЯН, Г. А. МАРИКЯН,
К. А. МАТЕВОСЯН

Методом непосредственной регистрации места неупругого взаимодействия адронов в мишенях, расположенных между широкозазорными искровыми камерами, определены величины сечений $\sigma_{Al} = \left(398^{+45}_{-30} \right)$ мбарн и $\sigma_{Pb} = \left(1670^{+240}_{-200} \right)$ мбарн соответственно для алюминия и свинца при средней энергии адронов 450 Гэв.

Установка [1, 2], предназначенная для исследования ядерных взаимодействий, содержит ионизационный калориметр, широкозазорные искровые камеры, расположенные над калориметром, и систему годоскопических счетчиков Гейгера-Мюллера. В калориметре—9 рядов ионизационных камер, расположенных между слоями железа с общей толщиной 820 г/см². Над первым рядом находится свинцовый поглотитель толщиной 45 г/см², предназначенный для выделения электронно-фотонной компоненты.

Когда заряженная частица проходила через ряды счетчиков Гейгера-Мюллера, один из которых находился над искровыми камерами, а другой—под ними, и в калориметре (II—VIII рядах) образовывала ливень с числом частиц, большим порогового ($E \geq 10^{11}$ эв), происходила регистрация событий. С целью уменьшения доли боковых событий крайние ионизационные камеры в рядах калориметра были исключены из схемы совпадений. Эффективная светосила установки составляла 0,25 м² стерадиан.

Искровые камеры служат для определения направления первичной ядерно-активной частицы, регистрируемой калориметром, и установления места неупругого взаимодействия в мишенях, расположенных между камерами, а также для определения числа и направления вторичных частиц этого взаимодействия.

В одной серии измерений над калориметром находились 4 искровые камеры с размерами 106×60×10 см³, между которыми в одном отсеке находилась свинцовая мишень толщиной 28 г/см² и алюминиевая мишень толщиной 2,7 г/см² (электроды камер), а в остальных двух—алюминиевая мишень толщиной 16,6 г/см². В другой серии вместо нижних двух искровых камер с межэлектродным зазором по 10 см стояли подобные же камеры с зазором по 20 см, что увеличивало точность определения места взаимодействия.

Сечение неупругого ядерного взаимодействия измерялось методом непосредственного определения числа (N_1) частиц, прошедших через мишени без взаимодействия, и частиц (N_2), претерпевших неупругое взаимодей-

ствие. Сечение взаимодействия, например, для свинца определялось формулой

$$\sigma_{pb} = \frac{A}{x_{pb} N} \left[\ln \left(1 + \frac{N_2}{N_1} \right) - \frac{x_{Al}}{\lambda_{Al}} \right],$$

где x_{pb} — толщина свинца, x_{Al} — толщина алюминия, λ_{Al} — пробег неупругого взаимодействия в алюминии, A — атомный вес свинца, N — число Авогадро. Для λ_{Al} была взята величина, полученная в этом эксперименте.

Отбирались случаи, удовлетворяющие следующим критериям. Требовалось, чтобы

- 1) четко выделенный электронно-ядерный ливень был зарегистрирован не менее чем в четырех рядах (не считая I ряда) калориметра;
- 2) направление ствола ливня в калориметре в пределах не более чем 5° совпадало с направлением первичной частицы в искровом телескопе;
- 3) в случае структурного ливня в каждом ряду ионизационных камер между ливнями было не менее двух несработавших камер и по искровому телескопу четко определялось направление первичной частицы отбираемого ливня.

В основном отбирались одиночные частицы и считалось, что частица неупруго провзаимодействовала в той или иной мишени, если наблюдались $n_s \geq 2$ вторичных частиц. Согласно нашим опытным данным пространственная разрешающая способность искровой камеры составляла две частицы на 1 см, что в расчете на углы соответствует 5° для камеры с межэлектродным зазором 10 см и еще меньше при зазоре 20 см.

Как известно, при взаимодействиях частиц высокой энергии ($E = 10^{11} - 10^{12}$ эв) угол разлета частиц меньше 5° и поэтому весь узкий конус вторичных частиц выглядит как один след. Однако благодаря наличию частиц широкого конуса эффективность регистрации таких взаимодействий довольно высока. Как показала обработка сводных данных [3] по взаимодействиям с ядрами атомов ядерной эмульсии, в угловом диапазоне ($5^\circ - 35^\circ$) в среднем на взаимодействие приходится 6,1 частиц и 4,9 частиц при энергиях первичной частицы соответственно 10^{11} эв и 10^{12} эв.

Все вторичные частицы имеют энергию больше 200 Мэв и, следовательно, выходят из мишени, в которой они рождаются, и с большой вероятностью могут быть зарегистрированы последующей искровой камерой.

Принятые нами критерии не учитывают те события, в которых родилась только одна частица. В работе [4], где энергия первичных частиц была 100 Гэв, из 52 случаев изученных методом ядерной фотоэмульсии взаимодействий нет событий с $n_s = 1$ и имеются только 2 случая с $n_s = 2$ и всего 8 случаев с $n_s = 5$.

Таким образом, с учетом 96% эффективности регистрации искровыми камерами двух следов при больших задержках (10—15 мксек) доля незарегистрированных взаимодействий будет меньше, чем 0,2%.

В использованном методе величина сечения неупругого взаимодействия может быть занижена из-за регистрации установкой электромагнит-

ных взаимодействий мюонов в поглотителе калориметра. Нами оценено ожидаемое число событий, обусловленных прохождением мюонов через установку. Согласно этим оценкам в общем числе отобранных событий вклад мюонов не превышает 6%. Выделение таких событий проведено экспериментально при помощи каскадных кривых, рассчитанных для железа с учетом порога регистрации ионизации в отдельном канале усилителя. Требовалось также, чтобы распределение ионизации по глубине калориметра в пределах ошибок соответствовало теоретическим расчетам электромагнитного каскада. Исключая эти события из анализа, мы получаем результаты, почти полностью свободные от влияния мюонов.

В рассматриваемом интервале энергий ядерно-активных частиц основным электромагнитным процессом, который может приводить к ложному представлению акта неупругого взаимодействия, происшедшего в мишени, расположенной между искровыми камерами, является образование δ -электронов больших энергий.

Нами была рассчитана вероятность того, что ядерно-активная частица в мишени установки, расположенной между искровыми камерами, выбьет δ -электрон, который может быть зарегистрирован нижней искровой камерой, и что в принципе его нельзя отличить от акта неупругого взаимодействия ядерно-активной частицы в данной мишени. Вклад таких энергичных δ -электронов, которые могут имитировать неупругие ядерные взаимодействия, порядка 0,6%.

Сводка экспериментальных данных приведена в таблице, где σ — сечение, соответствующее данному пробегу неупругого взаимодействия.

Приведенные ошибки в определении сечения включают в себя статистические ошибки и поправки, учитывающие геометрию установки и наличие мюонов в потоке заряженных частиц, а также возможное образование δ -электронов [5]. Средняя энергия частиц, включенных в общую статистику, составляет 450 Гэв.

Таблица

Мишень	N_1	N_2	σ , мбарн	α
Al	685	112	398^{+45}_{-30}	$0,71^{+0,10}_{-0,12}$
Pb	382	66	1670^{+240}_{-200}	

Используя полученные значения сечения неупругого взаимодействия адронов с ядрами атомов свинца и алюминия, можно определить показатель в формуле зависимости сечения от атомного веса вещества ($\sigma = \sigma_0 A^\alpha$)

$$\alpha = 0,71 \pm 0,10$$

В заключение выражаем благодарность А. П. Оганесяну, А. К. Унаняну и Р. А. Еринджакяну за активную помощь в проведении эксперимента.

Л И Т Е Р А Т У Р А

1. Н. Х. Бостанджян, Д. Т. Вардумян, Г. А. Марикян, К. А. Матевосян, А. П. Оганесян. ПТЭ, 1, 43 (1969).
2. Д. Т. Вардумян, Г. А. Марикян, К. А. Матевосян, А. П. Оганесян. Изв. АН АрмССР, Физика, 2, 47 (1967).
3. Т. Kobayashi. Science Enginery Research. Lab. Wareale Univ., Tokyo, Japan, 1963.
4. E. Lohman, M. Teucher, M. Shein. Phys. Rev., 122, 672 (1961).
5. К. А. Матевосян. Кандидатская диссертация, Ереван, 1971.

ԿԱՊԱՐԻ ԵՎ ԱԼՅՈՒՄԻՆԻՈՒՄԻ ՄԵՋ ՈՋ ԱՌԱՋԳԱԿԱՆ ՄԻՋՈՒԿԱՅԻՆ
ՓՈՒՍԱԶԴԵՑՈՒԹՅԱՆ ԿՏՐՎԱՍՔԻ ՉԱՓՈՒՄԸ ԿԱՅԾԱՅԻՆ ԽՑԻԿՆԵՐԻ
ԵՎ ԻՈՆԱՅՄԱՆ ԿԱԼՈՐԻՄԵՏՐԻ ՕԳՆՈՒԹՅԱՄԲ

Ն. Խ. ԲՈՍՏԱՆՋՅԱՆ, Գ. Տ. ՎԱՐԴՈՒՄՅԱՆ, Գ. Հ. ՄԱՐԻԿՅԱՆ, Կ. Ա. ՄԱԹԵՎՈՍՅԱՆ

Կայծային խցիկների միջև գտնվող թիրախներում ազրոնների ոչ առաձգական միջուկային փոխազդեցության տեղի անմիջական արձանագրման եղանակով որոշվել է փոխազդեցության կարվածքների մեծությունը՝ $\sigma_{Al} = (398 \pm 45)$ մբարև և $\sigma_{Pb} = (1670 \pm 240)$ մբարև, համապատասխանաբար ալյումինիումի ու կապարի համար, ազրոնների էներգիայի 450 ԳԵՎ միջին արժեքի դեպքում:

MEASUREMENT OF THE CROSS SECTION OF INELASTIC NUCLEAR INTERACTIONS IN LEAD AND ALUMINUM BY MEANS OF SPARK CHAMBERS AND IONISATION CALORIMETER

N. Kh. BOSTANJIAN, D. T. VARDUMIAN, G. H. MARIKIAN, K. A. MATEVOSIAN

The cross sections of inelastic interactions of cosmic ray hadrons of average energies 450 GeV have been measured by direct registration of the place of interaction in target between wide-gap spark chambers. The cross sections were found to be $\sigma_{Al} = (398 \pm 45)$ mb and $\sigma_{Pb} = (1670 \pm 240)$ mb in aluminum and lead respectively.

КВАНТОВЫЕ ЭФФЕКТЫ ПРИ ВЗАИМОДЕЙСТВИИ ЭЛЕКТРОНОВ С ПЛОСКОЙ ЭЛЕКТРОМАГНИТНОЙ ВОЛНОЙ В СРЕДЕ

С. Г. ОГАНЕСЯН, Г. К. АВЕТИСЯН

Рассматривается квантовое движение частицы со спином $1/2$ в поле плоской электромагнитной монохроматической волны в среде. Получены волновые функции электрона в поле для случая, когда волна циркулярно поляризована, а начальная скорость электрона направлена вдоль распространения волны. Показано, что в среде снимается вырождение состояний электрона по спину. Расщепление энергии приводит к появлению новых частот в процессах рассеяния.

1. В работах [1—5] было рассмотрено движение заряженной частицы в поле плоской электромагнитной волны в среде. Оказывается, что в среде с показателем преломления $n > 1$ при интенсивностях волны, больших некоторого критического значения, возникают новые эффекты отражения и захвата частицы волной. При этом квантовые эффекты без учета спина не меняют классического характера движения частицы, поскольку оптическая длина реального электромагнитного импульса всегда много больше комптоновской длины волны частицы. Однако, если учитывать спин частицы, то взаимодействие его с магнитным полем приведет к новым квантовым эффектам, отсутствующим в вакууме. Основной эффект, возникающий в среде из-за спинового взаимодействия, — это расщепление энергетических состояний электрона в поле волны. Снятие вырождения в среде легко понять, если перейти в сопутствующую систему волны. В этой системе электрическое поле волны отсутствует, а магнитное поле — статическое. Взаимодействие спина с таким полем приводит к расщеплению энергетических уровней частицы и в режиме захвата, полученном в [1—5], теперь появляются два критических значения, зависящие от направления проекции спина. Это обстоятельство можно использовать для поляризации пучка частиц: поскольку для разных направлений спина критические поля отражения или захвата частицы разные, то при определенной интенсивности волны будут отражаться или захватываться только частицы с одинаковыми направлениями спина. Расщепление энергетических уровней приведет также и к изменению спектра электродинамических эффектов.

Перейдем теперь к точному решению уравнения Дирака и к количественному рассмотрению указанных эффектов.

2. Рассмотрим движение частицы со спином $1/2$ в поле плоской монохроматической волны циркулярной поляризации. Задача решается точно только в том случае, когда начальная скорость частицы направлена вдоль (или против) распространения волны. Выберем ось z вдоль этого направления. Тогда уравнение для спинора $f \begin{pmatrix} f_1 \\ f_2 \end{pmatrix}$ в поле волны

$$A_x = A_0 \sin \omega_0 \left(t - n_0 \frac{z}{c} \right), \quad A_y = A_0 \cos \omega_0 \left(t - n_0 \frac{z}{c} \right) \quad (1)$$

запишется в виде [6]

$$\left\{ \hbar^2 \frac{\partial^2}{\partial t^2} + c^2 \left(\vec{p} - \frac{e}{c} \vec{A} \right)^2 - \hbar e c \vec{\sigma} (\vec{H} + i \vec{E}) + m^2 c^4 \right\} f = 0, \quad (2)$$

где \vec{p} — оператор импульса частицы, \vec{E} и \vec{H} — напряженности электрического и магнитного полей волны, σ_i — матрицы Паули.

Спинор f определяет волновую функцию частицы [6]

$$\psi = \frac{1}{mc^2} \left[i \hbar \beta \frac{\partial}{\partial t} - c \vec{\alpha} \left(\vec{p} - \frac{e}{c} \vec{A} \right) + mc^2 \right] \begin{pmatrix} f \\ -f \end{pmatrix}, \quad (3)$$

где $\vec{\alpha} = \begin{pmatrix} 0 & \vec{\sigma} \\ \vec{\sigma} & 0 \end{pmatrix}$ и $\beta = \begin{pmatrix} 1 & 0 \\ 0 & -1 \end{pmatrix}$ — матрицы Дирака.

Уравнение (2) представляет собой систему двух дифференциальных уравнений второго порядка для компонент спинора f_1 и f_2 . Если перейти от z и t к волновым переменным $\eta = t - n_0 \frac{z}{c}$ и $\zeta = t + n_0 \frac{z}{c}$ и искать решение этого уравнения в виде

$$f = e^{-\frac{i}{2\hbar} \lambda \zeta} \begin{pmatrix} f_1(\eta) \\ f_2(\eta) \end{pmatrix}, \quad \lambda = E - \frac{c}{n_0} p_z = \text{const}, \quad (4)$$

то переменные η и ζ разделяются и получается дифференциальное уравнение четвертого порядка по переменной η , характеристические корни которого есть

$$\begin{aligned} Q_{1,2,3,4} = & -\frac{\omega_0}{2} + \frac{\lambda(n_0^2 + 1)}{2\hbar(n_0^2 - 1)} \pm \\ & \pm \frac{E_0}{\hbar(n_0^2 - 1)} \sqrt{\left[1 - n_0 \frac{v_0}{c} \mp \frac{\hbar \omega_0}{2E_0} (n_0^2 - 1) \right]^2 - (n_0^2 - 1) \left(1 - \frac{v_0^2}{c^2} \right) \xi^2}. \end{aligned} \quad (5)$$

С помощью (5) легко получить энергию частицы в поле

$$\begin{aligned} E = & \pm \frac{1}{2} \hbar \omega_0 + \frac{\lambda n_0^2}{n_0^2 - 1} \pm \\ & \pm \frac{E_0}{n_0^2 - 1} \sqrt{\left[1 - n_0 \frac{v_0}{c} \mp \frac{\hbar \omega_0}{2E_0} (n_0^2 - 1) \right]^2 - (n_0^2 - 1) \left(1 - \frac{v_0^2}{c^2} \right) \xi^2}, \end{aligned} \quad (6)$$

соответствующую падающей и отраженной частице (знаки «минус» и «плюс» перед корнем) с учетом спинового расщепления («плюс» и «минус» под корнем соответствуют спину, направленному вдоль и против оси z). Если пренебречь спином частицы, то (6) переходит в классическое выражение для отражения и захвата [1—4]. Легко видеть, что в вакууме рас-

щепление исчезает и выражение для энергии совпадает с выражением, полученным Волковым [7].

Оценим расщепление энергии частицы при интенсивностях, далеких от критических,

$$\Delta E = \hbar (\Omega_1 - \omega_0 - \Omega_2) \simeq \frac{\hbar \omega_0}{2} \left(\frac{\xi}{\xi_{кр}^{кл.}} \right)^2,$$

где $\xi_{кр}^{кл.} = \left| 1 - n_0 \frac{v_0}{c} \right| / \sqrt{(n_0 - 1) \left(1 - \frac{v_0^2}{c^2} \right)}$ — классическое выражение критического значения поля ($\xi^2 = e^2 A^2 / m^2 c^4$ — релятивистски-инвариантный параметр интенсивности). При $\xi \sim \xi_{кр}^{кл.}$ получаем $\Delta E \sim 1$ эв.

Расщепление становится довольно большим для первоначально покоящихся частиц, когда $\xi_{кр} = \frac{1 - (n_0^2 - 1)\hbar\omega_0/2mc^2}{\sqrt{n_0^2 - 1}}$. При этом $\Delta E \simeq \sqrt{mc^2 \hbar \omega_0} \sim \sim 10^3$ эв. Критическое значение можно уменьшить, если, например, начальная скорость удовлетворяет условию $1 - n_0 \frac{v_0}{c} = \mu \ll 1$; тогда

$\xi_{кр} \simeq \mu$ и расщепление будет $\Delta E \simeq \hbar \omega_0 \left[\sqrt{2\mu \frac{mc^2}{\hbar \omega_0} - 1} \right] \sim 50$ эв при $\mu \sim 10^{-3}$.

Приведем теперь окончательный вид волновой функции частицы в поле волны. Если в волну входит частица, поляризованная против оси z , то падающая частица описывается волновой функцией

$$\psi^- = c_1 e^{i \frac{p^-}{\hbar} z - i \frac{E^-}{\hbar} t} \begin{pmatrix} (a_1 + a_2) e^{i\omega_0 t} \\ a_3 + 1 \\ (a_1 - a_2) e^{i\omega_0 t} \\ a_3 - 1 \end{pmatrix}, \quad (7)$$

где

$$a_1 = \frac{a_2}{mc^2} \frac{(n_0 + 1)(E_0 - cp_0)}{n_0 - 1},$$

$$a_2 = i \frac{(n_0 - 1)(E^- - E_0)}{mc^2 \xi},$$

$$a_3 = \frac{E_0 - cp_0}{mc^2}.$$

Энергия и импульс при этом будут

$$E^- = \hbar \Omega_1 + \frac{\hbar}{2},$$

$$p^- = \frac{n_0}{c} \left(\hbar \Omega_1 - \frac{\hbar}{2} \right).$$

В случае обратной поляризации имеем

$$\psi^+ = c_2 e^{i \frac{p^-}{\hbar} z - i \frac{E^-}{\hbar} t} \begin{pmatrix} b_3 + 1 \\ (b_1 + b_2) e^{-i\omega_0 \tau} \\ b_3 - 1 \\ (b_1 - b_2) e^{-i\omega_0 \tau} \end{pmatrix}, \quad (8)$$

где

$$b_1 = \frac{b_2 (n_0 - 1) (E_0 + c p_0)}{m c^2 (n_0 + 1)},$$

$$b_2 = i \frac{(n_0 + 1) (E^+ - E_0)}{m c^2 \xi},$$

$$b_3 = \frac{E_0 + c p_0}{m c^2},$$

а

$$E^+ = \hbar \omega_0 + \hbar \Omega_2 + \frac{\lambda}{2},$$

$$p^+ = \frac{n_0}{c} \left(\hbar \omega_0 + \hbar \Omega_2 - \frac{\lambda}{2} \right).$$

Для нахождения постоянных c_1 и c_2 , входящих в (7) и (8), нормируем волновые функции на одну частицу в единице объема. Тогда

$$c_1 = \sqrt{2} \sqrt{1 + |a_1|^2 + |a_2|^2 + |a_3|^2} = \sqrt{2} \times \\ \times \sqrt{1 + \frac{(E_0 - c p_0)^2}{m^2 c^4} + \frac{(n_0 + 1)^2 (E_0 - c p_0)^2 (E^- - E_0)^2}{(m^2 c^4 \xi)^2} + \frac{(n_0 - 1)^2 (E^- - E_0)^2}{(m c^2 \xi)^2}},$$

$$c_2 = \sqrt{2} \sqrt{1 + |b_1|^2 + |b_2|^2 + |b_3|^2} = \sqrt{2} \times \\ \times \sqrt{1 + \frac{(E_0 + c p_0)^2}{m^2 c^4} + \frac{(n_0 - 1)^2 (E_0 + c p_0)^2 (E^+ - E_0)^2}{(m^2 c^4 \xi)^2} + \frac{(n_0 + 1)^2 (E^+ - E_0)^2}{(m c^2 \xi)^2}}.$$

Отраженные частицы описываются функциями ψ^- и ψ^+ , которые получаются соответственно из ψ^- и ψ^+ заменой $\Omega_1 \rightarrow \Omega_4$ в первом случае и $\Omega_2 \rightarrow \Omega_3$ — во втором. Что касается коэффициентов отражения, то их можно определить, если ввести огибающую монохроматической волны.

В случае вакуума полученные нами волновые функции совпадают с функциями Волкова, а при $\xi = 0$ переходят в волновые функции свободного движения.

3. Рассмотрим теперь излучение электрона в таком поле. Для этого представим волновые функции (7) и (8) в более удобной форме

$$\psi^- = c_1 e^{i \frac{p^-}{\hbar} z - i \frac{E^-}{\hbar} t} (g_1 e^{i\omega_0 \tau} + g_2), \quad (9)$$

$$\psi^+ = c_2 e^{i \frac{p^+}{\hbar} z - i \frac{E^+}{\hbar} t} (g_3 + g_4 e^{-i\omega_0 \tau}),$$

где

$$g_1 = \begin{pmatrix} a_1 + a_2 \\ 0 \\ a_1 - a_2 \\ 0 \end{pmatrix}, \quad g_2 = \begin{pmatrix} 0 \\ a_3 + 1 \\ 0 \\ a_3 - 1 \end{pmatrix}, \quad g_3 = \begin{pmatrix} b_3 + 1 \\ 0 \\ b_3 - 1 \\ 0 \end{pmatrix}, \quad g_4 = \begin{pmatrix} 0 \\ b_1 + b_2 \\ 0 \\ b_1 - b_2 \end{pmatrix}.$$

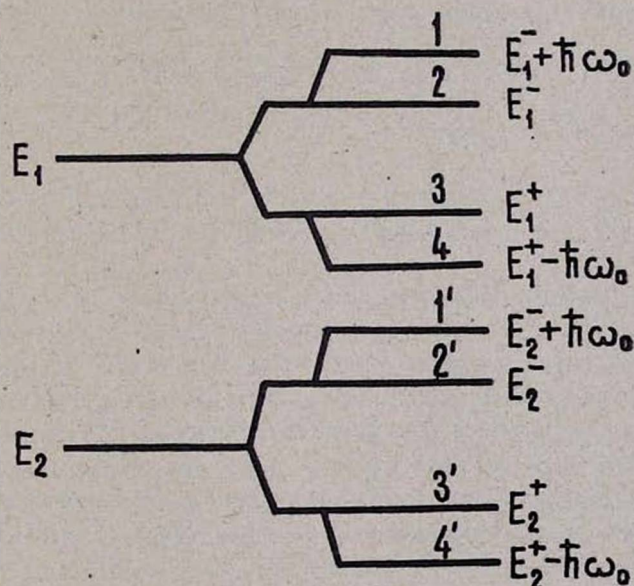
Здесь ψ^- соответствует электрону, который до взаимодействия имел спин $(-1/2)$, а ψ^+ — $(+1/2)$.

Матрица рассеяния, описывающая переход электрона из состояния с энергией E_1 в состояние с энергией E_2 с одновременным излучением фотона с частотой ω и поляризацией γ , имеет вид:

$$S_{1 \rightarrow 2}^{\gamma} = -\frac{ie}{\sqrt{2\omega}} \int \bar{\psi}_2 e_{\mu}^{\gamma} \gamma_{\mu} \psi_1 e^{i(\omega t - kx)} d\omega dt. \quad (10)$$

Волновые функции электрона ψ^{\pm} представляют собой суперпозицию двух состояний, одно из которых чисто электронное (g_2, g_3), а два других (g_1, g_4) — электрон \pm фотон. Учитывая спиновое расщепление, получаем 16 переходов из 4 возможных начальных состояний в четыре конечных состояния (см. рисунок). Из них отличным от нуля элементам S -матрицы соответствуют лишь переходы

$$1 \rightarrow 2', \quad 3 \rightarrow 4'; \quad 2 \rightarrow 1', \quad 4 \rightarrow 3'; \quad 1 \rightarrow 4', \quad 4 \rightarrow 1'.$$



Процессам $1 \rightarrow 2'$ и $3 \rightarrow 4'$ соответствуют законы сохранения

$$\begin{aligned} E_1^{\mp} + \hbar\omega_0 &= E_2^{\mp} + \hbar\omega, \\ p_1^{\mp} + \hbar k_0 &= p_2^{\mp} + \hbar k, \end{aligned} \quad (11)$$

где ω_0, k_0 — частота и волновой вектор падающего фотона, ω, k — излучен-

ного, а $E_{1,2}^{\mp}$ и $p_{1,2}^{\mp}$ даются формулой (6). Из (11) видно, что отличны от нуля поперечники комптоновского рассеяния без переворота спина.

Для наглядности будем считать поле слабым ($\xi \ll 1$) и разлагать все выражения по ξ^2 . При этом будем иметь

$$E^{\mp} = E_0 + \frac{m^2 c^4 \xi^2}{2(E_0 - n_0 c p_0)} \pm \frac{\left(1 - \frac{v_0^2}{c^2}\right) \xi^2}{4 \left(1 - n_0 \frac{v_0}{c}\right)^2} (n_0^2 - 1) \hbar \omega_0 \equiv E_0 + \alpha \xi^2 \pm \beta \xi^2,$$

$$p^{\mp} = p_0 + n_0 \frac{m^2 c^4 \xi^2}{2(E_0 - n_0 c p_0)} \pm n_0 \frac{\left(1 - \frac{v_0^2}{c^2}\right) \xi^2}{4 \left(1 - n_0 \frac{v_0}{c}\right)^2} (n_0^2 - 1) \hbar \omega_0 \equiv p_0 + n_0 \alpha \xi^2 \pm n_0 \beta \xi^2.$$

Воспользовавшись выражениями

$$\left(E^{\mp} \pm \frac{\hbar \omega_0}{2}\right)^2 - \left(E^{\mp} \pm \frac{\hbar k_0}{2} c\right)^2 = m^2 c^4 (1 + \xi^2) - \frac{\hbar^2 \omega_0^2}{4} (n_0^2 - 1) \pm \hbar (\omega_0 E_0 - c^2 k_0 p_0),$$

$$\lambda_2 = \lambda_1 - \left(1 - \frac{n}{n_0}\right) \hbar \omega,$$

$$E_{20} - c n_0 p_{20} = \sqrt{n_0^2 \lambda_1^2 - (n_0^2 - 1) m^2 c^4},$$

можно получить уравнения, определяющие рассеянную частоту ω ,

$$\hbar \omega^2 (1 - n^2) + \omega [-2 \hbar \omega_0 (1 - n_0 n) - 2(E_1^{\mp} - c n p_1^{\mp})] + \hbar \omega_0^2 (1 - n_0^2) + 2 \omega_0 (E_1^{\mp} - c n_0 p_1^{\mp}) = \pm [\omega_0 (E_{20} - E_{10} - \hbar \omega_0 + \hbar \omega) + c^2 k_0 (p_{10} - p_{20} + \hbar k_0 - \hbar k)] \quad (12)$$

$$E_{20} - c n_0 p_{20} = \sqrt{(E_{10} - c n_0 p_{10})^2 - 2 n_0^2 \lambda_1 \hbar \omega \left(1 - \frac{n}{n_0}\right) + \hbar^2 \omega^2 n_0^2 \left(1 - \frac{n}{n_0}\right)^2}.$$

Здесь n — показатель преломления на частоте ω ; λ_1 и λ_2 — сохраняющиеся величины (4) в состояниях с энергиями E_1 и E_2 соответственно.

Без учета спина и отдачи ($\hbar = 0$) выражение для ω , определяемое из (12), совпадает с классическим выражением [8].

Простое выражение для расщепленных частот ω^{\mp} можно получить в случае рассеяния назад. Для ультрарелятивистской частицы за счет доплеровского смещения рассеянная частота оказывается намного больше оптической ($n \approx 1$) и в (12) можно разложить корень в ряд, если потребовать, чтобы

$$E_{10} + c n_0 p_{10} \gg \hbar \omega, \quad E_1 - c p_1 \sim E_{10} - c p_{10} \gg \hbar \omega_0.$$

Последнее условие определяет максимальную начальную скорость частицы:

$$1 - \frac{v_{10}}{c} \gg \left(\frac{\hbar \omega_0}{m c^2}\right)^2 \sim 10^{-12}. \quad \text{При этом рассеиваемые частоты ограничены сверху условием } \omega \ll E_{10} \left(1 + n_0 \frac{v_{10}}{c}\right) / \hbar \sim 10^{26} \text{ сек}^{-1}. \quad \text{При выполнении указанных условий из (12) имеем}$$

$$\omega^{\mp} = \omega_0 \frac{1+n_0 \frac{v_{10}}{c}}{1-\frac{v_{10}}{c}} + \omega_0 \frac{z_1(1-n_0^2)}{E_{10}-cp_{10}} - \omega_0 \frac{z_1(1+n_0) \left(1+n_0 \frac{v_{10}}{c}\right)}{\left(1-\frac{v_{10}}{c}\right)(E_{10}-cp_{10})} (z_1 + \hbar\omega_0) +$$

$$+ \omega_0 \frac{\hbar\omega_0[(1-n_0^2)+2]}{2(E_{10}-cp_{10})} \mp \omega_0 \frac{\beta_1(1+n_0) - z_1\zeta}{2(E_{10}-cp_{10})} \frac{1+n_0 \frac{v_{10}}{c}}{1-\frac{v_{10}}{c}},$$

где

$$\delta = \frac{n_0^2(1-n_0^2) \left(1 + \frac{n}{n_0}\right) \lambda_1 \hbar\omega_0}{(E_{10} + cn_0 p_{10})^2}.$$

Поперечники рассеяния электрона, просуммированные по поляризациям излучаемого фотона, определяются следующими выражениями (при начальной поляризации частицы против оси z и вдоль оси z):

$$\frac{d\sigma_{-}}{dO} = \left(\frac{e^2}{mc^2}\right)^2 \frac{n^2}{n_0} \frac{\omega}{\omega_0} \frac{c}{\pi \left(1-\frac{v_{10}}{c}\right)} \frac{1}{\xi^2} \frac{|c_1|^2 |c_1'|^2 |a_1 a_3' - a_2|^2}{\left| \frac{dE_2^-/\hbar}{dk} + \frac{d\omega^-}{dk} \right|},$$

$$\frac{d\sigma_{+}}{dO} = \left(\frac{e^2}{mc^2}\right)^2 \frac{n^2}{n_0} \frac{\omega}{\omega_0} \frac{c}{\pi \left(1-\frac{v_{10}}{c}\right)} \frac{1}{\xi^2} \frac{|c_2|^2 |c_2'|^2 |b_1' b_3 - b_2'|^2}{\left| \frac{dE_2^+/\hbar}{dk} + \frac{d\omega^+}{dk} \right|},$$

где величины со штрихом относятся к состоянию E_2 , без штриха — к E_1 . Поскольку из-за расщепления частоты различаются, то в отличие от случая вакуума нельзя складывать поперечники для разных начальных поляризаций. Переходя к случаю вакуума и вычисляя с помощью (14) поперечник, усредненный по начальным состояниям спина электрона и проинтегрированный по азимутальному углу, получаем формулу, выведенную Гольдманом [9]. Как и в вакууме, вперед излучается основная частота ω_0 и расщепление отсутствует. Однако в вакууме вероятность излучения не зависит от начальной поляризации электрона. В среде, как мы видим, для разных поляризаций вероятности различны, что будет приводить к частичной поляризации неполяризованного вначале пучка. В частности, измеряя интенсивности излученных назад частот (они расщеплены), можно судить о поляризации начального пучка.

Рассмотрим теперь переходы $2 \rightarrow 1'$ и $4 \rightarrow 3'$. Они соответствуют аномальному рассеянию Комптона [10] с различными начальными поляризациями частицы. В этом случае в первом приближении по \hbar вперед излучаются частоты

$$\omega^{\mp} = \omega_1 + \omega_2^{\mp},$$

$$\omega_1 = -\omega_0 \frac{1 - n_0 \frac{v_{10}}{c}}{1 - n_1 \frac{v_{10}}{c}} + \omega_0 \alpha_1 \frac{1 - n_0 n_1}{\left(1 - n_1 \frac{v_{10}}{c}\right)^2} \left(1 - n_0 \frac{v_{10}}{c}\right) \left[1 + \frac{(n_0^2 - 1) \left(1 - n_1 \frac{v_{10}}{c}\right)}{(1 - n_0 n_1) \left(1 - n_0 \frac{v_{10}}{c}\right)} \right],$$

$$\omega_2^{\mp} = \omega_1 \frac{\hbar \omega_0}{E_{10}} \frac{2(1 - n_0 n_1) - (n_0^2 - 1) \frac{\omega_0}{\omega_1} - (n_1^2 - 1) \frac{\omega_1}{\omega_0}}{1 - n_1 \frac{v_{10}}{c} - n_1'(\omega) \omega_1 \frac{v_{10}}{c}} \quad (15)$$

$$- \omega_1 \beta_1 \frac{[1 - n_0 n_1 - n_0 n_1'(\omega) \omega_1] \left[2(1 - n_0 n_1) - (n_0^2 - 1) \frac{\omega_0}{\omega_1} - (n_1^2 - 1) \frac{\omega_1}{\omega_0} \right]}{2(n_0^2 - 1) \left(1 - n_1 \frac{v_{10}}{c} - n_1'(\omega) \omega_1 \frac{v_{10}}{c}\right)^2} \pm \omega_1 \frac{\beta_1}{E_{10}} \frac{1 - n_0 n_1 - (n_0^2 - 1) \frac{\omega_0}{\omega_1} + 2 n_0^2 \left(1 - \frac{n_1}{n_0}\right) i_1 / (E_{10} - n_0 c p_{10})}{1 - n_0 \frac{v_{10}}{c} - n_1'(\omega) \omega_1 \frac{v_{10}}{c}},$$

которые расщепляются в зависимости от начальной поляризации электрона.

Переходы $2 \rightarrow 3'$ и $3 \rightarrow 2'$ соответствуют черенковскому излучению в поле волны; при этом отличны от нуля лишь вероятности излучения с переворотом спина. При переходе $2 \rightarrow 3'$ электрон меняет поляризацию (проекция спина $-1/2 \rightarrow +1/2$) и излучается фотон с частотой, определяемой из выражения

$$\hbar \omega^2 (1 - n^2) + \omega \left[-2(E_1^- - c n p_1^-) + \beta_1 \frac{2 n_0^2 \left(1 - \frac{n}{n_0}\right) i_1}{E_{10} - c n_0 p_{10}} \right] = 2 \omega_0 \alpha_1 (1 - n_0^2). \quad (16)$$

Вероятность излучения при этом будет

$$\frac{dW_{\mp}}{dO} = \frac{e^2 n^2(\omega) \omega}{4 \pi^2} \left[1 - \frac{(E_{10} - c p_{10})(E_{20} + c p_{20})}{m^2 c^4} \right]^2 \frac{|c_1|^2 |c_2'|^2}{\left| \frac{dE_2^+}{dk} + \hbar \frac{d\omega^{\mp}}{dk} \right|}. \quad (17)$$

При переходе $3 \rightarrow 2'$ (проекция спина $+1/2 \rightarrow -1/2$) для частоты излучения имеем

$$\hbar \omega^2 (1 - n^2) + \omega \left[-2(E_1^+ - c n p_1^+) - \beta_1 \frac{2 n_0^2 \left(1 - \frac{n}{n_0}\right) i_1}{E_{10} - n_0 c p_{10}} \right] = 2 \omega_0 \alpha_1 (n_0^2 - 1), \quad (18)$$

а вероятность излучения есть

$$\frac{dW_{\pm}}{dO} = \frac{e^2 n^2(\omega) \omega}{4\pi^2} \left[1 - \frac{(E_{20} - cp_{20})(E_{10} + cp_{10})}{m^2 c^4} \right]^2 \frac{|c_1'|^2 |c_2'|^2}{\left| \frac{dE_2^-}{dk} + \hbar \frac{d\omega}{dk} \right|}. \quad (19)$$

Переходы $1 \rightarrow 4'$ и $4 \rightarrow 1'$ соответствуют нормальному и аномальному двухфотонному комптоновскому рассеянию с переворотом спина. Поперечник рассеяния (проекция спина $-1/2 \rightarrow +1/2$) дается выражением

$$\frac{d\sigma_{\pm}}{dO} = \left(\frac{e^2}{mc^2} \right)^2 n^2(\omega) \frac{\omega}{\omega_0} \frac{1}{\pi \left(1 - \frac{v_{10}}{c} \right)} \frac{1}{\xi^2} |a_1 b_1'^* - a_2 b_2'^*|^2 \frac{|c_1|^2 |c_2|^2}{\left| \frac{dE_2^+/\hbar}{dk} + \frac{d\omega^+}{dk} \right|}, \quad (20)$$

а для процесса $+1/2 \rightarrow -1/2$ (переход $4 \rightarrow 1'$) имеем

$$\frac{d\sigma_{\pm}}{dO} = \left(\frac{e^2}{mc^2} \right)^2 n^2(\omega) \frac{\omega}{\omega_0} \frac{1}{\pi \left(1 - \frac{v_{10}}{c} \right)} \frac{1}{\xi^2} |a_1'^* b_1 - a_2'^* b_2|^2 \frac{|c_1'|^2 |c_2'|^2}{\left| \frac{dE_2^-/\hbar}{dk} + \frac{d\omega^-}{dk} \right|}. \quad (21)$$

Рассеянные при этом частоты определяются выражениями

$$\omega^{\mp} = \omega_1 + \omega_2^{\mp},$$

$$\omega_1 = -2\omega_0 \frac{1-n_0 \frac{v_{10}}{c}}{1-n_1 \frac{v_{10}}{c}} + \omega_0 \alpha_1 \frac{n_0^2 - 1}{E_{10} \left(1 - n_0 \frac{v_{10}}{c} \right)} \left[1 + 2 \frac{1-n_0 n_1}{n_0^2 - 1} \frac{1-n_0 \frac{v_{10}}{c}}{1-n_1 \frac{v_{10}}{c}} \right], \quad (22)$$

$$\begin{aligned} \omega_2^{\mp} = \omega_1 & \frac{\hbar \omega_0}{2E_{10} \left(1 - n_0 \frac{v_{10}}{c} - n_1'(\omega) \omega_1 \frac{v_{10}}{c} \right)} \left[4(1-n_0 n_1) - 4(n_0^2 - 1) \frac{\omega_0}{\omega_1} - \right. \\ & \left. - (n_1^2 - 1) \frac{\omega_1}{\omega_0} - \frac{\beta_1}{\hbar \omega_0} \frac{2n_0^2 \left(1 - \frac{n_1}{n_0} \right) \lambda_1}{E_{10} \left(1 - n_0 \frac{v_{10}}{c} \right)} \right] - \\ & - \omega_1 \frac{\beta_1 \left(1 - n_0 \frac{v_{10}}{c} \right) (1 - n_0 n_1 - n_0 n_1'(\omega) \omega_1)}{E_{10} \left(1 - n_1 \frac{v_{10}}{c} - n_1'(\omega) \omega_1 \frac{v_{10}}{c} \right)^2} \times \\ & \times \left[4(1-n_0 n_1) - 4(n_0^2 - 1) \frac{\omega_0}{\omega_1} - (n_1^2 - 1) \frac{\omega_1}{\omega_0} \right]. \end{aligned}$$

Двухфотонное комптоновское рассеяние вперед и назад возникает только в среде при учете спина и отдачи частицы. Поскольку процессы

вперед с переворотом спина идут с разными вероятностями, то это приведет к поляризации вначале неполяризованного пучка электронов.

Выражаем благодарность В. М. Арутюняну за постановку задачи и обсуждения.

Ереванский государственный
университет

Поступила 10.VI.1972

Л И Т Е Р А Т У Р А

1. В. М. Арутюнян, Г. К. Аветисян. Препринт ИФИ 71—01 (1971).
2. В. М. Арутюнян, Г. К. Аветисян. ДАН АрмССР, 52, 5 (1971).
3. В. М. Арутюнян, Г. К. Аветисян. Квантовая электроника, 7, 54 (1972).
4. В. М. Арутюнян, Г. К. Аветисян. ЖЭТФ, 5, 62 (1972).
5. В. М. Арутюнян, Г. К. Аветисян. Препринт ИФИ 71—03 (1971).
6. А. И. Ахиезер, В. Б. Берестецкий. Квантовая электродинамика, М., 1969.
7. В. Б. Берестецкий, Е. М. Лифшиц, Л. П. Питаевский. Релятивистская квантовая теория, Изд. Наука, М., 1968.
8. Г. К. Аветисян, С. Г. Оганесян. Препринт ЕГУ 72—02; Изв. АН АрмССР. Физика, 8, 12 (1973).
9. И. И. Гольдман. ЖЭТФ, 46, 1412 (1964).
10. И. М. Франк. Ядерная физика, 7, 1100 (1969).

ՔՎԱՆՏԱՅԻՆ ԷՅԵԿՏՆԵՐ ՄԻՋԱՎԱՅՐՈՒՄ ԱԶԱՏ ԷԼԵԿՏՐՈՆՆԵՐԻ ԵՎ ՀԱՐԹ
ԷԼԵԿՏՐԱՄԱԳՆԵՍԱԿԱՆ ԱԼԻՔԻ ՓՈԽԱԶԴԻՑՈՒԹՅԱՆ ԺԱՄԱՆԱԿ

Ո. Գ. ՀՈՎՀԱՆՆԻՍՅԱՆ. Հ. Կ. ԱՎԵՏԻՍՅԱՆ

Ուսումնասիրվում է $1/2$ սպինով մասնիկի շարժումը միջավայրում հարթ էլեկտրամագնիսական ալիքի դաշտում: Գտնված են էլեկտրոնի ճշգրիտ ալիքային ֆունկցիաները շրջանազծային բեկոսցված ալիքի դաշտում: Սպինային փոխադրեցություն հետևանքով էլեկտրոնի էներգետիկ վիճակները ճեղքվում են, որի պատճառով էլեկտրոնի «անդրադարձման և զավթման» էֆեկտում առաջանում են երկու կրիտիկական արժեքներ ըստ ալիքի ինտենսիվության: Էներգետիկ վիճակների ալյասանվածության վերացումը բերում է ցրման պրոցեսներում նոր հաճախությունների առաջացման, ինչպես նաև էլեկտրոնային փնջի բեկոսցման:

QUANTUM EFFECTS AT THE INTERACTION OF ELECTRONS WITH PLANE ELECTROMAGNETIC WAVE IN THE MEDIUM

S. G. HOVHANNISIAN, H. K. AVETISSIAN

The quantum mechanical motion of spin $1/2$ particle in the plane monochromatic electromagnetic field in the medium is discussed. The exact wave function in the case of circular polarization of the wave and the primary velocity of electron directed along the wave propagation is obtained. The split of energy levels leads to new frequencies in scattering processes.

НЕКОТОРЫЕ ВОПРОСЫ ТЕОРИИ ОНДУЛЯТОРНОГО ИЗЛУЧЕНИЯ

Н. А. КОРХМАЗЯН

Предельно упрощена формула для спектрального распределения ондуляторного излучения при „сильных“ полях. Рассмотрен конечный ондулятор и получено условие, при котором для него можно пользоваться более простыми формулами интенсивности, справедливыми для бесконечного ондулятора. Получено также условие малости случайных отклонений поля от синусоидального. Исследована поляризация ондуляторного излучения и показано, что степень поляризации такого излучения в области максимальной интенсивности находится в пределах $85 \div 100\%$, в то время как для синхротронного излучения она составляет $50 \div 85\%$.

В последние годы появился ряд работ [1—9], в которых показана возможность использования магнитных ондуляторов (а также мощного электромагнитного излучения в сантиметровом диапазоне) для генерации сильно направленного жесткого излучения и для регистрации одиночных заряженных частиц в области высоких энергий. Был выявлен ряд особенностей ондуляторного излучения и показано, что для конкретных целей оно имеет ряд преимуществ по сравнению с синхротронным и черенковским излучениями.

В настоящей работе рассмотрены некоторые детали теории ондуляторного излучения, которые должны быть учтены в возможных экспериментах. В частности, детально исследуются и сравниваются степени поляризации синхротронного и ондуляторного излучений во всей области генерируемых частот.

1. Как было показано в [7], для траектории релятивистской частицы в идеальном ондуляторе (синусоидальное поле) при условии $z_0 < 1$ (точнее при $z_0^2 \ll 4$) можно ограничиться приближением

$$\begin{aligned} x &= -x_0 \cos \Omega t, & x_0 &= \beta_0 e H_0 / M \gamma_0 \Omega^2, \\ z &= v_z t = (v_0 - \Delta v) t, & \Delta v &= x_0^2 \Omega^2 / 4 \beta_0 c, \end{aligned} \quad (1)$$

где $z_0 = e H_0 l / 2\pi M c^2$, $\Omega = 2\pi \beta_0 c / l$, $\gamma_0 = 1/\sqrt{1-\beta_0^2}$, $\beta_0 = v_0/c$, H_0 и l — амплитуда и период поля, M и e — масса и заряд частицы, движущейся с первоначальной скоростью v_0 вдоль оси z . Поля, при которых $z_0 < 1$, но не $z_0 \ll 1$, мы называем сильными.

Формулу для спектральной интенсивности ондуляторного излучения при указанных условиях легче всего можно получить, совершив преобразование Лоренца от сопутствующей системы отсчета K^* к системе K , в которой электрон движется по закону (1). В системе же K^* траектория имеет вид

$$x^* = -x_0 \cos \Omega^* t^*, \quad y^* = z^* = 0. \quad (2)$$

Тогда для энергии, излученной с единицы пути пролета в единичном интервале частот в m -ой гармонике, получим выражение

$$\frac{dW}{d\omega dz} = \frac{e^2 \omega}{2\pi c^2} \left\{ \frac{\sigma_{\parallel}^2}{\sin^2 \theta_m} \int_0^{2\pi} J_m^2(\alpha_m) \frac{d\varphi}{\cos^2 \varphi} - \frac{1 + z_0^2/2}{\gamma_0^2} \int_0^{2\pi} J_m^2(\alpha_m) d\varphi \right\}, \quad (3)$$

где введены обозначения

$$\begin{aligned} \sigma_{\parallel} &= \frac{m\Omega}{\beta_{\parallel} \omega}, \quad \alpha_m = \frac{x_0}{c} \omega \sin \theta_m \cos \varphi, \quad \cos_m = \frac{1}{\beta_{\parallel}} - \sigma_m, \\ \beta_{\parallel}^2 \omega^2 \sin^2 \theta_m &= \frac{1 + z_0^2/2}{\gamma_0^2} (\omega - \omega_{1,m}) (\omega_{2,m} - \omega), \\ \omega_{1,m} &= \frac{m\Omega}{1 + \beta_{\parallel}} = \frac{m\Omega}{2}, \quad \omega_{2,m} = \frac{m\Omega}{1 - \beta_{\parallel}} = \frac{2m\Omega \gamma_0^2}{1 + z_0^2/2}. \end{aligned} \quad (4)$$

При этом мы воспользовались разложением $1/\gamma_{\parallel}^2 = (1 + z_0^2/2)/\gamma_0^2$. Формула (3) совпадает с формулой (1) работы [7].

Если ограничиться значениями $z_0 < 2/3$, то, с одной стороны, хорошо выполняется условие применимости излагаемой здесь теории $z_0^2 \ll 4$, а с другой, как было показано в [4], можно ограничиться лишь первой гармоникой $m=1$. Нетрудно заметить, что при этом аргумент бесселевой функции $\alpha_1 \leq 0,6$. Поэтому используя приближение $J_1(\alpha_1) = \alpha_1/2$ и проинтегрировав (3) по φ , мы получим формулы для спектральных распределений энергии и числа квантов ондуляторного излучения в предельно простом виде ($x = \omega/\Omega \gamma_{\parallel}^2$, $0 \leq x \leq 2$)

$$\begin{aligned} \frac{dW}{dx dz} &= \frac{\pi^2 e^2}{l^2} \gamma_0^2 \frac{z_0^2}{2(1 + z_0^2/2)^2} x [1 + (1-x)^2], \\ \frac{dN_{\gamma}}{dx dz} &= \frac{e^2}{\hbar c} \frac{\pi}{l} \frac{z_0^2}{4(1 + z_0^2/2)} [1 + (1-x)^2]. \end{aligned} \quad (5)$$

Кривые, приведенные на рис. 1, 2 работы [7], являются графиками этих функций. Проинтегрировав (5) по x , мы получим формулы для полной энергии и для полного числа квантов, излученных с единицы пути пролета, в виде

$$\frac{dW}{dz} = \frac{2e^4 H_s^2}{3M^2 c^4} \frac{\gamma_0^2}{(1 + z_0^2/2)^2}, \quad \frac{dN}{dz} = \frac{e^2}{\hbar c} \frac{\pi}{l} \frac{2z_0^2}{3(1 + z_0^2/2)}, \quad (6)$$

где $H_s = H_0/\sqrt{2}$. Если, например, $z_0 \approx 0,5$, $l = 2$ см и $H_0 = 10^4$ э, то с 1 м пробега испускается $\approx 0,15$ квантов с длиной волны $\lambda \sim l/\gamma_{\parallel}^2$. Если же удастся, сохранив значение z_0 , уменьшить l в некоторое число раз, то во столько же раз увеличится число испускаемых фотонов и энергия каждого из них.

2. Практически осуществить статические идеально синусоидальные поля невозможно. Поэтому в этом пункте рассматривается влияние малых

отклонений поля от синусоидального. Пусть поперечная компонента поля ондулятора имеет вид

$$H_y = [-H_0 + \Delta H(z)] \cos \frac{2\pi z}{l} \quad (7)$$

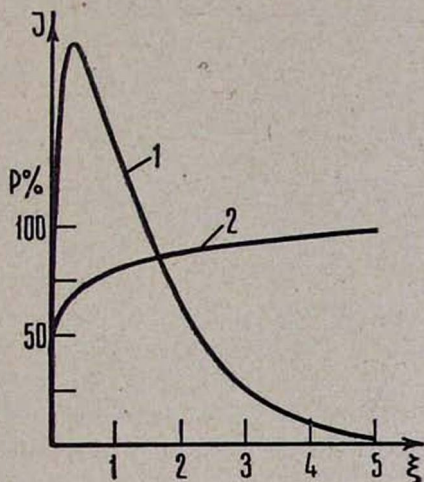


Рис. 1. Спектральное распределение синхротронного излучения в произвольном масштабе (кривая 1) и степень поляризации синхротронного излучения в процентах (кривая 2) в зависимости от безразмерной частоты $\xi = \omega/\omega_c$, где

$$\omega_c = \frac{3}{2} \frac{eH}{Mc} \gamma^2.$$

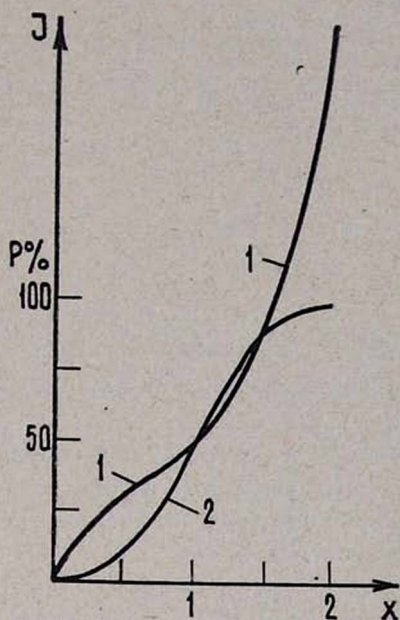


Рис. 2. Спектральное распределение ондуляторного излучения в произвольном масштабе (кривая 1) при $z_0 < 2/3$ и степень поляризации этого излучения в процентах (кривая 2) в зависимости от безразмерной частоты $x = \omega/\Omega\gamma_1^2$,

$$\text{где } \gamma_1^2 = \gamma_0^2(1 + z_0^2/2).$$

и, кроме того, $\max |\Delta H| = \Delta H_0 \ll H_0$. Наличие ΔH приводит к возмущению траектории на Δx и Δz и в формуле для интенсивности появится фактор $\exp i(\Delta x k_x + \Delta z k_z)$. Поэтому при выполнении условия $(\Delta x k_x + \Delta z k_z) \ll 1$ влияние отклонения поля от синусоидального будет мало.

Из уравнений движения имеем следующие оценки:

$$|\Delta x| \lesssim \frac{cz_0}{\Omega\gamma_0} \frac{\Delta H_0}{H_0}, \quad |\Delta z| \lesssim \frac{cz_0^2}{8\Omega\gamma_0^2} \frac{\Delta H_0}{H_0}. \quad (8)$$

Используя (4) и (8), найдем

$$\Delta H_0 \ll H_0, \quad z_0 \lesssim 2/3. \quad (9)$$

Таким образом, при выполнении условий (9) возмущением в (7) можно пренебречь.

3. Рассмотрим теперь ондулятор конечной длины и найдем условие, при котором для таких ондуляторов можно пользоваться более простыми формулами, полученными для интенсивности бесконечного ондулятора.

Пусть частица пролетает через ондулятор за конечный промежуток времени $(-T/2, +T/2)$, совершая колебания по закону (1). Тогда частица излучает лишь в течение конечного интервала времени T . Для определенности примем $T = N\tau = N2\pi/\Omega$, где τ — период пролета. Поступая в дальнейшем аналогично работе [1], получим

$$\frac{dW_m}{d\omega dO} = \frac{e^2 \omega^2}{\pi^2 c} \beta_{\parallel}^2 \left\{ \sin^2 \theta - 2\sigma_{\parallel} \cos \theta + \sigma_{\perp}^2 \frac{1 - \sin^2 \theta \cos^2 \varphi}{\sin^2 \theta \cos^2 \varphi} \right\} \times \quad (10)$$

$$\times J_m^2(x) \frac{\sin^2 \{[(1 - \beta_{\parallel} \cos \theta) \omega - m\Omega] N\tau/2\}}{[(1 - \beta_{\parallel} \cos \theta) \omega - m\Omega]^2}.$$

При $(N\tau/2) \rightarrow \infty$ последний множитель переходит в $(\pi \delta[(1 - \beta_{\parallel} \cos \theta) \omega - m\Omega])^2$. Если одну δ -функцию заменить на $T/2\pi$, то после соответствующих преобразований мы придем к формуле для бесконечного ондулятора.

Обозначим последний множитель в (10) через $\varphi_2(\omega)$, а произведение всех остальных множителей — через $\varphi_1(\omega)$. Функция φ_2 имеет основной максимум в интервале частот $\delta\omega \sim 2\Omega/N(1 - \beta_{\parallel} \cos \theta)$ вокруг частоты $\omega_{\max} \sim \Omega/(1 - \beta_{\parallel} \cos \theta)$. Имея в виду, что в рассматриваемом случае существенны углы $\theta \sim 1/\gamma_0$, для этого интервала можно написать

$$\delta\omega \sim \frac{2}{N} \Omega \gamma_0^2, \quad m = 1. \quad (11)$$

Для того, чтобы функцию φ_2 можно было заменить на квадрат δ -функции при конечных N , необходимо, чтобы функция φ_1 менялась незначительно в интервале частот (11), т. е. чтобы φ_1 в этом интервале была бы более «гладкой» функцией, чем φ_2 . Нетрудно убедиться, что условие постоянства функции φ_1 в интервале (11), т. е. условие $|\varphi_1(\omega_{\max} \pm \pm \delta\omega/2) - \varphi_1(\omega_{\max})| \ll |\varphi_1(\omega_{\max})|$, выполняется при $\delta\omega \ll \Omega \gamma_0^2$. Сопоставляя этот результат с условием (11), мы приходим к выводу, что при наличии ондулятора с $2N$ магнитами спектральное распределение можно вычислить, пользуясь формулой (10) для бесконечного ондулятора, если выполняется условие

$$N \gg 2. \quad (12)$$

При уменьшении же N до единицы интерференционные явления должны постепенно погашаться, а пик в спектре — сглаживаться. Аналогичная задача была рассмотрена в работе [5] для случая слабых поле $z_0 \ll 1$.

Формула (10) для конечного ондулятора впервые была получена Модем [10]. Однако в этой работе второй член в фигурных скобках (10) отсутствовал. Эта ошибка связана с тем, что при раскрытии квадрата модуля выражения (64) указанной работы был пропущен член, пропорциональный произведению единичных векторов $u_1 u_2 = -\sin \theta \cos \theta \cos \varphi$.

4. Одной из важных характеристик всякого излучения является его поляризация. Для вычисления интенсивности ондуляторного излучения, по-

ляризованного так, чтобы электрический вектор находился в плоскости колебания электрона (x, z), необходимо до интегрирования по времени спроектировать вектор $[\vec{n}\vec{v}]$ на ось y , так как он параллелен вектору \vec{H}_ω . Поляризованную таким образом часть излученной энергии обозначим через J_ω^\parallel , а перпендикулярную к ней компоненту — через J_ω^\perp . Тогда вместо (3) получим

$$J_\omega^\parallel = \frac{e^2 \omega}{2\pi c^2} \left\{ \frac{\sigma_\parallel^2}{\sin^2 \theta_m} \int_0^{2\pi} J_m^2(\alpha_m) \frac{d\varphi}{\cos^2 \varphi} - \frac{1}{\gamma_\parallel^2} \int_0^{2\pi} J_m^2(\alpha_m) d\varphi \right\} -$$

$$- \frac{e^2 \omega}{2\pi c^2} \left\{ \int_0^{2\pi} \left(\frac{\sigma_\parallel^2}{\cos^2 \varphi} - \sin^2 \theta_m \cos^2 \varphi \right) J_m^2(\alpha_m) d\varphi - \right. \quad (13)$$

$$\left. - \left(\frac{1}{\gamma_\parallel^2} - 2\sigma_m \cos \theta_m \right) \int_0^{2\pi} J_m^2(\alpha_m) d\varphi \right\},$$

где первый член совпадает с (3), так что $J_\omega^\parallel = J_\omega - J_\omega^\perp$, а $J_\omega = dW/d\omega dz$. Вновь ограничившись случаем $z_0 < 2/3$ и разложив функцию Бесселя, после интегрирования (13) по φ для спектрального распределения степени поляризации найдем следующую простую формулу:

$$p = \frac{J_\omega^\parallel - J_\omega^\perp}{J_\omega^\parallel + J_\omega^\perp} \cdot 100\% = \frac{x^2}{2[1 + (1-x)^2]} \cdot 100\%, \quad (14)$$

где нижний предел области изменения частоты принят за нуль.

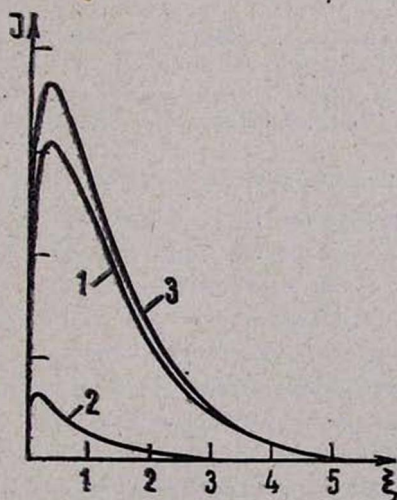


Рис. 3. Спектральные распределения продольно и поперечно поляризованных компонент синхротронного излучения (кривые 1 и 2 соответственно). Кривая 3 — спектральное распределение полного излучения. Поляризации определены обычным способом.

Для наглядного сопоставления с поляризацией синхротронного излучения приводятся рис. 1 и 2. На рис. 1 изображено спектральное распределение синхротронного излучения [11] в произвольном масштабе (кривая 1), а также построенная на основе результатов работы [12] (кривая 2)

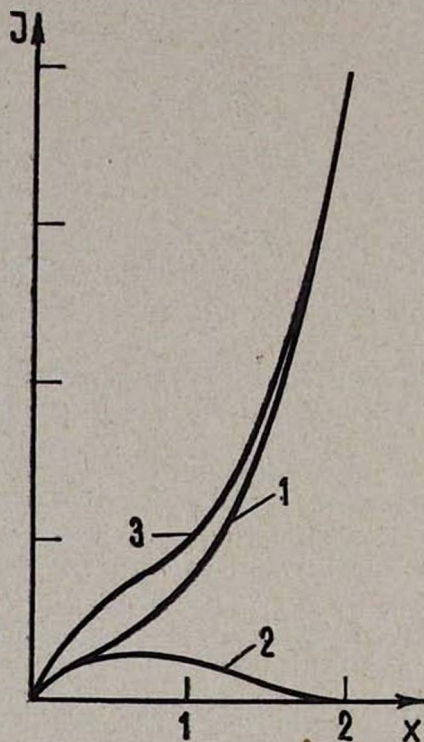


Рис. 4. Спектральные распределения продольно и поперечно поляризованных компонент модулированного излучения (кривые 1 и 2 соответственно). Кривая 3 — спектральное распределение полного излучения. Поляризации определены как в пункте 4.

зависимость степени поляризации от частоты $\xi = \omega/\omega_c$, где $\omega_c = 3eH\gamma^2/(2Mc)$. На рис. 2 изображено то же самое для модулированного излучения. Кривые 1 и 2 на рис. 2 построены при помощи формул (5) и (14). Как видно из рисунков, степень поляризации модулированного излучения в области максимальной интенсивности больше 85% и доходит до 100% в самом максимуме, в то время, как степень поляризации синхротронного излучения в области максимального излучения находится в пределах от 50 до 85%, а в самом максимуме равняется 65%. Для синхротронного излучения степень поляризации становится больше 90% лишь в области частот, при которых интенсивность пренебрежимо мала. Кроме того, на рис. 3 и 4 приведены спектральные распределения интенсивностей синхротронного и модулированного излучений для различных поляризаций.

Л И Т Е Р А Т У Р А

1. Н. А. Корхмазян. Изв. АН АрмССР, Физика, 5, 418 (1970).
2. Н. А. Корхмазян, С. С. Элбакян. ДАН СССР, 203, 791 (1972).
3. А. И. Алиханян и др. Письма ЖЭТФ, 15, 142 (1972).
4. Н. А. Корхмазян. Изв. АН АрмССР, Физика, 7, 114 (1972).
5. Д. Ф. Алферов, Ю. А. Башмаков, Е. Г. Бессонов. ЖТФ, 42, 1921 (1972).
6. В. Л. Гинзбург. Письма ЖЭТФ, 16, 501 (1972).
7. Н. А. Корхмазян, С. С. Элбакян, А. М. Зверев. Научное сообщение, ЕФИ—3—72 (1972).
8. В. Л. Гинзбург. ФИАН, Краткие сообщения по физике, № 2, 40 (1972).
9. В. Н. Байер, В. М. Катков, В. М. Страховенко. Препринт ИЯФ 61—72 (1973).
10. H. Motz. J. Appl. Phys., 22, 527 (1951); С6. Миллиметровые и субмиллиметровые волны, ИЛ, М., 1959, стр. 194.
11. Л. Д. Ландау, Е. М. Лифшиц. Теория поля, Изд. Наука, М., 1967.
12. Г. М. Гарибян, И. И. Гольдман. Изв. АН АрмССР, Астрофизика, 7, 32 (1954).

ՕՆԴՈՒՎԱՏՈՐԱՅԻՆ ՃԱՌԱԳԱՅԹՄԱՆ ՈՐՈՇ ՀԱՐՑԵՐԻ ՎԵՐԱԲԵՐՅԱԼ

Ն. Ա. ԳՈՐԽՄԱԶՅԱՆ

Ստացված և պարզեցված է օնդուլյատորային ճառագայթման սպեկտրալ բաշխման բանաձևը «ուժեղ» դաշտերի դեպքում: Քննարկված է վերջավոր օնդուլյատորը և ստացված է այն պայմանը, որի դեպքում կարելի է օգտվել անվերջ օնդուլյատորի ինտենսիվության համար գոյություն ունեցող ավելի պարզ բանաձևից: Ստացված է նաև դաշտի սինոսոիդական օրենքից պատահական շեղումների փոքրության պայմանը: Ոսումնասիրված է օնդուլյատորային ճառագայթման բեկոացումը և ցույց է տրված, որ օնդուլյատորային ճառագայթման բեկոացման աստիճանը մեծագույն ինտենսիվության շրջակայքում գտնվում է 85—100% սահմաններում, այն դեպքում, երբ սինխրոտրոնային ճառագայթման համար նա գտնվում է 50—85% սահմաններում:

ON THE THEORY OF UNDULATOR RADIATION

N. A. KORKHMASIAN

The formula for the spectral distribution of undulator radiation in „strong” fields is obtained.

ДИФФЕРЕНЦИАЛЬНАЯ ВОСПРИИМЧИВОСТЬ ДВУХСЛОЙНЫХ
ФЕРРОМАГНИТНЫХ ПЛЕНОК

В. А. МАМЯН

Рассчитана общая формула дифференциальной восприимчивости двухслойных ферромагнитных тонких пленок. Рассмотрен частный случай смещения пиков восприимчивости при взаимодействии низкокоэрцитивного и высококоэрцитивного слоев.

В последнее время многослойные пленки являются предметом всестороннего исследования не только из-за перспективности их применения, но и потому, что представляют большой научный интерес. Последнее связано с различными типами взаимодействий в магнитосвязанных пленках—обменными, магнитостатическими, магнитострикционными.

Проблема исследования взаимодействия в магнитосвязанных пленках обусловлена тем фактом, что вышеуказанные взаимодействия сложным образом зависят от толщины слоев, их магнитных свойств и структурных особенностей, что приводит к сложным теоретическим расчетам при рассмотрении условия равновесия векторов намагниченности.

Дифференциальная восприимчивость ферромагнетиков очень чувствительна ко всяким эффективным полям, связанным с различными взаимодействиями векторов намагниченности, и может быть эффективным методом изучения физики двухслойных пленок.

Нужно отметить, что в литературе почти нет работ, связанных с изучением дифференциальной восприимчивости двухслойных пленок [1]. Цель данной работы—получить общие формулы дифференциальной восприимчивости двухслойных пленок и рассмотреть некоторые частные случаи.

Общая формула дифференциальной восприимчивости
двухслойных пленок

Рассмотрим двухслойную пленку с толщинами слоев d_1 и d_2 , намагниченностями M_1 и M_2 , константами анизотропии K_1 и K_2 . Расположение легких осей, внешних полей и направления наблюдения с обозначениями соответствующих углов приводятся на рис. 1.

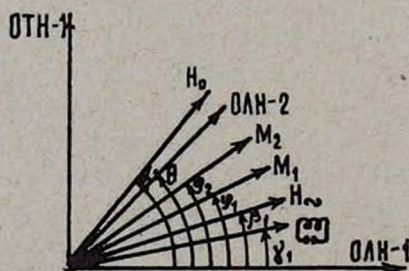


Рис. 1. Диаграмма для расчета дифференциальной восприимчивости.

Предполагается, что поведение пленок соответствует однодоменной теории когерентного вращения намагниченности, причем энергия взаимодействия между слоями зависит лишь от направления намагниченности слоев $E(\varphi_1, \varphi_2)$ и подчиняется закону косинуса. Тогда общая энергия системы на единицу площади взаимосвязанных поверхностей будет иметь вид

$$F = -H_0 M_1 d_1 \cos(\alpha_1 - \varphi_1) + K_1 d_1 \sin^2 \varphi_1 - H_- M_1 d_1 \cos(\varphi_1 - \beta_1) - \\ - H_0 M_2 d_2 \cos(\alpha_1 - \varphi_2) + K_2 d_2 \sin^2(\theta - \varphi_2) - H_- M_2 d_2 \cos(\varphi_2 - \beta_2) + E(\varphi_1, \varphi_2). \quad (1)$$

Введем следующие обозначения:

$$\begin{aligned} \alpha_1 - \theta &= \alpha_2, \\ \theta - \beta_1 &= \beta_2, \\ \theta - \gamma_1 &= \gamma_2. \end{aligned} \quad (2)$$

Тогда, согласно определению, восприимчивость равна

$$\chi_{\left(\begin{smallmatrix} \alpha_1, \beta_1, \gamma_1 \\ \alpha_2, \beta_2, \gamma_2 \end{smallmatrix}\right)}(H_0) = \frac{d}{dH_-} (m_1 + m_2) = \left(\frac{\partial m_1}{\partial \varphi_1} + \frac{\partial m_2}{\partial \varphi_2} \right) \frac{d\varphi_1}{dH_-} + \left(\frac{\partial m_1}{\partial \varphi_2} + \frac{\partial m_2}{\partial \varphi_2} \right) \frac{d\varphi_2}{dH_-}, \quad (3)$$

где m_1 и m_2 — проекции намагниченностей M_1 и M_2 на направление наблюдения, а индексы при χ соответствуют обозначениям Гоффмана [2].

Для нахождения $\frac{d\varphi_1}{dH_-}$ и $\frac{d\varphi_2}{dH_-}$ надо решить систему уравнений

$$\left. \begin{aligned} \frac{d}{dH_-} \left(\frac{\partial F}{\partial \varphi_1} \right) &= 0 \\ \frac{d}{dH_-} \left(\frac{\partial F}{\partial \varphi_2} \right) &= 0 \end{aligned} \right\} \quad (4)$$

Легко видеть, что систему (4) можно записать в следующем виде:

$$\begin{aligned} \left. \frac{\partial^2 F}{\partial \varphi_1^2} \right|_{H_- = 0} \times \frac{d\varphi_1}{dH_-} + \frac{\partial^2 E}{\partial \varphi_1 \partial \varphi_2} \cdot \frac{d\varphi_2}{dH_-} &= -M_1 d_1 \sin(\varphi_1 - \beta_1), \\ \left. \frac{\partial^2 F}{\partial \varphi_2^2} \right|_{H_- = 0} \times \frac{d\varphi_2}{dH_-} + \frac{\partial^2 E}{\partial \varphi_1 \partial \varphi_2} \cdot \frac{d\varphi_1}{dH_-} &= -M_2 d_2 \sin(\varphi_2 - \beta_2). \end{aligned} \quad (4a)$$

Подставляя значения $\frac{d\varphi_1}{dH_-}$ и $\frac{d\varphi_2}{dH_-}$ из уравнения (4a) в (3) и учитывая, что

$$\begin{aligned} m_1 &= M_1 \cos(\varphi_1 - \gamma_1) = \vec{M}_1 \vec{N}, \\ m_2 &= M_2 \cos(\varphi_2 - \gamma_2) = \vec{M}_2 \vec{N}, \end{aligned} \quad (5)$$

где \vec{N} — единичный вектор по направлению наблюдения, для дифференциальной восприимчивости получаем следующее выражение:

$$\chi_{\left(\begin{smallmatrix} \alpha_1 \beta_1 \gamma_1 \\ \alpha_2 \beta_2 \gamma_2 \end{smallmatrix}\right)}(H_0) = \left\{ \frac{\partial^2 F}{\partial \varphi_1^2} \Big|_{H_0=0} \times \frac{\partial^2 F}{\partial \varphi_2^2} \Big|_{H_0=0} - \left[\frac{\partial^2 E}{\partial \varphi_1 \partial \varphi_2} \right]^2 \Big|_{H_0=0}^{-1} \right\} \times \\ \times \left\{ \frac{\partial}{\partial \varphi_1} (\vec{M}_1 \vec{N}) \left[\frac{\partial}{\partial \varphi_1} (\vec{M}_1 \vec{n}) \times \frac{\partial^2 F}{\partial \varphi_2^2} \Big|_{H_0=0} \times d_1 - d_2 \frac{\partial^2 E}{\partial \varphi_1 \partial \varphi_2} \vec{M}_2 \vec{n} \right] + \right. \\ \left. + \frac{\partial}{\partial \varphi_2} (\vec{M}_2 \vec{N}) \left[\frac{\partial}{\partial \varphi_2} (\vec{M}_2 \vec{n}) \times \frac{\partial^2 F}{\partial \varphi_1^2} \Big|_{H_0=0} \times d_2 - d_1 \frac{\partial^2 E}{\partial \varphi_1 \partial \varphi_2} \vec{M}_1 \vec{n} \right] \right\}. \quad (6)$$

В выражении (6) \vec{n} — единичный вектор по направлению бесконечно малого переменного пробного поля, а значения углов φ_1 и φ_2 находятся из условий устойчивого равновесия

$$\frac{\partial^2 F}{\partial \varphi_1^2} \times \frac{\partial^2 F}{\partial \varphi_2^2} - \left(\frac{\partial^2 F}{\partial \varphi_1 \partial \varphi_2} \right)^2 > 0, \quad (6a) \\ \frac{\partial^2 F}{\partial \varphi_1} > 0.$$

Некоторые частные случаи

1. Незадействующие пленки с одинаковыми характеристиками.

В этом случае $\alpha_1 = \alpha_2$, $\beta_1 = \beta_2$, $\gamma_1 = \gamma_2$, $M_1 = M_2$, $K_1 = K_2$, $d_1 = d_2$ и поперечная восприимчивость имеет вид

$$\chi_{\left(\begin{smallmatrix} \pi/2 & 0 & 0 \\ \pi/2 & 0 & 0 \end{smallmatrix}\right)}(H_0) = 2Md \sin^2 \varphi \left/ \frac{\partial^2 F}{\partial \varphi^2} \Big|_{H_0=0} \right., \quad (7)$$

что соответствует восприимчивости идеальной пленки, приведенной в [3, 4].

То же имеет место для продольной восприимчивости.

2. Двухслойная пленка с обменным взаимодействием.

Предполагается [5], что энергия взаимодействия имеет вид

$$E = \Gamma (1 - \cos \psi), \quad (8)$$

где $\psi = \varphi_1 - \varphi_2$, Γ — константа, характеризующая взаимодействие.

а) Рассмотрим восприимчивость в случае пленок с взаимно перпендикулярными легкими осями, причем H_0 направлено по легкой оси первой пленки. Тогда в случае $H_0 \geq H_{K_1}$, $\varphi_1 = \varphi_2$ восприимчивость будет иметь вид

$$\chi_{\left(\begin{smallmatrix} 0 & \pi/2 & \pi/2 \\ \pi/2 & 0 & 0 \end{smallmatrix}\right)}(H_0) = \\ = \frac{M_1 \left(\frac{H_0 - H_{K_2} + H_{\Gamma_2}}{H_{K_1}} \right) + M_2 \left(1 + \frac{H_0}{H_{K_1}} + \frac{H_{\Gamma_1}}{H_{K_1}} \right) - \left(\frac{M_2 H_{\Gamma_2}}{H_{K_1}} - \frac{M_1 H_{\Gamma_1}}{H_{K_1}} \right)}{(H_0 - H_{K_2} + H_{\Gamma_2}) \left(1 + \frac{H_0}{H_{K_1}} + \frac{H_{\Gamma_1}}{H_{K_1}} \right) - \frac{H_{\Gamma_2} H_{\Gamma_1}}{H_{K_1}}}, \quad (9)$$

где

$$H_{K_1} = \frac{2K_1}{M_1}, \quad H_{K_2} = \frac{2K_2}{M_2}, \quad H_{\Gamma_1} = \frac{\Gamma}{M_1 d_1}, \quad H_{\Gamma_2} = \frac{\Gamma}{M_2 d_2}.$$

В случае $H_0 = H_{K_1} = H_{K_2}$, $d_1 = d_2$ и $M_1 = M_2$ формула (9) принимает очень простой вид

$$\chi_{\left(\begin{smallmatrix} 0 & \pi/2 & \pi/2 \\ \pi/2 & 0 & 0 \end{smallmatrix}\right)}(H_k) = \frac{M^2 d}{\Gamma},$$

т. е. в этом случае в отличие от однодоменной идеальной пленки в поле H_k восприимчивость имеет конечное значение, определяемое силой обменного взаимодействия. При отсутствии взаимодействия ($\Gamma = 0$) $\chi(H_k) \rightarrow \infty$.

В случае, когда один из слоев высококоэрцитивен, $H_{K_1} \gg H_0 \gg H_{K_2}$, из выражения (9) легко найти поле, соответствующее максимальной восприимчивости,

$$H_{\max} = H_{K_1} - \frac{2\Gamma d_1 K_1}{2M_2 d_2 d_1 K_1 + \Gamma M_2 d_2}. \quad (9б)$$

При $\Gamma = 0$ $H_{\max} = H_{K_2}$; рост Γ приводит к смещению пика восприимчивости в область полей, меньших H_{K_1} . Интенсивность смещения будет тем сильнее, чем больше Γ и меньше d_2 и M_2 . Зная параметры несвязанных пленок, по величине смещения пика восприимчивости можно определить величину обменной постоянной A , входящей в Γ .

б) Рассмотрим случай продольной восприимчивости

$$\alpha_1 = \alpha_2 = 0, \quad \varphi_1 = \varphi_2 = 0, \quad \gamma_1 = \gamma_2 = 0,$$

предполагая опять, что один слой высококоэрцитивный. Тогда смещение пика восприимчивости будет определяться формулой

$$-H_{\max} = -H_{K_2} + \frac{2\Gamma d_1 K_1}{2M_2 d_2 K_1 d_1 + \Gamma M_2 d_2}. \quad (9в)$$

При $K_1 \rightarrow \infty$ смещение пика будет равно

$$-H_{\max} = \frac{\Gamma}{M_2 d_2} + H_{K_1}. \quad (9г)$$

Это соответствует случаю полного закрепления спинов магнитожегского слоя.

3. Двухслойная пленка с немагнитной прослойкой и микромагнитостатическим взаимодействием.

Такую систему рассматривал Неель [6] и показал, что из-за наличия шероховатости пленки будут иметь микромагнитостатическое взаимодействие, причем энергия будет иметь вид

$$E = -\frac{\pi^3}{4\sqrt{2}} \frac{h_1 h_2}{L} e^{-\frac{2\sqrt{2}\pi b}{L}} M_1 M_2 \Phi^2 \cos \psi, \quad (10)$$

где h_1 и h_2 — амплитуды волны шероховатости, b — толщина прослойки, L — длина волны шероховатости, Φ — диаметр пленок.

Поскольку вид энергии взаимодействия подобен (8), поле, соответствующее пику восприимчивости, при выполнении тех же условий, что и при выводе (9б), в этом случае будет равно

$$H_{\max} = H_{K_2} - \frac{2AK_1d_1}{M_2d_2K_1d_1 + AM_2d_2},$$

где

$$A = -\frac{\pi^2 h_1 h_2}{\sqrt{2}L} e^{-\frac{2\sqrt{2}\pi b}{L}}.$$

Оценим величину смещения пика дифференциальной восприимчивости, связанную с шероховатостью. На рис. 2 и 3 приведена зависимость смещения пика восприимчивости для случаев:

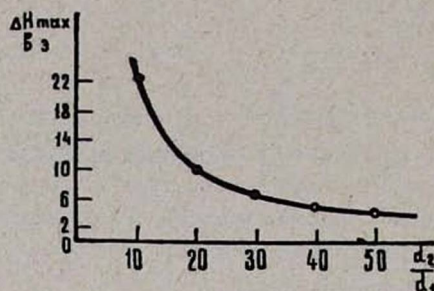


Рис. 2. Зависимость смещения пика восприимчивости от отношения толщин низкокоэрцитивного и высококоэрцитивного слоев в случае геометрической шероховатости.

а) геометрической шероховатости

$$L = 1 \mu, h_1 = h_2 = 0,1 \mu, b = 100 \text{ \AA}, d_2 = 1000 \text{ \AA},$$

соответствующий график приведен на рис. 2;

б) структурной шероховатости

$$L = 400 \text{ \AA}, h_1 = h_2 = 10 \text{ \AA}, d_2 = 400 \text{ \AA}, b = 33 \text{ \AA},$$

соответствующий график приведен на рис. 3.

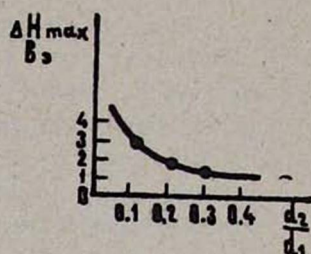


Рис. 3. Зависимость смещения пика восприимчивости от отношения толщин низкокоэрцитивного и высококоэрцитивного слоев в случае структурной шероховатости.

Обсуждение и сравнение некоторых экспериментальных результатов

Полученные результаты можно сравнить с некоторыми экспериментальными данными. Так, Глазером [7] исследовалась зависимость сдвига петли гистерезиса ΔH от эффективной толщины ферромагнитного слоя d_2 в случае взаимодействия типа ферромагнетик-антиферромагнетик. Им получена линейная зависимость между ΔH и $1/d_2$. Этот случай математически соответствует формуле (9г), где смещение пика восприимчивости также обратно пропорционально d_2 . В работе [8] экспериментально определя-

лось смещение петли в случае микромагнитостатического взаимодействия для системы EuO , Eu_2O_3 , $FeNi$. При толщине немагнитной прослойки $b=33 \text{ \AA}$, $d=400 \text{ \AA}$, $h_1=h_2=10 \text{ \AA}$ и $L=400 \text{ \AA}$ ΔH равнялось 3 э, что по порядку величины совпадает с приведенным на графике рис. 3 смещением пика восприимчивости для этого типа взаимодействия.

Необходимы дальнейшие систематические эксперименты для определения поведения восприимчивости двухслойных пленок при различных типах взаимодействия и выяснения возможности определения параметров взаимодействия на основе экспериментальных данных.

Ереванский государственный
университет

Поступила 7.XII.1972

Л И Т Е Р А Т У Р А

1. E. D. Ysaac Brit. J. Appl. Phys., 1, 942 (1968).
2. H. Hoffman. Phys. status solidi, 33, 175 (1969).
3. А. Г. Лесник. ФММ, 27, вып. 6 (1969).
4. E. Feldkeller. Z. Phys., 176, 510 (1965).
5. W. Brodkorb. Phys. status solidi (a), 3, 331 (1970); 5, 381 (1971).
6. L. Neell, C. R. Acad. Sci. (Paris), 255, 1676 (1962).
7. А. А. Глазер, А. П. Потапов и др. Физика магнитных пленок, Иркутск, 1968.
8. G. S. Almasi, K. J. Ahn. J. Appl. Phys., 41, 1258 (1970).

ԵՐԿՇԵՐՏ ՖԵՐՐՈՄԱԳՆԵՒՍԱԿԱՆ ԹԱՂԱՆԹՆԵՐԻ ԴԻՖԵՐԵՆՏԻԱԼ ԹԱՓԱՆՑԵԼԻՈՒԹՅՈՒՆԸ

Ո. Հ. ՄԱՄՅԱՆ

Հաշված է երկշերտ ֆերրոմագնիսական թաղանթների դիֆերենցիալ թափանցելիությունը կախված ինչպես արտաքին հաստատուն մագնիսական դաշտի մեծությունից և ուղղությունից, այնպես էլ փոփոխական մագնիսական դաշտի ուղղությունից: Դիտարկված է նաև դիֆերենցիալ թափանցելիության փոփոխությունը կախված դիտման ուղղությունից: Շերտերի փոխազդեցության կենդրին ընդհանուր դեպքում վերցված է որպես անբացահայտ ֆունկցիա այդ շերտերի մագնիսական վեկտորներով կազմված անկյունից: Մասնավոր դեպքում, երբ փոխազդում են մեծ և փոքր կոերցիտիվությունը թաղանթներ, ստացված է մաքուր թափանցելիության տեղաշարժի բանաձև:

Արդյունքները համընկնում են հայտնի փորձական տվյալների հետ:

DIFFERENTIAL SUSCEPTIBILITY OF BILAYER FERROMAGNETIC FILMS

V. H. MAMIAN

A general formula is derived for differential susceptibility of bilayer ferromagnetic films in dependence on the magnitude and direction of d.c. magnetic field and the direction of a.c. magnetic field. The dependence of magnetic susceptibility on the change of the direction of observation is also considered. The calculations are based on the model of coherent rotation.

In the general case the energy of interaction between the layers is considered to be an implicit function of the angle between the magnetizations of individual layers. The results are in good agreement with known experimental data.

О НЕКОТОРЫХ ОСОБЕННОСТЯХ ПЕРЕМАГНИЧИВАНИЯ ПЛЕНОК С ФЕРРО-АНТИФЕРРОМАГНИТНЫМ ВЗАИМОДЕЙСТВИЕМ

Я. М. ПОГОСЯН, Э. М. ГЭРЯН

Работа посвящена электронномикроскопическому исследованию некоторых аномалий в пленках с ферро-антиферромагнитным взаимодействием по сравнению с обычными пермаллоевыми пленками. Показано, что несмотря на то, что длина волны ряби намагниченности λ в этих пленках удовлетворяет уравнению Гоффмана, однако в этом случае из-за наличия однонаправленной анизотропии кривые зависимости λ от внешнего поля при перемагничивании в обеих полярностях ОЛН смещены друг относительно друга на величину $2\Delta H$. Кроме того, показано, что в этих пленках имеется одностороннее смещение границ, и приводится возможное объяснение этому явлению.

Несмотря на то, что процессу перемагничивания пленок с ферро-антиферромагнитным взаимодействием посвящено довольно большое число работ [1—6], однако на уровне электронной микроскопии проведено очень мало исследований. Авторам настоящей работы известны лишь три работы [7—9]. В работе [7] рассмотрен характер перемагничивания по оси легкого намагничивания (ОЛН) и поворот вектора намагниченности на 90° к ОЛН под действием внешнего поля, в [8] рассмотрена стабилизация доменных границ при термомагнитном отжиге и в [9] делается попытка объяснить наблюдаемое сужение петли гистерезиса при перемагничивании пленок с ферро-антиферромагнитным взаимодействием по ОЛН при увеличении частоты перемагничивания.

Детальное исследование пленок с ферро-антиферромагнитным взаимодействием с привлечением метода лорентцевой микроскопии позволит получить более полные сведения об этом классе пленок, что, безусловно, будет способствовать разработке единой теории возникновения ферро-антиферромагнитного взаимодействия в пленках. Отметим, что этот класс пленок является наиболее перспективным для термомагнитной записи изображения с большой плотностью.

Настоящая работа посвящена электронномикроскопическому исследованию некоторых аномальных по сравнению с обычными пермаллоевыми пленками свойств пленок с ферро-антиферромагнитным взаимодействием. Исследуемые пленки были получены методом вакуумного испарения на покровных стеклах микроскопа, предварительно напыленных подслоем каменной соли (толщина $\sim 50 \text{ \AA}$, температура подложки $\sim 100^\circ\text{C}$), монооксида кремния (толщина— 100 \AA , температура подложки $\sim 150^\circ\text{C}$), марганца (толщина— 400 \AA , температура подложки $\sim 200\text{—}250^\circ\text{C}$) и затем пермаллоя состава 82/18 Ni/Fe при этой же температуре. Термомагнитный отжиг проводился при температуре $300\text{—}350^\circ\text{C}$ как в вакуумной установке, так и непосредственно в электронном микроскопе. Нами были исследованы

в основном пленки со сдвигом петли гистерезиса ΔH до $0,6 \pm 0,7 H_c$. Исследования проводились на электронном микроскопе типа УЭМВ-100 К, снабженном гониометрической головкой и системой катушек Гельмгольца, обеспечивающей поле до 50 э в плоскости исследуемой пленки.

Экспериментальная часть и обсуждение результатов

I аномалия. При перемагничивании пленок с ферро-антиферромагнитным взаимодействием по ОЛН при частоте 1000 гц приложением и снятием постоянно смещающего поля под углом 90° к ОЛН возвращение суммарной намагниченности к ОЛН осуществляется в течение нескольких секунд, что очень хорошо наблюдается по поперечной петле гистерезиса, приведенной на рис. 1. Рис. 1а соответствует петле гистерезиса пленки с ферро-

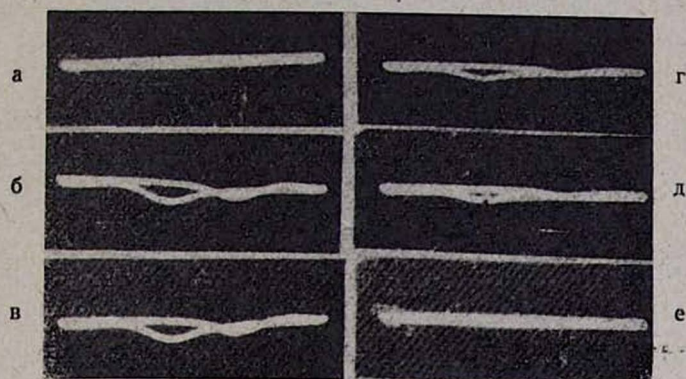


Рис. 1. Иллюстрация эффекта последействия в пленке с ферро-антиферромагнитным взаимодействием, обнаруженного на поперечной петле гистерезиса: а — поперечная петля гистерезиса при перемагничивании исследуемой пленки по ОЛН; б — то же при подаче постоянного поля, равного 10 э, под углом 90° к ОЛН; в, г, д, е — изменение формы петли соответственно через 1, 2, 3, 4 сек.

антиферромагнитным взаимодействием по ОЛН, б — то же при постоянном смещающем поле, действующем под углом 90° к ОЛН, в — петля гистерезиса через одну секунду после снятия постоянного смещающего поля, г, д, е — соответственно через 2, 3 и 4 секунды. Хорошо видно, что нормальный процесс перемагничивания (т. е. перемагничивание до приложения исходного постоянного смещающего поля) восстанавливается через несколько секунд после снятия постоянного поля. Магнитооптические исследования показали, что в отличие от перемагничивания по ОЛН после приложения постоянно действующего поля под углом 90° к ОЛН перемагничивание на первых нескольких циклах осуществляется не смещением доменных границ, хотя контраст изображения меняется. Последнее вместе с рис. 1 указывают, что после снятия постоянного смещающего поля вектор намагниченности не возвращается к ОЛН и дальнейший процесс перемагничивания осуществляется вращением вектора намагниченности.

Электронномикроскопические исследования показали, что в действительности после снятия насыщающего поля, приложенного под углом 90° к ОЛН, вектор намагниченности застывает в направлении приложенного поля (рис. 2), причем в отличие от нормальных пермаллоевых пленок по-

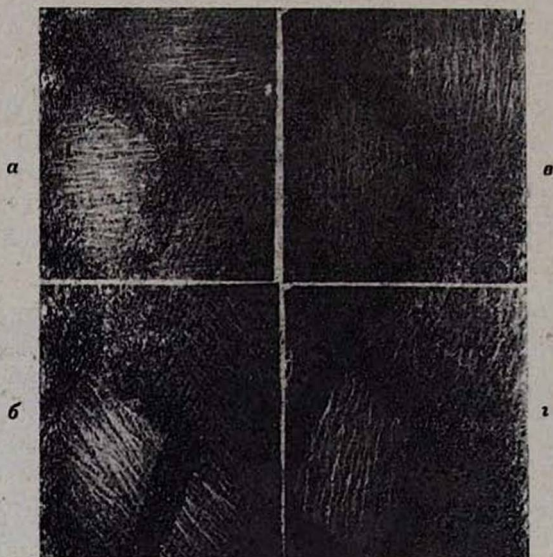


Рис. 2. Поведение ряби намагниченности под действием поля, приложенного под углом 90° к ОЛН: а — исходное состояние, б, в — процесс поворота, г — после снятия поля.

ворот вектора намагниченности в направлении действующего внешнего поля сопровождается ростом длины волны ряби намагниченности λ [10], а состояние остаточной намагниченности (рис. 2а) характеризуется максимальной длиной волны ряби намагниченности. Вектор намагниченности может оказаться застывшим и у обычных инверсных пермаллоевых пленок в направлении оси трудного намагничивания (ОТН) [11, 12], но там это явление приписывается распаданию пленки на домены с минимальным размером ≈ 2 мк и действию полей рассеяния образовавшихся границ Нееля.

В нашем случае, судя по рис. 2а, б, в, ферро-антиферромагнитное взаимодействие оказывает тормозящее действие повороту вектора намагниченности, что указывает на неблагоприятность поворота вектора намагниченности в плоскости пленки, а состояние остаточной намагниченности вряд ли обусловлено границами Нееля, так как рис. 2г не соответствует состоянию блокирования и здесь не выявлено четких границ Нееля.

Дальнейшее приложение поля в одном из направлений ОЛН приводит к переходу вектора намагниченности к ОЛН не возникновением 90° -ной границы, как в случае инверсных пленок [11, 12], а частичным вращением вектора намагниченности и возникновением доменной структуры (рис. 3), напоминающей лабиринтные домены [13], наблюдаемые в обычных пленках при перемагничивании под углом к ОТН. При этом поле, при котором осу-

ществляется возникновение лабиринтных доменов, сильно зависит от возникшего смещающего поля ΔH и от толщины исследуемой пленки. При толщине пленки $t=500 \text{ \AA}$ и $\Delta H=0,2 H_c$ величина этого поля может со-

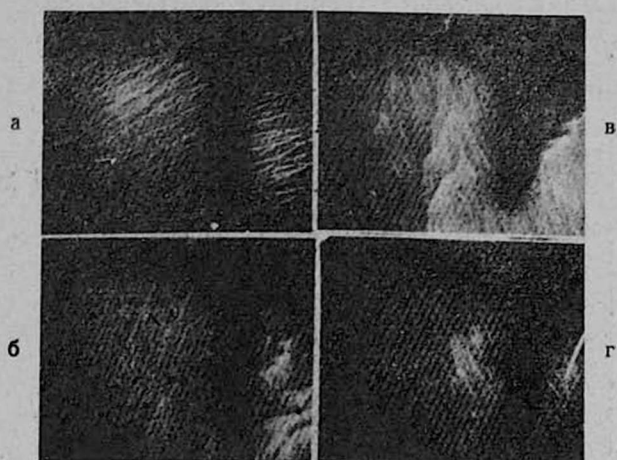


Рис. 3. Процесс перемагничивания пленки по ОЛН при предварительном приложении поля под углом 90° к ОЛН; а, б — начальное и конечное состояния.

ставить $\approx H_c$, что проявляется на поперечной петле, указывающей на наличие вращательных процессов при таком способе перемагничивания пленок.

При увеличении длительности термомагнитного отжига или, то же самое, ΔH также наблюдается возникновение лабиринтных доменов, но при сравнительно меньших полях.

Кроме того, нами наблюдалось также наличие гистерезиса при повороте вектора намагниченности на угол $\varphi \neq 90^\circ$ к ОЛН. В этом случае в зависимости от направления и величины ΔH вектор намагниченности приходит в свое равновесное состояние, не совпадающее с ОЛН.

Факт торможения при повороте вектора намагниченности от ОЛН и к ОЛН в плоскости пленки указывает на справедливость предположений работы [9] об изотропности образовавшегося подслоя ферро-антиферромагнитного взаимодействия и высокой его коэрцитивности. В этом свете приводимая в этой работе модель механизма сужения петли гистерезиса при увеличении частоты перемагничивающего поля, основанная на возможном повороте вектора намагниченности ферро-антиферромагнитного подслоя от ОЛН, по-видимому, справедлива. Тормозящее действие ферро-антиферромагнитного подслоя, выражающееся в росте длины волны ряби намагниченности, указывает на высокую коэрцитивность этого подслоя, не успевающего за поворотом вектора намагниченности ферромагнитной пленки.

II аномалия. Как было отмечено в [7], при перемагничивании пленок с ферро-антиферромагнитным взаимодействием по ОЛН после возникновения границы наблюдается так называемое последствие, т. е. граница при

этом значении поля (даже если немного уменьшить его) может смещаться дальше вплоть до полного перемагничивания пленки.

С ростом ΔH выявляется различие в характере перемагничивания пленок по ОЛН в обеих полярностях. На рис. 4 приведены характерные снимки процесса перемагничивания пленки с $\Delta H = 0,6 H_c$, а соответствует процессу перемагничивания в полярности $\uparrow\uparrow \Delta \vec{H}$, а б—в направлении $\uparrow\downarrow \Delta \vec{H}$.

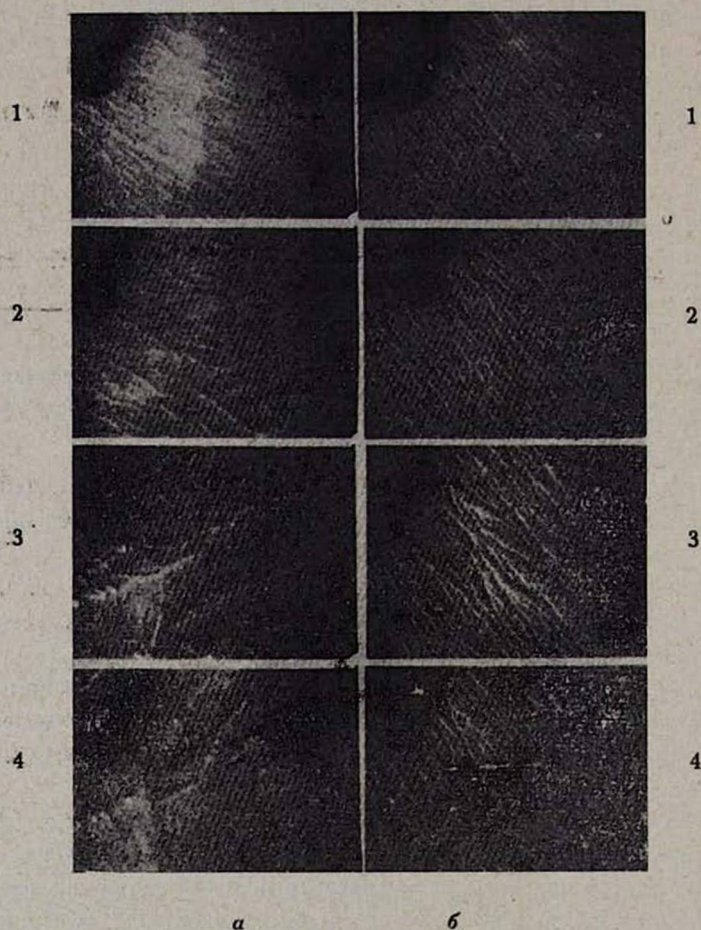


Рис. 4. Процесс перемагничивания пленки с $\Delta H = 0,6 H_c$ в направлении $\Delta \vec{H}$ (а) и в направлении, противоположном $\Delta \vec{H}$ (б).

Если в антипараллельном случае процесс перемагничивания осуществляется возникновением и смещением 180° -ной границы, в обратной полярности процесс обусловлен возникновением лабиринтных доменов, наблюдаемых также в [9]. Однако в обоих случаях этот процесс сопровождается изменением длины волны ряби намагниченности.

Детальное исследование этих пленок показало, что экспериментальная зависимость изменения длины волны ряби намагниченности от внешнего поля при перемагничивании пленки в обеих полярностях ОЛН пред-

ставляет собой параллельные кривые, смещенные друг относительно друга на величину $2\Delta H$.

Анализ этой зависимости показал, что при соответствующем подборе H_k^1 и H_k^2 (поле анизотропии в обеих полярностях) при условии $H_k^1 - H_k^2 = 2\Delta H = 28$ э (последнее найдено из эксперимента) эти кривые хорошо аппроксимируются уравнением Гоффмана [14]

$$\lambda_i^{1,2} = \lambda_0^{1,2} \left(\frac{1}{1 \pm \frac{H_{A1}}{H_{ki}^{1,2}}} \right)^{1/2}, \quad (1)$$

где λ_0 — длина волны ряби намагниченности при $H_A = 0$.

Изменение длины волны ряби намагниченности в зависимости от внешнего поля приведено на рис. 5, где сплошные кривые соответствуют

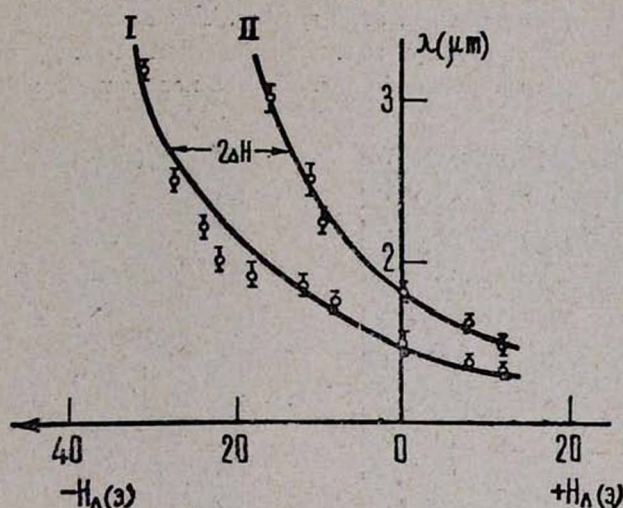


Рис. 5. Изменение длины волны ряби намагниченности под действием перемагничивающего поля: I — $\vec{H}_A \uparrow \downarrow \Delta \vec{H}$, II — $\vec{H}_A \uparrow \uparrow \Delta \vec{H}$.

уравнению (1) (для кривой I H_k подобрано равным 40 э, а для кривой II — 12 э); наблюдается хорошее совпадение эксперимента с уравнением (1). Если предположить применимость теории Гоффмана о ряби намагниченности к пленкам с ферро-антиферромагнитным взаимодействием, то согласно [14] справедливы соотношения

$$\lambda_0^1 = 2\pi \sqrt{\frac{A}{K_u + K_{ud}}}, \quad (2)$$

$$\lambda_0^2 = 2\pi \sqrt{\frac{A}{K_u}}, \quad (3)$$

где K_u — константа одноосной анизотропии, равная $\frac{H_k J}{2}$, K_{ud} — константа индуцированной однонаправленной анизотропии, равная $\Delta H J$ [3], A — константа обмена.

Подставляя найденные значения H_k и ΔH , получим соответственно $K_u = 4,8 \cdot 10^3 \text{ эрг/см}^3$, $K_{ud} = 1,1 \cdot 10^3 \text{ эрг/см}^3$. Оказывается, что в этом случае равенства (2) и (3) могут выполняться одновременно только при соответствующих значениях константы обмена

$$A_1 = 9 \cdot 10^{-6} \text{ эрг/см}, \quad A_2 = 4 \cdot 10^{-6} \text{ эрг/см}.$$

III аномалия. В отличие от обычных пермалловых пленок, в пленках с ферро-антиферромагнитным взаимодействием граница, возникающая при перемагничивании по ОЛН, способна смещаться только в одну сторону, т. е. если не насыщая пленку в одной полярности приложить поле обратной полярности, то имеющиеся в пленке границы не смещаются в направлении увеличения домена, а пленка будет перемагничиваться возникновением новых границ, соответствующих данной полярности приложенного внешнего поля, и дальнейшим смещением этих границ. Такое «странное» поведение границы хорошо видно как при магнитооптическом наблюдении (рис. 6), так и в электронном микроскопе (рис. 7). Это поведение границы не зави-

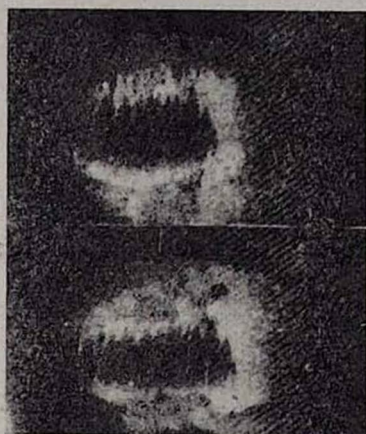


Рис. 6.

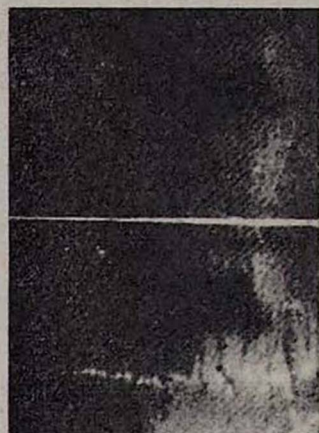


Рис. 7.

Рис. 6, 7. Возникновение новых перемагничивающих границ при перемагничивании пленок полями меньше H_c .

сит от последовательности приложения полей, параллельных или антипараллельных ΔH .

В пленках, имеющих сравнительно небольшую толщину, наряду с вышеуказанным аномальным поведением граница претерпевает также зигзагообразную деформацию. На рис. 8 приводится характерный участок перемагничивающей границы в пленках с ферро-антиферромагнитным взаимодействием. Возникновение зигзагообразной границы с поперечными связями в обычных пермалловых пленках наблюдалось нами и ранее [15], однако там это было обусловлено приложением растягивающих напряжений под углом $\approx 45^\circ$ к ОЛН и при обратимом характере этого процесса граница претерпевала деформацию, симметричную по обеим ее сторонам. В дан-

ном случае в отличие от [15] процесс необратим и, что не менее здесь важно, симметричности не наблюдается.

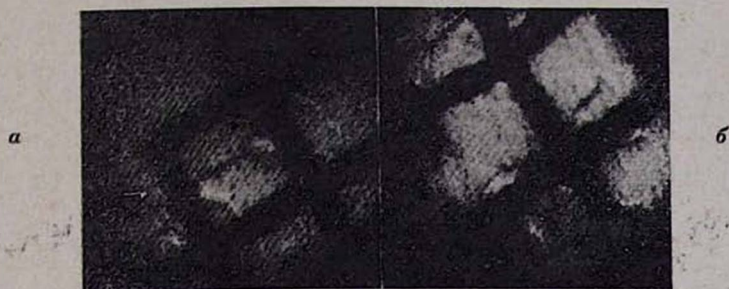


Рис. 8. Зигзагообразная деформация границы с поперечными связями при перемагничивании пленок в направлении ОЛН, $H_L = 15$ э.

Поскольку как в [15], так и здесь зигзагообразная деформация обусловлена структурой границы с поперечными связями, рассмотрим структуру последней в пленках с ферро-антиферромагнитным взаимодействием.

Схематическое изображение структуры доменной границы с поперечными связями в пленке с ферро-антиферромагнитным взаимодействием под действием поля H_L приведено на рис. 9. Известно, что граница с попереч-

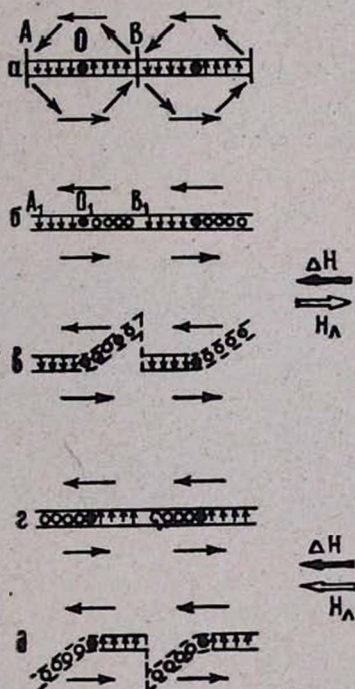


Рис. 9. Схематическое пояснение зигзагообразной деформации границы с поперечными связями в зависимости от взаимного расположения

$$\vec{H}_L \text{ и } \vec{\Delta H}.$$

ными связями представляет 90° неелевские сегменты AO и OB (рис. 9а), разделенные круговыми (O) и крестообразными (A, B) линиями Блоха [16]. Электронномикроскопические исследования показали, что в зависимости от направления $\Delta \vec{H}$ и полярности поля H_d разрыв границы происходит на различных неелевских сегментах границы. Иначе говоря, действие внешнего поля H_d не равнозначно на двух соседних неелевских сегментах, т. е. коэрцитивная сила смещения соседних неелевских сегментов как бы различна. При этом оказывается, что неелевский сегмент с благоприятным направлением вращения спинов к $\Delta \vec{H}$ имеет большую коэрцитивную силу смещения, чем соседний сегмент. На рис. 9 (б—д) сплошной линией указаны неелевские сегменты с большей коэрцитивной силой.

Наличие однонаправленного движения доменных границ, разрыв доменных границ с поперечными связями при перемагничивании пленок с ферро-антиферромагнитным взаимодействием и факт большой коэрцитивной силы смещения границ в этом случае по сравнению с пленками до термомагнитного отжига указывают, что граница чувствительна к наличию ферро-антиферромагнитного взаимодействия в пленках. Это и понятно, так как в самой границе с поперечными связями спины по-разному прецессируют и по-разному будут взаимодействовать со спинами антиферромагнитного подслоя пленки.

В этом свете исследование структуры границы методом малоугловой дифракции электронов [17, 18], по-видимому, может дать дополнительные сведения о возможной структуре самой границы. Введение дополнительной системы стигматора в полость промежуточной линзы микроскопа УЭМВ-100К позволило просмотреть один и тот же участок пленки как в режиме дефокусирования с большим разрешением, так и в режиме малоугловой дифракции электронов.

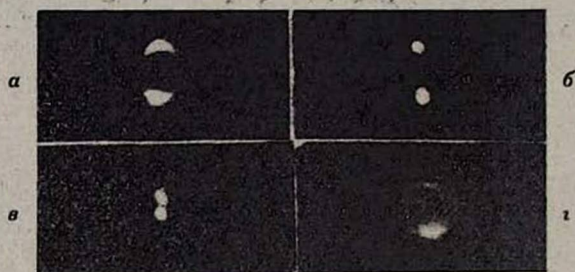


Рис. 10. Картины малоугловой дифракции от доменных границ: а — для границы с поперечными связями в одноосноанизотропной пленке; б — в поле $H_T = 0,6 H_K$; в — в поле $H_T = 0,8 H_K$; г — для границы в пленке с ферро-антиферромагнитным взаимодействием.

На рис. 10 приведена картина малоугловой дифракции электронов от границы с поперечными связями пленки состава $82/18 Ni/Fe$. В отличие от [19], где апертура пучка порядка нескольких микрон давала возможность просмотреть отдельные участки границы (крестообразную и круговую ли-

нии Блоха), в нашем случае апертура ≈ 30 мк приводит к созданию суммарной усредненной картины дифракции. Судя по дифракционной картине рис. 10а, полученной с площади пленки диаметром 30 мк, прилегающей к границе, наряду с чисто 90° областями намагниченности (неелевские сегменты) имеются также и области, в которых компонента вектора намагниченности по ОЛН непрерывно уменьшается (наличие усиков у дифракционных пятен). Это обусловлено распределением намагниченности областей, примыкающих к круговой линии Блоха, где спины, прецессируя, выходят из плоскости пленки, уменьшая тем самым компоненту вектора намагниченности по ОЛН. При приложении поля по ОЛН $H_T = 0,6 H_K$, когда линии Блоха аннигилируют и граница переходит в чисто 90° границу Нееля [16], на дифракционной картине усики исчезают (см. рис. 10б). Дальнейший рост поля $H_T = 0,8 H_K$ приводит к сближению дифракционных пятен (рис. 10в). Последнее обусловлено уменьшением компоненты вектора намагниченности, параллельной ОЛН, которая ответственна за расщепление падающего на пленку электронного пучка.

Исследование доменной границы пленки с ферро-антиферромагнитным взаимодействием методом малоугловой электронной дифракции показало, что дифракционная картина в этом случае сильно отличается от картины в случае обычной пленки. Здесь мы имеем, в основном, подковообразную картину, показанную на рис. 10г.

Наличие дифракционных пятен подковообразной формы при отсутствии основных дифракционных пятен, как это видно из рис. 10г, указывает на то, что круговая линия Блоха границы не является центром симметрии прилегающих неелевских сегментов. По одну сторону от круговой линии Блоха (на рис. 9 отмечено темными кружками) вектор намагниченности, непрерывно меняя свое направление, прецессирует с выходом из плоскости пленки (участки границы O_1B_1 , рис. 9б, отмеченные светлыми кружками), а на соседнем участке A_1O_1 этот процесс отсутствует и переход намагниченности здесь осуществляется неелевской прецессией. При перемагничивании пленки граница претерпевает разрыв, в основном, на участках блоховской прецессии.

Возникает нечто странное—граница с поперечными связями из-за наличия ферро-антиферромагнитного взаимодействия переходит в новый тип границы, где один из сегментов является неелевским, а другой—блоховским, а при прочих равных условиях коэрцитивная сила блоховского участка меньше неелевского, что, по-видимому, и является причиной разрыва границы при ее смещении. Следовательно, при изменении полярности перемагничивающего поля более благоприятным является возникновение новой границы и ее смещение (рис. 6, 7). Как нами уже отмечалось, тогда блоховские и неелевские сегменты меняются местами (рис. 8). В этом свете предположение о блоховской прецессии вектора намагниченности при перемагничивании пленок с ферро-антиферромагнитным взаимодействием, содержащееся в [20], не лишено оснований.

Л И Т Е Р А Т У Р А

1. W. H. Meiklejohn. J. Appl. Phys. Suppl., 33, 1382 (1962).
2. O. Massenet, S. Montmory, L. Neel. IEEE Trans. Magnet., 1, 63 (1965).
3. Л. А. Глазер, А. П. Потапов, Р. Таиуров, Я. С. Шур. ФТТ, 10, 3022 (1966).
4. А. А. Глазер, А. П. Потапов, Р. Таиуров, Я. С. Шур. Сб. Физика магнитных пленок, Материалы международного симпозиума, 1968, Иркутск, стр. 190.
5. A. A. Glazer, A. P. Potapov, R. I. Tagirov, J. S. Shur. Phys. stat. sol., 16, 745 (1966).
6. Н. М. Саланский, Б. П. Хрусталева, А. А. Глазер. Сб. Физика магнитных пленок, Материалы международного симпозиума, 1968, Иркутск, стр. 207.
7. А. П. Потапов. Кандидатская диссертация, Свердловск, 1969.
8. O. Massenet, J. Devenyi. Compt. Rend. Acad. Sci., Paris, 265 B, 605 (1967).
9. O. Bostonjoglo, P. Kreisel. Phys. stat. sol. (a), 7, 173 (1971).
10. Н. Hoffmann. J. Appl. Phys., 35, 1790 (1964).
11. Я. М. Погосян. ФММ, 17, 678 (1964).
12. Я. М. Погосян. ФММ, 19, 38 (1965).
13. S. Methfessel, S. Middelhoek, H. Thomas. J. Appl. Phys., 32, 1959 (1961).
14. Н. Hoffmann. Phys. stat. sol., 6, 733 (1964).
15. Я. М. Погосян, М. А. Ншакян, П. А. Безириакян. ФММ, 33, 179 (1972).
16. Я. М. Погосян, А. Г. Шичков, Р. В. Телескин. ФММ, 30, 880 (1970).
17. R. H. Wade, J. Silcox. Phys. stat. sol., 19, 63 (1967).
18. R. P. Ferriter. Bull. Soc. Mineral cristallogr., 90, 464 (1967).
19. В. И. Петров, Г. В. Спивак, О. П. Павлюченко. УФН, 106, 229 (1972).
20. М. Ш. Ерухимов. Кандидатская диссертация, Красноярск, 1971.

**ՖԵՐՐՈ-ԱՆՏԻՖԵՐՐՈՄԱԳՆԵՏԻՍԱԿԱՆ ՓՈԽԱԶԳԻՆՑՈՒԹՅԱՄԻ ԿԱՊՎԱՄ
ԹԱՂԱՆՔՆԵՐԻ ՎԵՐԱՄԱԳՆԵՏԻՍԱՑՄԱՆ ՈՐՈՇ ԱՌԱՆՁՆԱՀԱՏԿՈՒԹՅՈՒՆՆԵՐԻ
ՄԱՍԻՆ**

ՅԱ. Մ. ՊՈԳՈՍՅԱՆ, Զ. Մ. ԳԶՐԻԱՆ

Աշխատանքը նվիրված է ֆերո-անտիֆերրոմագնիսական փոխազդեցության կապված թաղանթների որոշ անոմալ հատկությունների (համեմատած սովորական պերմալլոյի թաղանթների հետ) էլեկտրոնամիկրոսկոպիկ հետազոտությանը: Ցույց է տրված, որ շնայած այս թաղանթների վերամագնիսացման ժամանակ մագնիսացման ծիանքի λ ալիքի երկարության փոփոխությունը բավարարում է Հոֆմանի հավասարմանը, սակայն այս դեպքում միակողմանի անտիդոտորոպիայի դոյություն պատճառով λ -ի արտաքին H_c դատից կախվածության կորերը, որոնք համապատասխանում են ΔH -ին զուգահեռ և հակառակ ուղղությամբ վերամագնիսացմանը, շեղված են $2 \Delta H$ մեծությամբ: Հայտնաբերված է թաղանթներում դոյություն ունեցող դոմենային սահմանների միակողմանի շարժման երևույթ և բերվում է այդ երևույթի հնարավոր բացատրությունը:

**ABOUT SOME PECULIARITIES OF THE REVERSAL
MAGNETIZATION OF FILMS AT
FERRO-ANTIFERROMAGNETIC INTERACTION**

Ya. M. POGOSIAN, Z. M. GZRIAN

The paper is concerned with electron-microscopic study of some anomalous peculiarities (as compared to the ordinary Ni-Fe films) of the reversal magnetization of the films at ferro-antiferromagnetic interaction.

К ТЕОРИИ ДВОЙНОЙ ИНЖЕКЦИИ В КОМПЕНСИРОВАННЫХ ПОЛУПРОВОДНИКАХ, СОДЕРЖАЩИХ ГЛУБОКИЕ АКЦЕПТОРНЫЕ ЦЕНТРЫ И ЭЛЕКТРОННЫЕ УРОВНИ ПРИЛИПАНИЯ

Г. М. АВАКЬЯНЦ, В. М. АРУТЮНЯН

Рассчитаны закономерности, имеющие место на прямой ветви вольт-амперной характеристики p^+nl^+ -структуры, изготовленной на основе компенсированного полупроводника, в запрещенной зоне которого наряду с центрами рекомбинации предполагается наличие уровней прилипания для электронов.

Захват носителей заряда различными ловушками оказывает существенное влияние на протекание тока через твердое тело. С ростом тока на вольт-амперной характеристике (ВАХ) твердотельных приборов наблюдается ряд новых закономерностей, в частности, возможно появление участков отрицательного сопротивления (ОС) на ВАХ, в свою очередь приводящих к кумуляции тока в шнур или образованию доменов [1—14]. В настоящее время проявляется большой интерес к изучению приборов, изготовленных не только на основе германия и кремния, но и GaAs, CdS и др.

Имеется также значительное число исследований по прохождению тока в облученных полупроводниках. Здесь уже нельзя ограничиться рассмотрением такой модели, где в запрещенной зоне полупроводника предполагается наличие лишь одного типа ловушек, даже если они являются многозарядными. Даже в ковалентных полупроводниках при заметной компенсации их примесями, создающими глубокие уровни в запрещенной зоне, в широком температурном диапазоне возможно ослабление их роли и усиление влияния нахождение тока примесей, концентрация которых при обычных температурах меньше концентрации компенсирующей примеси, а также различных комплексов.

В рассматриваемой в настоящей работе p^+nl^+ -структуре база считается длинной, падением напряжения на переходах пренебрегается. Зонная модель приведена на рис. 1. Предполагается наличие мелких донорных

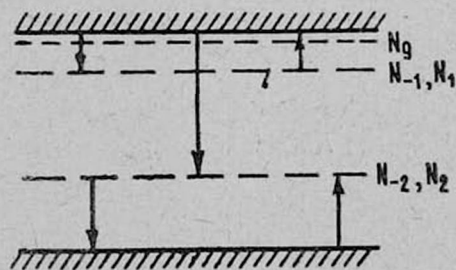


Рис. 1. Зонная модель.

центров N_g и двух типов акцепторных центров. Если N_1 — концентрация электронных уровней прилипания (ЭУП), N_2 — концентрация рекомбинационных центров (РЦ), то пренебрегая взаимодействием ЭУП с валентной зоной и тепловым забросом электронов с РЦ в зону проводимости, для концентрации электронов N_{-1} и N_{-2} соответственно на ЭУП и РЦ имеем

$$N_{-1} = \frac{n}{n+n_1} N_1, \quad N_{-2} = \frac{p_2 + \theta n}{p_2 + \theta n + p} N_2. \quad (1)$$

Здесь n_1 и p_2 — концентрации Шокли-Рида соответственно для ЭУП и РЦ, θ — отношение коэффициента рекомбинации электронов к коэффициенту рекомбинации дырок на РЦ.

Подставляя (1) в уравнение квазинейтральности

$$p + N_g - n - N_{-1} - N_{-2} = 0, \quad (2)$$

для концентрации дырок p имеем кубическое уравнение

$$\frac{p^3}{kb} \left(1 - \frac{\theta}{b}\right) - p^2 (Rn_0 + A) + p (Ln_0^2 + Bn_0 - C) + (\theta n_0 + p_2)(n_0^2 + Dn_0 + K) = 0. \quad (3)$$

Здесь

$$A \equiv \frac{n_1}{k} - \frac{p_2}{kb} + \frac{N_1 - N_g}{b} - \frac{\theta n_1}{b^2} (\alpha + b), \quad k \equiv \frac{b}{b+1},$$

$$B \equiv N_1 - N_g + n_1 - \frac{b+2}{b} p_2 - \frac{2\theta n_1}{b} \left(\alpha + \frac{2}{b}\right),$$

$$C \equiv n_1 N_g + \frac{n_1 p_2}{b} (\alpha + b) + \frac{\theta n_1}{b} (N_2 - N_g), \quad (4)$$

$$D \equiv \alpha n_1, \quad K \equiv n_1 (N_2 - N_g), \quad L \equiv 1 - \frac{\theta}{b} (b+3),$$

$$\alpha \equiv 1 + \frac{N_2 + N_1 - N_g}{n_1}, \quad R \equiv \frac{b+2}{b} - \frac{\theta}{b^2} (2b+3), \quad \delta_0 \equiv \frac{N_2 - N_g}{N_g},$$

а для концентрации электронов принято

$$n = n_0 - \frac{p}{b}, \quad n_0 \equiv \frac{j}{eu_n E}. \quad (5)$$

Остальные обозначения обычные. Так как в (3) член с p^3 всегда меньше таких членов, как, например, $Rn_0 p^2$ или $Ln_0^2 p$, его можно опустить. Уравнение (3) примет вид

$$p^2 (Rn_0 + A) - p (Ln_0^2 + Bn_0 - C) - (\theta n_0 + p_2)(n_0^2 + Dn_0 + K) = 0. \quad (6)$$

При малых n_0 членом с p^2 также можно пренебречь. Тогда

$$p \approx \frac{(p_2 + \theta n_0)(Dn_0 + K)}{C - Bn_0}. \quad (7)$$

Так как статистика Шокли-Рида применима в данной модели, где введение ЭУП приводит лишь к изменению n и p в силу (2), примем

$$\tau_p \approx \tau_p^0 \frac{p_2 + \theta n + p}{\theta n}. \quad (8)$$

Ниже пока опустим p рядом с $p_2 + \theta n$. Подставив (7) и (8) в уравнение непрерывности для дырочной составляющей тока, можно получить

$$\left\{ K p_2 \left(1 - \frac{2 B n_0}{C} \right) - D n_0^2 \left(\theta + \frac{p_2 B}{C} \right) \right\} \frac{dE}{dx} = \\ = - \frac{n_0}{u_p \tau_n^0} (D n_0 + K) \left(1 - \frac{B n_0}{C} \right). \quad (9)$$

Используя такой же подход к решению (9), как и в [11], разделим базу на две области. При $D n_0 > K$ и $B n_0 < C$ наряду с областью, где

$$E = \sqrt[3]{\frac{3 j^2 \alpha (d-x)}{e^2 u_n^2 u_p \tau_n^0 p_2 \delta_0 N_g}}, \quad (10)$$

которая приводит к формированию после омического участка закономерности

$$j = \frac{8}{9} \sqrt[3]{\frac{e^2 u_n^2 u_p \tau_n^0 p_2 \delta_0 N_g}{a} \frac{V^{1.5}}{d^2}}, \quad (11)$$

в базу входит со стороны n^+ -контакта область локального ОС

$$E = \frac{\alpha j}{e u_n \delta_0 N_g} \left\{ \exp \left[\frac{e u_n \delta_0 N_g x}{\alpha j u_p \tau_n^0 \left(\theta + \frac{p_2 B}{C} \right)} \right] - 1 \right\}. \quad (12)$$

На границе x_1 этих областей

$$E(x_1) = \frac{j}{e u_n} \sqrt[3]{\frac{\alpha \left(\theta + \frac{p_2 B}{C} \right)}{p_2 \delta_0 N_g}}. \quad (13)$$

Приравнивая (12) и (13), получаем значение x_1 , а так как плотность тока срыва для данного случая определяется из условия $x_1 = \frac{d}{3}$, имеем

$$j_{cp} = \frac{e b \delta_0 N_g d}{3 \tau_n^0 \alpha \left(\theta + \frac{p_2 B}{C} \right) \ln \left[1 + \sqrt[3]{\frac{\delta_0 N_g}{\alpha p_2} \left(\theta + \frac{p_2 B}{C} \right)} \right]}. \quad (14)$$

При $\theta > \frac{p_2 B}{C}$ величина j_{cp} лишь в $\sqrt[3]{\alpha}$ раз меньше плотности тока срыва для случая без ЭУП, рассмотренного в [11]. Подстановка (14) в (11) и замена в последнем d на $\frac{2}{3} d$ позволяет определить V_{cp} . Заметим,

что срыв имеет место еще при отсутствии условия для заполнения ЭУП и с входением в базу области локального ОС.

В [11] было получено уравнение, описывающее прохождение тока в полупроводнике для случая двойной инжекции при любой зависимости между концентрациями дырок и электронов. Опуская малый член с $\left(\frac{dp}{dx}\right)^2$, это уравнение можно переписать в виде

$$\frac{D_p}{bn_0} \frac{d}{dp} (np) \frac{d^2 p}{dx^2} + \frac{D_p}{kT(b+1)} \left\{ \frac{d}{dp} [e(n-p)E_T] \right\} \frac{dp}{dx} - \frac{p-p_0}{b\tau_p} = 0. \quad (15)$$

Член в фигурных скобках имеет размерность силы. Его можно представить как результирующую силу, равную приходящемуся на одну инжектированную дырку изменению силы, действующей на единицу объема электронно-дырочной плазмы при наличии в базе токового (дрейфового) электрического поля E_T . В литературе имеются и другие формулировки проблемы путем введения биполярной [9, 12, 14] и эффективной [13] подвижностей. Впервые на существенную роль изменения с током коэффициента при $\frac{dp}{dx}$ в компенсированных полупроводниках было указано в работах [9, 14].

Для случая, рассматриваемого в настоящей работе, указанная выше результирующая сила принимает вид

$$\begin{aligned} & \frac{d}{dp} [e(n-p)E_T] \approx \\ & \approx \frac{j(b+1) \left[2\theta BCD \left(1 - \frac{p_2 D}{2bC}\right) n_0^3 - C^2 D n_0^2 \left(\theta + \frac{p_2 B}{C}\right) - 3BCKp_2 n_0 + p_2 KC^2 \right]}{C^2 D \left(1 - \frac{Bn_0}{C}\right) \left[p_2 + 2\theta_2 \left(1 - \frac{Bn_0}{2C}\right) \right] u_n n_0^2} = \\ & = \frac{j(b+1)C}{u_n n_0^2} \left\{ 2\theta BD n_0^3 - DC n_0^2 \left[\theta + \frac{p_2 B}{C} \left(1 - \frac{Bn_0}{C}\right) \right] + \right. \\ & \left. + p_2 KC \left(1 - \frac{3Bn_0}{C}\right) \right\} \left\{ \left(1 - \frac{Bn_0}{C}\right) \left[p_2 + 2\theta_2 \left(1 - \frac{Bn_0}{2C}\right) \right] \right\}^{-1}, \end{aligned} \quad (16)$$

где опущены малые члены и приняты неравенства

$$2|B|K < CD, \quad K < C. \quad (17)$$

Из (16) следует, что в рассматриваемой модели увеличение с током результирующей силы можно ожидать лишь при достижении значения уровня инжекции

$$n_{01} = \sqrt{\frac{p_2 K}{\alpha \left(\theta + \frac{p_2 B}{C}\right) n_1}}. \quad (18)$$

При получении (18) в (16) опущены как малые члены, содержащие n_0^3 и n_0 , что предполагает выполнение, в частности, неравенств

$$3|B|n_0 < C, \quad 2|B|n_0 < C \left(1 + \frac{p_2 B}{\theta C}\right). \quad (19)$$

Следует отметить совпадение выражений (18) и (13), полученных независимо из уравнения непрерывности и выражения для результирующей силы. Таким образом, можно считать установленным, что участок ОС связан с существенным продвижением участка с локальным ОС вглубь базы с ростом инжекции, что приводит к падению всего напряжения на структуре. Таким представляется нам механизм обратной связи, приводящей к S-образности в рассматриваемой модели.

Если при этих уровнях инжекции уже не выполняется неравенство $p_2 > p + \theta n$, которое согласно (7) и с учетом (17) соответствует условию

$$C > n_0(B + D) + \frac{\theta n_0}{p_2} C + \frac{\theta n_0^2}{p_2} (D - B), \quad (20)$$

то время жизни дырок перестает уменьшаться.

Расчет коэффициента D^p при $\frac{dp^2}{dx^2}$ в (15) в рассматриваемом диапазоне токов ($n_0 < \sqrt{K}$) дает

$$\frac{D^p}{D_p} \approx \frac{2(N_g + p_2) - \frac{b(N_2 - N_g)}{an_0} [(a - b)p_2 - bN_g]}{bN_g + p_2(a + b) + \theta(N_2 - N_g)} + \frac{\theta(N_2 - N_g)}{ap_2}, \quad (21)$$

т. е. с увеличением уровня инжекции эффективный коэффициент диффузии D^p не только не увеличивается, а уменьшается, так что условие справедливости проведенного в дрейфовом приближении рассмотрения еще более улучшается.

Таким образом, наличие участка ОС нужно связать с увеличением с током указанной выше результирующей силы. При этом с током увеличивается дрейфовая длина (скорость). В этом диапазоне токов диффузионная длина уменьшается, поэтому возникновение ОС нельзя связать с ее увеличением.

Наиболее жестким из неравенств, при которых справедлива запись ρ в виде (7), является $n_0^2 < K$; при невыполнении последнего имеем

$$p \approx \frac{n_0(\theta n_0 + p_2)(an_1 + n_0)}{C - Bn_0}. \quad (22)$$

Если $p < p_2$, τ_p продолжает уменьшаться с ростом тока. Получая с помощью (22) и (8) уравнение, аналогичное (9), и анализируя его, приходим к выводу, что наибольшим членом в нем является

$$\left(\theta \frac{C}{B} + p_2\right) an_1 \frac{dE}{dx} = - \frac{an_1 + n_0}{u_p \tau_n^0} \left(\frac{C}{B} - n_0\right). \quad (23)$$

Согласно (23) после участка ОС следует участок с небольшим положительным наклоном, близкий к вертикали

$$V = \frac{d^2}{2u_p \tau_n^0} \frac{1}{\theta + \frac{Bp_2}{C}} \quad (24)$$

Протяженность этого участка сильно зависит от температуры.

При больших уровнях инжекции

$$p \approx \frac{Ln_0^2}{Rn_0 + A} \quad (25)$$

При $p < p_2$ имеем

$$E^2 \left(1 + \frac{2}{3} \frac{eu_n p_2 E}{\theta j} \right) = \frac{2Rjx}{eu_n u_p \tau_p^0 A} \quad (26)$$

Если p раньше сравнивается с $\frac{p+p_2}{\theta}$, чем p с p_2 , после участка уменьшения τ_p с ростом тока время жизни дырок становится постоянным. Лишь с достижением $p = p_2$ τ_p начинает увеличиваться и достигает $\tau_{p\infty}$ при $p = sp_2$ (рис. 2). При этом должно выполняться неравенство

$$\frac{bR - L}{L} + \frac{2Ab}{p_2 R} \frac{1}{1 + \sqrt{1 + \frac{4AL}{p_2 R^2}}} > \frac{2}{\theta} \quad (27)$$

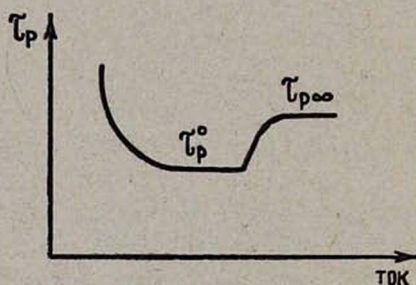


Рис. 2. Изменение времени жизни дырок с ростом тока.

Если (27) не выполняется, то участка $\tau_p \approx \tau_p^0$ практически нет.

Если неравенство (27) имеет место, то согласно (26) с прекращением уменьшения τ_p с ростом тока зависимость

$$j = \frac{8}{9} \sqrt{\frac{e^2 u_n^2 u_p \tau_n^0 p_2 A}{R}} \frac{V^{1.5}}{d^2} \quad (28)$$

постепенно сменяется на следующую

$$j = \frac{9}{8} \frac{eu_n u_p \tau_p^0 A}{R} \frac{V^2}{d^3} \quad (29)$$

С увеличением времени жизни дырок в базу входит раскомпенсированная область с

$$E = \sqrt{\frac{2Rjx}{eu_n u_p \tau_{p\infty} A}}, \quad (30)$$

которая вытесняет область с такой же формой записи для напряженности электрического поля с одним лишь отличием (вместо $\tau_{p\infty}$ нужно взять $\tau_{p0} = \theta \tau_{p\infty}$), из которой следует (29). При вхождении (30) в базу на расстоянии $\frac{d}{r}$ имеет место срыв, параметры которого даются в виде

$$j_{cp} = \frac{ebd}{\tau_{p\infty}} \frac{R^3 s^2 p_2^2}{2rAL^2} \left[1 + \sqrt{1 + \frac{4AL}{p_2 s R^2}} \right], \quad (31)$$

$$V_{cp} = \frac{2}{3} \frac{R^2 s p_2}{AL} \left(1 + \sqrt{1 + \frac{4AL}{p_2 s R^2}} \right) \sqrt{\frac{\left(1 - \frac{1}{r}\right)^3}{rb} \frac{d^2}{u_p \tau_p^0}}. \quad (32)$$

При невыполнении (27) выражение для тока срыва будет отличаться от (31) лишь заменой r на r' , а напряжение срыва найдется из (28) путем замены j на ток срыва, а d — на $d \left(1 - \frac{1}{r'}\right)$, при этом $r = 4$, $r' = 3$.

Таким образом, вполне возможен случай, когда на ВАХ имеет место двойной срыв (рис. 3). Анализируя (14), (24) и (31), а также выражения

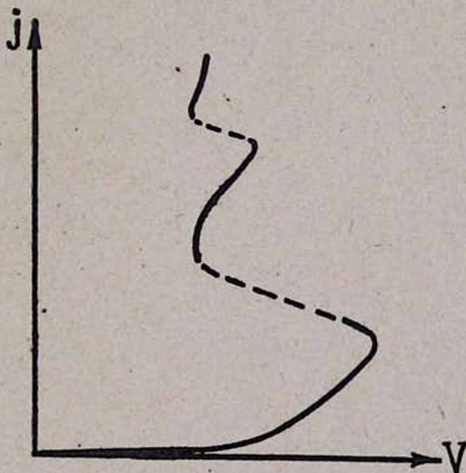


Рис. 3. Схематическое изображение прямой ветви вольт-амперной характеристики p^+nl^+ -структуры.

для напряжения срыва, и сравнивая их, можно убедиться, что из-за наличия двух акцепторных центров с различными концентрациями и энергетическим расположением в запрещенной зоне возможны самые различные температурные зависимости характерных точек и участков ВАХ.

Характерным является также очень малая плотность тока первого срыва, наблюдаемая в диодах на основе GaAs [15], где пренебречь прили-

панием нельзя. На эксперименте ВАХ с двумя срывами наблюдались также в [16, 17].

Институт радиофизики и электроники
АН АрмССР

Поступила 25.XI.1972

Л И Т Е Р А Т У Р А

1. С. М. Рывкин. Фотоэлектрические явления в полупроводниках, Физматгиз, М., 1963.
2. М. А. Lampert. Rept. Progr. Phys., 27, 329 (1964). А. Роуз. Основы теории фотопроводимости, Мир, М., 1966.
3. Сб. Вопросы пленочной электроники, Советское радио, М., 1966.
4. С. А. Гаряинов, И. Д. Абезгауз. Полупроводниковые приборы с отрицательным сопротивлением, Энергия, М., 1970.
5. В. А. Бонч-Бруевич, И. П. Звягин, А. Г. Миронов. Доменная электрическая неустойчивость в полупроводниках, Наука, М., 1972.
6. D. Dascalu. Injectia unipolară in dispozitive electronice semiconductoră, Ed. Academiei RSR Bucuresti, 1972.
7. В. И. Стафеев. ФТП, 3, 2513 (1961); 5, 11 (1963).
8. Г. М. Авакьянц. Радиотехника и электроника, 10, 1880 (1965); Изв. АН АрмССР, Физика, 1, 248 (1966).
9. В. В. Осипов и др. ФТП, 1, 1795 (1967); 4, 2241 (1970); 5, 836, 1387 (1971); 6, 441 (1972).
10. Г. М. Авакьянц, В. М. Арутюнян. Изв. АН АрмССР, Физика, 3, 200 (1968); ФТП, 3, 964 (1969); ДАН АрмССР, 46, 228 (1968).
11. Г. М. Авакьянц, В. М. Арутюнян. Изв. АН АрмССР, 4, 318 (1969). Г. М. Авакьянц, В. М. Арутюнян, Р. С. Барсемян. ДАН АрмССР, 53, 218 (1971); Изв. АН АрмССР, Физика, 7, 55 (1972).
12. В. А. Душкин, Л. П. Музюкин, В. И. Мурыгин, В. И. Стафеев. ФТП, 4, 1761 (1970).
13. Ю. А. Абрамян. Кандидатская диссертация, Ереван, 1970.
14. В. А. Сабликов, И. Б. Павлинов. ДАН УзбССР, 3, 27 (1967); 4, 21 (1968).
15. В. И. Мурыгин. Докторская диссертация, М., 1973. В. С. Рубин. Кандидатская диссертация, М., 1970. Г. А. Ешазарян. Кандидатская диссертация, М., 1971.
16. Г. М. Авакьянц, Э. Н. Адамян, Р. С. Барсемян, С. А. Тарумян. ФТП, 5, 809 (1971).
17. Радиационная физика неметаллических кристаллов, Сб. статей под ред. И. Д. Козленко, Наукова думка, Киев, 1971.

ԽՈՐԸ ԱԿՑԵՊՏՈՐԱՑԻՆ ԿԵՆՏՐՈՆՆԵՐ ԵՎ ԷԼԵԿՏՐՈՆՆԵՐԻ ՀԱՄԱՐ ԿՊՉՈՂԱԿԱՆ
ՄԱԿԱՐԴԱԿՆԵՐ ՊԱՐՈՒՆԱԿՈՂ ՀԱՄԱԿՇՈՎԱՑ ԿԻՍԱՀԱՂՈՐԴԻՉՆԵՐՈՒՄ
ԿՐԿՆԱԿԻ ԻՆԺԵԿՏԻԱՑԻ ՏԵՍՈՒԹՅԱՆ ՎԵՐԱԲԵՐՅԱԼ

Գ. Մ. ԱՎԱԿՅԱՆՑ, Վ. Մ. ԱՐՄԵՅՅՈՒՅԱՆ

Հաշված են օրինաչափություններ արգելման ղոնալում խոր սկզբըինացիոն կենտրոնների հետ մեկտեղ էլեկտրոնների համար կալոդական մակարդակներ ունեցող համակշիված կիսահաղորդիչի պատրաստված p+n+-կառուցվածքի վոլտ-ամպերային բնութագրի դրական ճյուղի համար:

ON DOUBLE INJECTION THEORY IN COMPENSATED
SEMICONDUCTORS WITH DEEP ACCEPTOR CENTRES
AND ELECTRON TRAPS

G. M. AVAKIANTS, V. M. HARUTUNIAN

The regularities taking place on the direct branch of CV-characteristic for p^+nn^+ -structure made on the basis of compensated semiconductors with recombination centres and electron traps in the forbidden band are calculated.

К ВОПРОСУ ОБ ОБОСНОВАНИИ РАВНОВЕСНОЙ ФУНКЦИИ РАСПРЕДЕЛЕНИЯ СТАТИСТИЧЕСКОЙ ТЕРМОДИНАМИКИ

Р. Г. ГЕВОРКЯН, А. Г. СИНАНЯН

В настоящей работе показывается, что число энергетических переходов, совершаемых составными частями термодинамических систем в единицу времени, представляет собой важную статистическую характеристику различных состояний этих систем. Полагая, что частицы системы распределяются по энергетическим уровням пропорционально средним временам пребывания на этих уровнях, можно получить общую функцию распределения частиц по уровням, содержащую параметр, предельное значение которого соответствует равновесному состоянию.

О функции распределения для систем с дискретным спектром

Рассмотрим термодинамическую систему, состоящую из N одинаковых подсистем, называемых в дальнейшем «частицами». Допустим, что устойчивые состояния частиц характеризуются определенными значениями энергии $\varepsilon_1, \varepsilon_2, \dots$, и будем полагать, что в пределах объема системы все частицы находятся в одинаковых условиях. Частицы системы при кратковременных взаимодействиях обмениваются энергией. Пусть N_i — число частиц в состоянии с энергией ε_i , $f(\varepsilon_i) = N_i/N$ — функция распределения, а τ_i — среднее время пребывания частицы в состоянии с энергией ε_i . Если

$$P_i = \frac{N_i}{\tau_i} \quad (1)$$

представляет собой число частиц, покидающих уровень ε_i за единицу времени, то

$$P = \sum_i P_i = \sum_i \frac{N_i}{\tau_i} \quad (2)$$

есть общее число энергетических переходов, происходящих в системе за единицу времени.

Обозначим через R число частиц, поступающих на уровень ε_i за единицу времени; это число не должно зависеть от того, сколько частиц находится в состоянии с энергией ε_i , оно будет определяться общим состоянием системы, т. е. видом функции распределения $f(\varepsilon_i)$.

Составим разность

$$\Delta P_i = |P_i - R_i| = \left| \frac{N_i}{\tau_i} - R_i \right| \quad (3)$$

Заметим, что согласно (1) P_i прямо пропорционально N_i , тогда как зависимость τ_i и R_i от N_i может быть очень слабой или отсутствовать вовсе. Допустим, что в начальный момент времени поступление частиц на уровень ε_i превосходит уход, т. е. $R_i > P_i$. Тогда с увеличением N_i разность (3)

будет уменьшаться. Медленное изменение τ_i и R_i в связи с изменением вида функции распределения не может приостановить быстрого увеличения N_i и поэтому система будет стремиться к состоянию с $\Delta P_i = 0$. Точно также, если вначале $R_i < P_i$, то N_i будет убывать быстрее, чем τ_i и R_i , и поэтому разность (3) опять будет стремиться к нулю. Очевидно, что со временем такая система придет к определенному состоянию, при котором число частиц на каждом уровне энергии будет флуктуировать вокруг стабильных состояний, удовлетворяющих условию $\Delta P_i = 0$. Состояние системы, при котором для каждого уровня энергии соблюдается условие $\Delta P_i = 0$, будет устойчивым, т. е. равновесным. Таким образом, существование тенденции к переходу в определенное (равновесное) состояние связывается со слабой зависимостью среднего времени пребывания частиц системы в каждом состоянии от числа частиц, находящихся в этом состоянии.

Распределение частиц по временам пребывания и энергиям для систем с дискретным спектром

Для нахождения функции распределения частиц изолированной системы по энергетическим уровням в зависимости от времени пребывания на этих уровнях потребуем, чтобы при фиксированном числе частиц N и определенной полной энергии системы E , определяемых как

$$N = \sum_i N_i, \quad E = \sum_i \varepsilon_i N_i, \quad (4)$$

число энергетических переходов (2) было экстремальным. Соответствующее вариационное условие будет иметь вид

$$\delta \sum_i \left(\frac{N_i}{\tau_i} + \lambda_1 \varepsilon_i N_i + \lambda_2 N_i \right) = 0, \quad \frac{\delta N_i}{N_i} = \frac{\delta \left(\frac{1}{\tau_i} \right)}{\frac{1}{\tau_i} + \lambda_1 \varepsilon_i + \lambda_2}, \quad (5)$$

где λ_1 и λ_2 — множители Лагранжа.

Сделаем важное предположение, которое выполняется во многих физических системах: время пребывания частицы в каком-нибудь состоянии уменьшается с увеличением энергии этого состояния. Выберем наиболее простую зависимость

$$\frac{1}{\tau_i} = \alpha + \beta \varepsilon_i, \quad (6)$$

которую можно рассматривать также как два первых члена разложения в ряд, причем коэффициенты α и β будут зависеть от общего состояния системы, т. е. от вида функции распределения. Воспользуемся (6) и исключим из (5) фиксированные значения энергии

$$\frac{\delta N_i}{N_i} = \frac{\delta \left(\frac{1}{\tau_i} \right)}{k_1 \frac{1}{\tau_i} + k_2}, \quad k_1 = 1 + \frac{\lambda_1}{\beta}, \quad k_2 = \lambda_2 + \lambda_1 \frac{\alpha}{\beta}. \quad (7)$$

В окрестности равновесного состояния коэффициенты k_1 и k_2 можно считать постоянными.

Для нахождения зависимости чисел N_i от τ_i в соотношении (7) вариации заменим через дифференциалы. Тогда

$$N_i = \frac{A}{\left(1 + \frac{1}{n} \frac{\gamma}{\tau_i}\right)^n}, \quad (8)$$

где A — некоторая постоянная величина, $n = \frac{1}{k_1}$, $\gamma = \frac{1}{k_2}$. Для определения трех неизвестных параметров A , n и γ имеются только два условия (4); третьим условием могло быть задание полного числа P энергетических переходов в системе (см. (2)), которое, однако, не известно.

Заметим, что по мере приближения к равновесному состоянию концентрация частиц на уровнях с большими временами пребывания должна возрастать, а общее число энергетических переходов (2) — убывать. Допустим, например, что некоторая группа N_i частиц оказалась на уровне, которому соответствует очень большое время пребывания τ_i . За промежутки времени, меньшие по сравнению с τ_i , указанные частицы не будут принимать участия в энергетических переходах, поэтому общее ежесекундное число переходов в системе (2) уменьшится. Вследствие этого среднее время пребывания на каждом из уровней несколько увеличится, что вызовет дальнейшее уменьшение общего числа переходов (2). Таким образом, с течением времени постепенно будет выявляться преимущество тех уровней энергии, которым соответствуют большие времена пребывания. На этих уровнях частицы будут задерживаться дольше и соответствующие им числа заполнения будут больше. Процесс перераспределения частиц по уровням в зависимости от времени пребывания приведет, согласно (2), к определенному значению числу P ; предположим, что это число при условиях (4) является минимальным.

В формуле (8) параметр n является числом, показывающим, как сильно увеличивается N_i с увеличением времени пребывания τ_i ; чем больше n , тем больше концентрация частиц на уровнях с большими временами пребывания и, следовательно, тем меньше общее число энергетических переходов в системе. При $n \rightarrow \infty$ P стремится к минимуму. Для этого предельного случая из формулы (8) получается искомая зависимость между числами заполнения уровней и средними временами пребывания частиц на этих уровнях

$$N_i = A e^{-\frac{1}{\tau_i}}. \quad (9)$$

Подставив вместо времени пребывания его значение через энергию уровня (6), получим известную формулу

$$N_i = B e^{-\mu \epsilon_i}, \quad \frac{N_i}{N} = f(\epsilon_i) = B_0 e^{-\mu \epsilon_i}. \quad (10)$$

Параметры распределения (10) могут быть теперь получены из условий (4); в частности, μ есть обратная величина энергии того уровня, на котором суммарная энергия всех частиц $\varepsilon_i N_i$ наибольшая.

Заметим важное обстоятельство: при вычислении статистической суммы

$$\sum e^{-\mu \varepsilon_i} = \frac{1}{B_0} \quad (11)$$

должны быть исключены те уровни энергии, для которых время пребывания бесконечно большое (как правило, эти уровни имеют очень малые значения энергии). Суммирование должно производиться только для той части спектра уровней, которые участвуют в общем энергообмене внутри системы.

О функции распределения для системы с непрерывным спектром

Для нахождения функции распределения системы, частицы которой имеют непрерывный энергетический спектр, можно воспользоваться двумя способами. Первый способ заключается в предельном переходе от очень густого дискретного спектра уровней к непрерывному. Допустим, что в узком пределе значений энергии ε , $\varepsilon + \Delta\varepsilon$ имеется очень много дискретных уровней — Δn . В общем случае Δn может зависеть не только от $\Delta\varepsilon$, но и от значения ε . При малых $\Delta\varepsilon$ времена пребывания частиц τ_i , а следовательно, и числа заполнения N_i на каждом из этих Δn уровней можно полагать почти одинаковыми и поэтому число частиц ΔN , энергия которых лежит в указанных пределах, будет равно

$$\Delta N = B e^{-\mu \varepsilon} \Delta n. \quad (12)$$

Для перехода к непрерывному спектру необходимо сначала выразить Δn через $\Delta\varepsilon$

$$\Delta n = \frac{\Delta n}{\Delta\varepsilon} \Delta\varepsilon = \omega(\varepsilon) \Delta\varepsilon. \quad (13)$$

Функция $\omega(\varepsilon)$, характеризующая распределение уровней в спектре, имеет смысл и для непрерывного спектра, показывая его «плотность» в зависимости от ε . Поэтому число частиц, энергия которых лежит в пределах ε , $\varepsilon + d\varepsilon$, будет равно

$$dN = B e^{-\mu \varepsilon} \omega(\varepsilon) d\varepsilon. \quad (14)$$

В частном случае, когда ω есть постоянная величина, ее можно включить в B и тогда

$$dN = B e^{-\mu \varepsilon} d\varepsilon. \quad (15)$$

Второй способ нахождения (14) и (15) заключается в повторном выводе равновесной функции распределения из условия минимума числа энергетических переходов. Рассмотрим непрерывное фазовое μ -пространство, в котором каждой частице в зависимости от ее состояния соответству-

ет одна «изображающая точка». Необходимо найти распределение N «изображающих точек» в объеме фазового пространства в равновесном состоянии системы. Согласно общему положению [1], время пребывания «изображающей точки» в определенной точке фазового пространства (т. е. время существования строго определенного состояния частицы) в точности равно нулю, однако время пребывания в пределах фазовой «поверхности энергии» $\varepsilon = \text{const}$ может быть конечной величиной. Например, время, в течение которого молекула идеального газа в отсутствии поля тяготения имеет определенные значения координат и скорости, равно нулю (вследствие непрерывного изменения координат), однако каждая молекула сохраняет определенное значение кинетической энергии в течение конечного времени свободного пробега. Полагая, что для таких систем выполняется соотношение (6), можно искать равновесную функцию распределения «изображающих точек» в фазовом пространстве по значениям энергии исходя из условия минимума числа энергетических переходов.

Для решения этой задачи необходимо разделить фазовое пространство на элементарные объемы $d\Gamma$, соответствующие определенным временам пребывания «изображающих точек». Полагая, что это время, согласно соотношению (6), зависит от энергии, можно разделить фазовое пространство на «слои», заключенные между «поверхностями энергии» ε и $\varepsilon + d\varepsilon$. Заметим, что если эти слои имеют одинаковую «толщину» $d\varepsilon$, то их фазовые объемы $d\Gamma$ будут, вообще говоря, различными

$$d\Gamma := \Omega(\varepsilon) d\varepsilon. \quad (16)$$

Если же фазовое пространство делится на слои, имеющие одинаковый объем $d\Gamma$, то их «энергетическая толщина» $d\varepsilon$ может быть различной. Так как число изображающих точек в каждом таком слое может зависеть не только от значения энергии ε , но и от объема слоя $d\Gamma$ (т. е. от совокупности значений всех других параметров, соответствующих данному значению энергии), то следует рассмотреть три различных выражения для чисел заполнения:

$$dN = N f(\varepsilon) d\varepsilon, \quad (17)$$

$$dN = N \varphi(\varepsilon) d\Gamma, \quad (18)$$

$$dN = N \psi(\varepsilon) dL, \quad (19)$$

где dL есть элементарный «отрезок», взятый в фазовом пространстве вдоль нормали к поверхности энергии.

Первое выражение может быть использовано для таких систем, у которых время пребывания $\tau(\varepsilon)$ зависит только от энергии и от вида функции распределения $f(\varepsilon)$, но не зависит от остальных параметров, определяющих величину фазового объема $d\Gamma$. Второе выражение должно быть применено в более общем случае, когда $\tau(\varepsilon)$ зависит не только от ε и вида функции $\varphi(\varepsilon)$, но и от $d\Gamma$, т. е. от диапазона значений остальных параметров, соответствующих данной энергии частиц. В этом случае $N\varphi(\varepsilon)$ означает число изображающих точек в единице объема фазового пространства. Третье выражение должно применяться тогда, когда τ можно счи-

тять одинаковым только вдоль поверхности энергии, поэтому следует искать распределение изображающих точек вдоль нормалей к этим поверхностям; при этом предполагается, что числа заполнения dN относятся ко всей поверхности энергии и не зависят от размеров этих поверхностей, а определяются только значениями энергии. В соответствии с (17—19) число энергетических переходов и условия (4) запишутся в виде

$$P = \int \frac{Nf(\varepsilon)}{\tau(\varepsilon)} d\varepsilon = \int \frac{N\varphi(\varepsilon)}{\tau(\varepsilon)} d\Gamma = \int \frac{N\psi(\varepsilon)}{\tau(\varepsilon)} dL, \quad (21)$$

$$N = \int Nf(\varepsilon) d\varepsilon = \int N\varphi(\varepsilon) d\Gamma = \int N\psi(\varepsilon) dL, \quad (22)$$

$$E = \int N\varepsilon f(\varepsilon) d\varepsilon = \int N\varepsilon\varphi(\varepsilon) d\Gamma = \int N\varepsilon\psi(\varepsilon) dL. \quad (23)$$

Применяя рассуждения, использованные при выводе (8—10), для всех трех функций распределения получим одинаковый вид

$$f(\varepsilon) = \varphi(\varepsilon) = \psi(\varepsilon) = B_0 e^{-\alpha\varepsilon}. \quad (24)$$

Однако, распределения частиц по значениям энергии согласно (17—19) будут различными; из них только распределение (18) соответствует гиббсовскому. Здесь также необходимо подчеркнуть, что при вычислении статистического интеграла $1/B_0$ те состояния, для которых время пребывания равно бесконечности, должны быть исключены; интегрирование должно производиться только по той части фазового объема, в пределах которой происходит перемещение «изображающих точек».

Изложенные выше рассуждения могут быть использованы и в тех случаях, когда время пребывания частицы в каком-нибудь состоянии зависит не от полной энергии частицы, а только от ее части. Например, время свободного пробега двухатомной молекулы газа, имеющей среднюю энергию

$w = \frac{5}{2} kT$, зависит только от энергии поступательного движения

$\varepsilon = \frac{3}{2} kT$, причем $\varepsilon = \frac{3}{5} w$. В общем случае $\varepsilon = \alpha w$ и если α есть известное число, то в найденной функции распределения частиц по значениям ε можно произвести замену и таким образом найти распределения частиц по значениям полной энергии w .

Заметим также, что вместо «энергетических переходов» аналогичным образом можно было бы исследовать любые скачкообразные изменения состояния частиц, даже если при этом энергия частицы остается постоянной. Допустим, что состояния частицы характеризуются некоторой величиной x , причем время пребывания частицы в данном состоянии зависит от значения x , согласно (6). Тогда, повторяя использованные выше рассуждения, можно найти сначала функцию распределения частиц по значениям времени пребывания (9), а затем уже по значениям x .

В ы в о д ы

Важные для статистической физики распределения (10) и (14) получены при следующих ограничениях:

1) составные части системы («частицы») являются тождественными и в пределах объема системы находятся в одинаковых условиях;

2) все параметры системы (состав, структура частиц, объем и т. п.), кроме чисел заполнения уровней и вида функции распределения, остаются неизменными при перераспределении частиц по уровням;

3) каждая из N частиц участвует в энергетических переходах; частицы, которые постоянно находятся в одном и том же состоянии, не должны включаться в число N ;

4) уровни энергии (или состояния), на которых частицы могут пребывать бесконечно долго, должны быть исключены из рассматриваемого спектра уровней ε_i и не должны входить в статистическую сумму $\sum e^{-\beta \varepsilon_i}$; такие уровни обычно находятся в области очень малых энергий и их необоснованное включение в состав статистической суммы может заметно отразиться на ее величине;

5) в наших расчетах $E = \sum \varepsilon_i N_i$ есть не полная энергия системы, а только та ее часть, которая «участвует» в энергетических переходах, т. е. соответствует «активной части» спектра уровней;

6) структура спектра уровней (активной части) не изменяется при перераспределении частиц по уровням, т. е. не зависит от вида функции распределения;

7) время перехода частиц из одного уровня на другой очень мало по сравнению с временами пребывания на уровнях;

8) время внутренней релаксации частиц при изменении их энергии мало по сравнению с временами пребывания на уровнях.

Выявление и отчетливая формулировка этих ограничений является еще одним достоинством приведенного выше вывода основной функции распределения статистической физики. Особенно важными являются утверждения 4 и 5, вносящие существенные коррективы в расчет статистической суммы состояний и «внутренней энергии» термодинамической системы. Для некоторых систем, у которых не соблюдаются условия 7 и 8, применение распределения Гиббса или распределений (10) и (14) следует полагать необоснованным.

Поступила 3.III.1973

Л И Т Е Р А Т У Р А

1. Р. Г. Геворкян. Неравновесные и маловероятные процессы в классической механике, Труды Университета дружбы народов им. П. Лумумбы, том XI, Физика, вып. I, 1965.

ՍՏԱՏԻՍՏԻԿ ԹԵՐՄՈՂԻՆԱՄԻԿԱՅԻ ՀԱՎԱՍԱՐԱԿՇԻՌ ՅՈՒՆԿՑԻԱՅԻ
ԲԱՇԽՄԱՆ ՀԻՄՆԱՎՈՐՄԱՆ ՀԱՐՑԻ ՇՈՒՐՁԸ

Ռ. Գ. ԳԵՎՈՐԳՅԱՆ, Լ. Գ. ՍԻՆԱՆՅԱՆ

Աշխատանքում ցույց է արվում, որ թերմոդինամիկական սխտեմների բաղադրիչ մասերում միավոր ժամանակում կատարված անցումների քանակը հանդիսանում է սխտեմի վիճակի կարևոր ստատիստիկ բնութագրիչը: Ընթացիկում, որ սխտեմի մասնիկները բաշխվում են էներգիայի մակարդակներով նրանց այդ մակարդակներում գտնվելու միջին ժամանակին ուղիղ համեմատական, կարելի է ստանալ էներգիայի մակարդակներում մասնիկների բաշխման ընդհանուր ֆունկցիան: Այդ ֆունկցիան պարունակում է պարամետր, որի սահմանային արժեքը համապատասխանում է սխտեմի հավասարակշռության վիճակին:

ON THE EQUILIBRIUM DISTRIBUTION FUNCTION
OF STATISTICAL THERMODYNAMICS

R. G. GEVORKIAN, L. H. SINANIAN

It is shown in the paper that the number of transitions performed by the components of thermodynamical system per a unit time is an important statistical characteristic of the state of system. Assuming that the particles of the system are distributed on the energy levels proportionally to the mean intervals of their stay on these levels, it is possible to obtain a general function of particle distribution on the energy levels. This formula contains a parameter the limiting value of which corresponds to the equilibrium state of the system.

К ВОПРОСУ О ПРИМЕНЕНИИ АНДАЛУЗИТА В ПАРАМАГНИТНЫХ УСИЛИТЕЛЯХ МИЛЛИМЕТРОВОГО ДИАПАЗОНА

В. П. ШАХПАРЯН, Р. М. МАРТИРОСЯН

Вычислены матричные элементы переходов при $\varphi = 0^\circ$, $\theta = 90^\circ$, $H = 0,12, 0,12$ кГс для ионов железа I типа и $\varphi = 0^\circ$, $\theta = 90^\circ$, $43^\circ 24'$, $H = 0,12$ кГс для ионов железа II типа в андалузите. На частотах 49 Гц и 70 Гц экспериментально наблюдался спектр ЭПР ионов железа II типа на двух образцах андалузита с разными концентрациями 0,06—0,08% и 0,70—0,72% и была оценена ширина линии для концентрации 0,70—0,72%.

До последнего времени в квантовых парамагнитных усилителях (КПУ) миллиметрового диапазона использовался практически один лишь рутил (TiO_2) с примесью хрома или железа [1—4]. Однако применение рутила в миллиметровом диапазоне наталкивается на серьезные трудности, связанные с очень большой и сильно зависящей от температуры диэлектрической проницаемостью этого кристалла. В связи с этим в настоящее время ведутся интенсивные исследования с целью создания КПУ миллиметрового диапазона на кристаллах андалузита (Al_2SiO_5), диэлектрическая проницаемость которых невелика ($\epsilon = 8$) [5], а начальное расщепление спектра электронного парамагнитного резонанса (ЭПР) ионов Fe^{3+} достаточно велико [6, 7].

При создании КПУ важно знать не только начальное расщепление, диэлектрическую постоянную, уровни энергии, но и вероятности индуцированных переходов между соответствующими уровнями. Если уровни энергии нужны для определения требуемой напряженности постоянного магнитного поля и частоты вспомогательного излучения при выбранной частоте усиливаемого сигнала, то матричные элементы переходов между соответствующими уровнями (т. е. вероятности индуцированных переходов) позволяют выбрать оптимальное размещение парамагнитного кристалла в высокочастотных элементах усилителя (резонаторе или замедляющей системе) с целью получения наиболее эффективного взаимодействия микроволновых полей сигнала и накачки с парамагнитным кристаллом.

Вероятность перехода W_{ik} между спиновыми уровнями i и k пропорциональна квадрату матричного элемента оператора $H_1 \hat{\mu}$, где H_1 — вектор напряженности высокочастотного магнитного поля, а $\hat{\mu} = g\beta \hat{S}$ — магнитный момент иона,

$$\begin{aligned}
 W_{ik} &= \frac{4\pi^2 g^2 \beta^2}{h^2} g(\nu) |\langle i | H_1 \hat{S} | k \rangle|^2 = \\
 &= \frac{4\pi^2 g^2 \beta^2}{h^2} g(\nu) [|H_{1x} \langle i | S_x | k \rangle + H_{1z} \langle i | S_z | k \rangle|^2 + \\
 &\quad + |H_{1y} \langle i | S_y | k \rangle|^2].
 \end{aligned}
 \tag{1}$$

Таким образом, для вычисления вероятностей переходов между двумя уровнями необходимо вычислить матричные элементы операторов S_x , S_y и S_z по волновым функциям этих состояний.

Так как ионы Fe^{3+} обладают эффективным спином $S = \frac{5}{2}$, то в

вообщем случае каждое смешанное спиновое состояние $|i\rangle$ можно представить в виде суперпозиции шести чистых спиновых состояний $|M_s\rangle$

$(M_s = \frac{5}{2}, \frac{3}{2}, \frac{1}{2}, -\frac{1}{2}, -\frac{3}{2}, -\frac{5}{2})$ по формуле

$$|i\rangle = a_i \left| \frac{5}{2} \right\rangle + b_i \left| \frac{3}{2} \right\rangle + c_i \left| \frac{1}{2} \right\rangle + d_i \left| -\frac{1}{2} \right\rangle + e_i \left| -\frac{3}{2} \right\rangle + f_i \left| -\frac{5}{2} \right\rangle, \quad (2)$$

$i = 1, 2, \dots, 6,$

где коэффициенты разложения удовлетворяют условию нормировки

$$|a_i|^2 + |b_i|^2 + |c_i|^2 + |d_i|^2 + |e_i|^2 + |f_i|^2 = 1. \quad (3)$$

Матричные элементы операторов \hat{S}_x , \hat{S}_y и \hat{S}_z при этом будут

$$\langle i | \hat{S}_x | k \rangle = \frac{\sqrt{5}}{2} (a_i b_k + b_i a_k + e_i f_k + f_i e_k) +$$

$$+ \sqrt{2} (b_i c_k + c_i b_k + d_i e_k + e_i d_k) + \frac{3}{2} (c_i d_k + d_i c_k),$$

$$\langle i | \hat{S}_y | k \rangle = \sqrt{-1} \left[-\frac{\sqrt{5}}{2} (a_i b_k - b_i a_k + e_i f_k - f_i e_k) - \right. \quad (4)$$

$$\left. - \sqrt{2} (b_i c_k - c_i b_k + d_i e_k - e_i d_k) - \frac{3}{2} (c_i d_k - d_i c_k), \right.$$

$$\langle i | \hat{S}_z | k \rangle = \frac{1}{2} (5 a_i a_k + 3 b_i b_k + c_i c_k - d_i d_k - 3 e_i e_k - 5 f_i f_k).$$

Спиновый гамильтониан для ионов Fe^{3+} обоих типов в андалузите имеет вид [7]

$$\hat{H} = b_2^0 \left[\hat{S}_z^2 - \frac{1}{3} S(S+1) \right] + \frac{1}{3} b_2^2 \left(\hat{S}_x^2 - \hat{S}_y^2 \right) + g \beta \vec{H} \hat{S}. \quad (5)$$

С помощью спинового гамильтониана (5) были вычислены уровни энергии нижнего орбитального состояния и коэффициенты разложения a_i, \dots, f_i собственных состояний $|i\rangle$ по чистым спиновым состояниям $|M_s\rangle$.

Численные данные были получены на ЭВМ при следующих значениях постоянных [7]: $g = 2,001$, $b_2^0 = 15$ кгс, $b_2^2 = 5$ кгс для ионов Fe^{3+} I типа и $g = 2,004$, $b_2^0 = 20,2$ кгс, $b_2^2 = 0,075$ кгс для ионов Fe^{3+} II типа.

Все данные были получены для значений углов $\varphi = 0^\circ$, $\theta = 0^\circ + 90^\circ$ с

интервалом 10° и значений внешнего постоянного магнитного поля H от 0,5 до 12,0 кГс с интервалом 0,5 кГс для ионов Fe^{3+} I типа. Для ионов Fe^{3+} II типа помимо указанных значений все данные получены еще и для $\theta = 43^\circ 24'$ (пушпульный режим) при тех же значениях φ и H .

Ввиду того, что при создании КПУ обычно используют перпендикулярный или пушпульный варианты, матричные элементы переходов вычислены для значений $\varphi = 0^\circ$, $\theta = 90^\circ$, $H = 0+12$ кГс для ионов Fe^{3+} I типа и $\varphi = 0^\circ$, $\theta = 43^\circ 24'$, 90° , $H = 0+12$ кГс для ионов Fe^{3+} II типа в андалузите. Результаты вычислений приведены в табл. 1—3.

Таблица 1

Матричные элементы ионов I при $\theta = 90^\circ$, $\varphi = 0^\circ$

H (кГс)	$\langle 1 S_x 2\rangle^2$	$\langle 1 S_y 2\rangle^2$	$\langle 1 S_z 2\rangle^2$	$\langle 1 S_x 3\rangle^2$	$\langle 1 S_y 3\rangle^2$	$\langle 1 S_z 3\rangle^2$	$\langle 2 S_x 4\rangle^2$	$\langle 2 S_y 4\rangle^2$	$\langle 2 S_z 4\rangle^2$	$\langle 2 S_x 3\rangle^2$	$\langle 2 S_y 3\rangle^2$	$\langle 2 S_z 3\rangle^2$
0,0	0,64	4,16	0,0	2,30	1,18	0,0	2,39	1,03	0,0	0,0	0,0	0,41
0,5	0,0	5,22	0,17	2,07	0,005	0,0	2,44	0,0	0,0005	1,00	0,0	0,21
3,0	0,0	4,07	0,18	2,20	0,0	0,0	2,29	0,0	0,005	1,41	0,0	0,31
6,0	0,0	3,69	0,185	1,46	0,0	0,0	2,10	0,0	0,005	1,57	0,0	0,46
9,0	0,0	3,61	0,250	1,44	0,0	0,0	1,83	0,0	0,002	2,17	0,0	0,59
12,0	0,0	3,61	0,300	1,04	0,0	0,0	1,49	0,0	0,0	2,37	0,0	0,88

Таблица 2

Матричные элементы ионов II при $\theta = 90^\circ$, $\varphi = 0^\circ$

H (мкс)	$\langle 1 S_x 2\rangle^2$	$\langle 1 S_y 2\rangle^2$	$\langle 1 S_z 2\rangle^2$	$\langle 1 S_x 3\rangle^2$	$\langle 1 S_y 3\rangle^2$	$\langle 1 S_z 3\rangle^2$	$\langle 2 S_x 4\rangle^2$	$\langle 2 S_y 4\rangle^2$	$\langle 2 S_z 4\rangle^2$
1,0	0,0	2,25	0,250	1,82	0,0	0,0	2,045	0,0	0,0
4,0	0,0	2,31	0,260	1,41	0,0	0,0	2,50	0,0	0,0
6,0	0,0	2,37	0,29	1,12	0,0	0,0	2,53	0,0	0,0
8,0	0,01	2,43	0,325	1,00	0,010	0,0	2,56	0,0	0,0
10,0	0,02	2,49	0,35	0,82	0,022	0,0	2,35	0,0	0,0
12,0	0,03	2,56	0,380	0,64	0,04	0,0	2,15	0,0	0,0

Таблица 3

Матричные элементы ионов II при $\theta = 43^\circ 24'$, $\varphi = 0^\circ$

H (мкс)	$\langle 2 S_x 3\rangle^2$	$\langle 2 S_y 3\rangle^2$	$\langle 2 S_z 3\rangle^2$	$\langle 1 S_x 3\rangle^2$	$\langle 1 S_y 3\rangle^2$	$\langle 1 S_z 3\rangle^2$	$\langle 2 S_x 4\rangle^2$	$\langle 2 S_y 4\rangle^2$	$\langle 2 S_z 4\rangle^2$
1,0	0,69	0,59	0,0003	1,26	1,155	0,0016	1,254	1,007	0,0004
3,0	0,81	0,79	0,003	1,12	1,092	0,0025	1,416	1,39	0,0046
6,0	0,85	0,96	0,02	0,99	0,880	0,0064	1,538	1,425	0,01
9,0	0,85	1,08	0,078	0,88	0,650	0,0137	1,538	1,405	0,0387
12,0	0,68	1,28	0,18	0,82	0,400	0,0144	1,549	2,406	0,0754

В работах [7, 8] все исследования на андалузите проводились на образцах, в которых концентрация железа была $\leq 0,16\%$. Ввиду того, что большой интерес представляют исследования концентрационной зависимости ширины линии ЭПР, релаксационных времен и т. д. в настоящей статье была сделана попытка оценить ширину линии в использованных нами естественных кристаллах андалузита с концентрацией $0,70 \div 0,72\%$. В качестве эталона был использован образец андалузита с концентрацией $0,06 \div 0,08\%$.

Линия ЭПР перехода $1 \leftrightarrow 2$ наблюдалась на частотах 49 Гц и 70 Гц . На частоте 49 Гц линия наблюдалась при $\varphi = 0^\circ$, $\theta = 90^\circ$, $H = 6,1 \text{ кГс}$, а на частоте 70 Гц — при $\varphi = 0^\circ$, $\theta = 90^\circ$, $H = 9,3 \text{ кГс}$. При этом расчетные значения H совпадают с экспериментальными с точностью $50 \div 100 \text{ гс}$.

Ширина линии перехода $1 \leftrightarrow 2$ при $\varphi = 0^\circ$, $\theta = 90^\circ$ на обеих частотах у образцов с большей концентрацией Fe^{3+} была примерно $32 \pm 3 \text{ гс}$. Высокое качество исследуемых кристаллов исключала возможность уширения линии из-за побочных причин.

Для выяснения зависимости ширины линии ЭПР от концентрации ионов Fe^{3+} в андалузите необходимо провести экспериментальные измерения ширины линии для образцов с различными концентрациями.

Институт радиофизики и электроники
АН АрмССР

Поступила 16.III.1973

Л И Т Е Р А Т У Р А

1. S. Foner, L. R. Moto. J. Appl. Phys., 31, 742 (1960).
2. W. Hughes, R. Deal. Proc. IEEE, 52, 857 (1964).
3. A. Mole, M. Soufif. Onde electr., 47, 479, 183 (1967).
4. Р. М. Мартиросян, М. О. Манвелян, В. П. Шахпарян. Материалы IV республиканской научной конференции молодых научных работников, апрель, 1971, стр. 276.
5. И. И. Еру. ЖТФ, 36, 1315 (1966).
6. А. А. Бильдюкевич и др. ЖЭТФ, 39, 1548 (1960).
7. F. Holuj, J. R. Thyer, N. E. Hedgcock. Canad. J. Phys., 44, 509 (1966).
8. И. И. Еру, С. А. Песковацкий, А. Н. Чернец. Радиотехника и электроника, 13, 1045, 1049 (1968).

ՄԻԼԻՄԵՏՐԱՅԻՆ ԴԻՍՊԱՋՈՆԻ ՊԱՐԱՄԱԳՆԻՍԱԿԱՆ ՈՒԺԵՂԱՑՈՒՑԻՑԻՉՆԵՐՈՒՄ
ԱՆԴԱՆՈՒՋԻՏԻ ԿԻՐԱՌՈՒԹՅԱՆ ՀԱՐՑԻ ՇՈՒՐՋԸ

Վ. Պ. ՇԱԽՊԱՐՅԱՆ, Ռ. Մ. ՄԱՐՏԻՐՈՍՅԱՆ

Հաշված են անդալուզիտում երկաթի I տիպի իոնների համար անցումների մատրիցային էլեմենտները $\varphi = 0^\circ$, $\theta = 90^\circ$, $H = 0 \div 12,0 \text{ կգս}$ և II տիպի իոնների համար $\varphi = 0^\circ$, $\theta = 90^\circ$, $43^\circ 24'$, $H = 0 \div 12,0 \text{ կգս}$ դեպքում: 49 Գհց և 70 Գհց հաճախականությունների վրա փորձնական ճանապարհով դիտված է երկաթի II տիպի իոնների էՊՌ սպեկտրը անդալուզիտի 2 տարբեր $0,06-0,08\%$ և $0,70-0,72\%$ խտությունների ունեցող նմուշների վրա և զնահատված է դիֆրակցիոնը $0,70-0,72\%$ խտություն ունեցող նմուշի համար:

ON THE APPLICATION OF TRIVALENT-IRON-DOPED
ANDALUSITE FOR MICROWAVE MARERS

W. P. SHAKHPARIAN, R. M. MARTIROSIAN

The matrix elements of transitions at $\varphi = 0^\circ$, $\theta = 90^\circ$, $H = 0 \div 12 \text{ KG}$ for Fe^{3+} type I and at $\varphi = 0^\circ$, $\theta = 90^\circ$ and $\theta = 43^\circ 24'$, $H = 0 \div 12 \text{ KG}$ for Fe^{3+} type II in the andalusite have been calculated. At 49 GHz and 70 GHz ESR for the Fe^{3+} type II for two samples of andalusite with different concentrations of 0,06–0,08% and 0,70–0,72% has been experimentally observed. The linewidth for the sample with concentration of 0,70–0,72% was estimated.

К АНАЛИЗУ ПРОЦЕССА ВОЗБУЖДЕНИЯ ПАРАМЕТРОНА

С. Г. ХАЛПАХЧЯН

Предлагается простой графо-аналитический метод, позволяющий выявить картину переходного процесса в двоичном параметроне. Определяется режим работы, обеспечивающий максимальное быстродействие. Оценивается длительность процесса возбуждения.

Двоичный параметрон находит ряд перспективных применений в радиотехнике [1—4]. Это связано с использованием свойств параметрона, которые можно выявить при анализе процесса его возбуждения. Хотя и теория таких процессов хорошо разработана ([1—3] и др.), настоящее исследование, дополняющее работу [1], возможно, представляет еще и некоторый интерес с точки зрения методики.

Выражения, с помощью которых выявляется характер переходного процесса и его длительность, получены аналогично тому, как это делалось в работе [1]. Анализ производится на основе эквивалентной (для частоты сигнала ω) схемы, приведенной на рис. 1. В параметронах целесообразно использование диодов с резким p - n -переходом, для которых

$$C = C_0 \sqrt{\varphi/(\varphi + E + u)},$$

где φ — контактная разность потенциалов, E — смещение и u — переменное напряжение на диоде. В контур вводится э.д.с. накачки $e = U \sin(2\omega t + \nu_n)$.

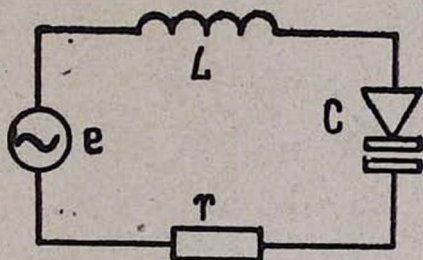


Рис. 1.

Используя обозначения

$$C_- = C_0 \sqrt{\varphi/(\varphi + E)}, \quad X = U/(\varphi + E),$$

$$\delta = r/L, \quad q = 2 C_0 \sqrt{\varphi} (\sqrt{\varphi + E + u} - \sqrt{\varphi + E}),$$

дифференциальное уравнение, описывающее процессы в настроенном на частоту сигнала $\omega = 1/\sqrt{LC_-}$ контуре, можно записать в виде

$$\ddot{x} + \delta \dot{x} + \omega^2 x + \frac{\omega^2 x^2}{2} = \frac{\omega^2 X}{2} \sin(2\omega t + \nu_n),$$

где $x = q/2 C_- (\varphi + E)$ — относительный переменный заряд емкости. Реше-

ние приведенного нелинейного дифференциального уравнения второго порядка, полученное методом [5], во втором приближении имеет вид

$$x = a \cos(\omega t + \nu) - \frac{X}{6} \sin(2\omega t + \nu_{II}) - \frac{a^2}{4} + \frac{a^2}{12} \cos(2\omega t + \nu_{II}),$$

позволяющий определить амплитуду и фазу колебаний обеих частот, а также возникающее на емкости дополнительное смещение.

Амплитуда a и фаза ν колебания сигнальной частоты являются решениями системы так называемых укороченных дифференциальных уравнений, выраженных через добротность контура,

$$\frac{da}{dt} = -\frac{\omega}{8} a \left[\frac{4}{Q} + \frac{X}{3} \cos(2\nu - \nu_{II}) \right],$$

$$\frac{d\nu}{dt} = -\frac{\omega}{8} \left[\frac{1}{Q^2} + \frac{5}{6} a^2 - \frac{X}{3} \sin(2\nu - \nu_{II}) \right].$$

Рассматриваемые укороченные уравнения не разделяются относительно a и ν и обычными методами не решаются, однако общую картину переходного процесса можно выявить следующим простым качественным методом. На рис. 2 изображены $\ln'a$ и ν' как функции фазы ν , отсчитываемой от половины фазы накачки $\left(\frac{1}{2}\nu_{II}\right)$. Поскольку в интервале $\pi < \nu \leq 2\pi$ картина повторяется, достаточно рассмотреть изображенный интервал $0 < \nu \leq \pi$. На смежном интервале лишь фаза установившегося колебания меняется на противоположную.

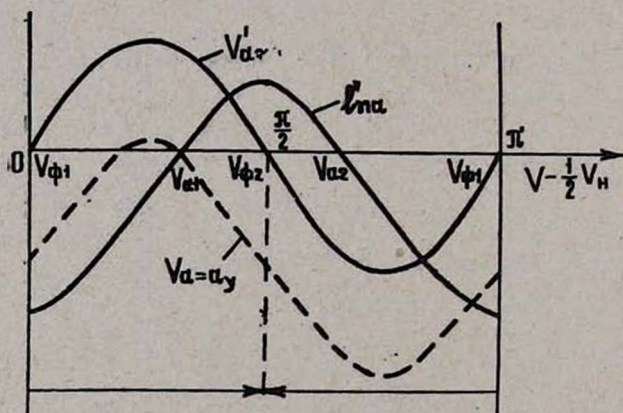


Рис. 2.

Определяя направление изменения фазы в начале процесса возбуждения по знаку $\nu'_{a \approx 0}$, убеждаемся, что рассматриваемый интервал образует зону притяжения фазы к значению $\pi/2$. Действительно, каким бы ни было начальное колебание в контуре в момент возбуждения, оно всегда может быть представлено суммой квадратурных составляющих, фаза одной из которых благоприятна для параметрического возбуждения. Сказанное под-

тверждается и тем, что $\ln' a$ имеет максимальное значение в точке $\pi/2$, т. е. происходит регенерация составляющей именно с этой фазой, и имеет минимальное значение в точке $0(\pi)$, откуда вытекает, что эта квадратурная составляющая, будучи предоставлена самой себе, затухает из-за потерь в контуре. Поскольку составляющая с фазой $0(\pi)$ затухает быстрее, чем возрастает составляющая с фазой $\pi/2$ ($|\ln' a_{0(\pi)}| > |\ln' a_{\pi/2}|$), то у сигналов с фазой v_c в интервалах $0 < v_c < v_{a1}$ и $v_{a2} < v_c < \pi \ln' a < 0$ и амплитуда в начале процесса установления падает. При значениях v_c в интервале $v_{a1} < v_c < v_{a2}$ амплитуда возрастает сразу, так как затухающая составляющая с фазой $0(\pi)$ мала. Ввиду того, что при анализе колебание сигнала учитывается только в момент включения накачки, а в действительности оно присутствует в контуре в течение всего переходного процесса, то на практике указанного спада амплитуды не будет. Во всех случаях фаза колебаний быстро притягивается к $\pi/2$. Дальнейшее изменение фазы происходит только при существенном возрастании амплитуды субгармоники. При этом начинает сказываться расстройка контура относительно частоты сигнала (член решения $\frac{-a^2}{4}$), возникает фазовый сдвиг, что влечет за собой

уменьшение скорости роста амплитуды. Из рис. 2 видно, что установившимся значением фазы может быть только значение $v_y = v_{a1}$, при котором обращаются в нуль обе производные $\ln' a = v'_{a-a_y} = 0$. Однако, если амплитуда субгармоники достигает своего установившегося значения a_y раньше, чем фаза стала равной v_{a1} , то дальнейшее увеличение амплитуды приводит к опусканию кривой v' (член $\frac{5}{6} a^2$ в укороченном уравнении) и фаза колебаний, уменьшаясь, проходит точку v_{a1} .

Но при $v - \frac{1}{2} v_n < v_{a1}$ $\ln' a < 0$ и амплитуда колебания падает. При этом кривая v' поднимается и фаза возвращается к v_{a1} . Таким образом, на заключительном этапе процесс установления носит колебательный характер, причем амплитуда и фаза устанавливаются одновременно.

С увеличением значения величины QX кривая $\ln' a$ поднимается и скорость роста составляющей с фазой $\pi/2$ возрастает. Следовательно, амплитуда раньше достигает своего установившегося значения, но при этом усиливаются колебания a и v на заключительном этапе переходного процесса. С увеличением амплитуды начального колебания кривая v' на рис. 2 опускается и зоны притяжения фаз сдвигаются. Из системы укороченных уравнений при $a' = v' = 0$ легко выявляется зависимость граничных фаз зон притяжения от амплитуды $v_{\phi 1} = \frac{1}{2} v_n + \arcsin\left(a^2 + \frac{3}{Q^2 X}\right) + k\pi$, а также определяются установившиеся значения фазы, амплитуды и условие возбуждения:

$$v_y = \frac{1}{2} \left[v_n + \arccos\left(-\frac{12}{Q^2 X}\right) \right] + k\pi,$$

$$a_y^2 = \frac{6}{5} \left[-\frac{1}{Q^2} + \frac{X}{3} \sqrt{1 - \left(\frac{12}{QX}\right)^2} \right],$$

$$QX > 12 \sqrt{1 + (1/4Q)^2}, \quad k = 0, 1, 2, \dots$$

Перевод параметрона из одного стационарного состояния (с фазой v_{y1}) в другое ($v_{y2} = v_{y1} + \pi$) можно осуществить путем увеличения амплитуды субгармоники до значения

$$a_n = \sqrt{\frac{6}{5} \left(\frac{X}{3} - \frac{1}{Q^2} \right)^2}.$$

При этом кривая v' на рис. 2 полностью окажется ниже оси абсцисс.

При оценке быстродействия параметрона целесообразно рассматривать случай больших Q , так как большим добротностям соответствуют большие скорости нарастания амплитуды. Для больших Q полученные ранее результаты существенно упрощаются:

$$a_y^2 = 0,4X, \quad QX > 12, \quad v_y = \frac{1}{2} \left(v_n + \frac{\pi}{2} \right) + k\pi.$$

Для удобства дальнейшего анализа примем фазу колебания накачки равной $-\pi/2$; тогда $v_y = k\pi$. Полученные выражения для a_y и v_y позволяют представить установившееся решение в виде

$$x_y = \sqrt{0,4X} \cos \omega t + 0,2X \cos 2\omega t - 0,1X.$$

Этот результат позволяет оценить максимально допустимую интенсивность накачки X_m . Стремление максимально сократить время установления диктует целесообразность увеличения интенсивности накачки. Однако увеличение амплитуды накачки возможно лишь до предела, определяемого напряжением отпираания диода. Указанный предел соответствует минимальному значению переменного напряжения на диоде, равному $u_{\min} = -(\varphi + E)$, при котором минимально допустимое (предельное) значение относительного заряда x (как это следует из обозначений q и C_-) оказывается равным

$x_{\text{пр}} = -1$. Из выражения для x_y вытекает $[x_{y \min}] = -\frac{1}{4} - 0,3X$. Увеличивая X до X_m , мы можем обеспечить режим, при котором

$x_{y \min} = x_{\text{пр}} = -1$. Такому режиму соответствуют $X_m = 2,5$, $U_m = 2,5(\varphi + E)$, $a_y = 1$. При этом из условия самовозбуждения следует, что приведенные результаты справедливы для $Q \gg 5$.

Время установления целесообразно определить как время первого достижения амплитудой значения a_y . При дальнейшем увеличении амплитуды диод начинает открываться и осцилляции заключительного этапа гасятся. Для определения длительности переходного процесса и подтверждения проделанного качественного анализа укороченные уравнения были решены численно на машине «Наири-2». На рис. 3а, б, в показаны решения при различных значениях QX . По оси абсцисс отложено безразмерное время $\tau = \omega t$. Цифрами пронумерованы кривые, соответствующие различ-

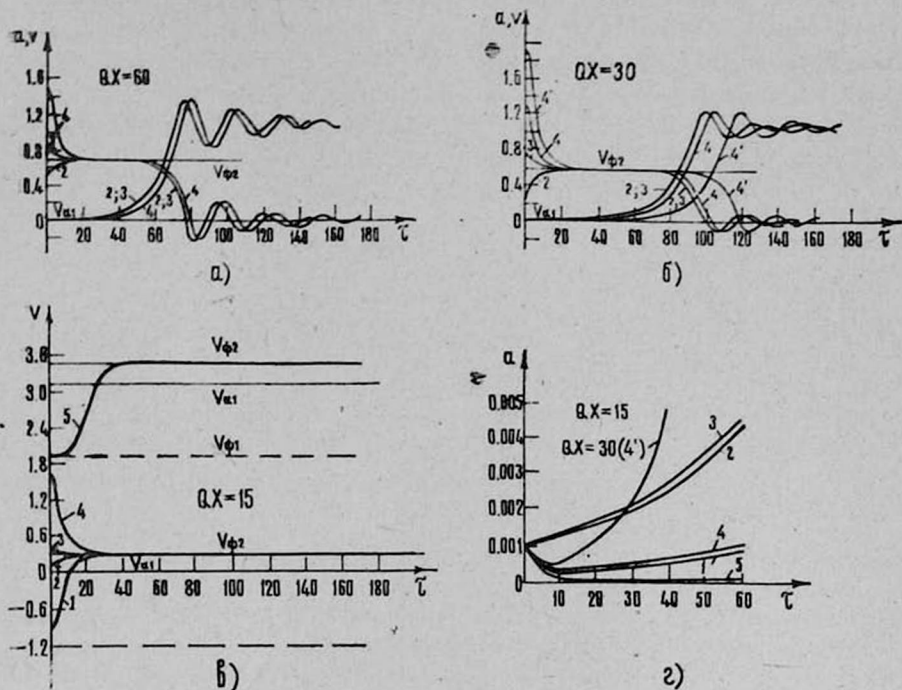


Рис. 3.

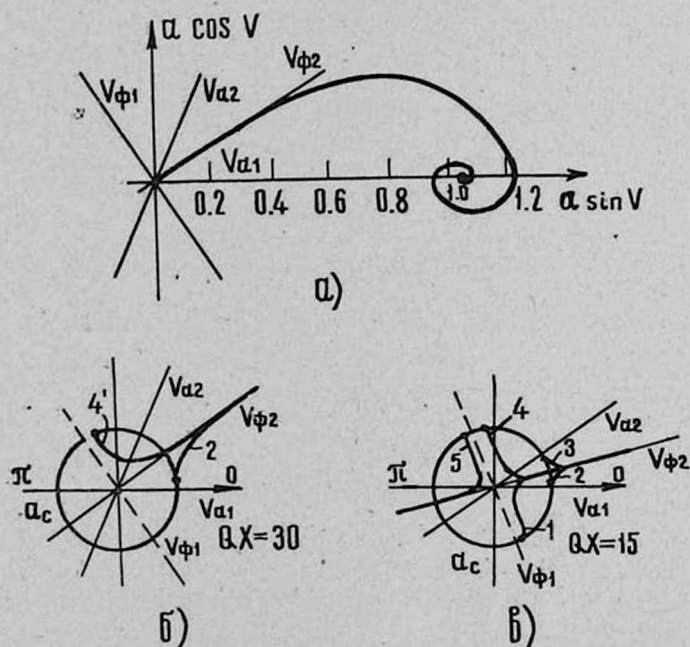


Рис. 4.

ным значениям начальной фазы ψ_c . Начальная амплитуда для всех случаев взята равной 10^{-3} . Начальный период изменения амплитуды выделен более крупным масштабом на рис. 3г. По данным численного решения построен годограф (см. рис. 4а). Кривая одинакова для всех ψ_c . Различие проявляется лишь на начальном этапе, выделенном крупным масштабом на рис. 4б, в. Время установления определяется для случая большого значения $QX = 60$ по рис. 3а и равно ≈ 70 , или в периодах субгармоники $-n = \frac{\tau}{2\pi} \approx 11$.

В заключение автор выражает благодарность инженеру А. А. Захарян, выполнившей трудоемкое решение нелинейного дифференциального уравнения, за участие в работе.

Ереванский политехнический
институт

Поступила 22.XI.1972

Л И Т Е Р А Т У Р А

1. В. И. Самойленко и др. Сб. Нелинейные узкополосные радиотехнические системы, Труды МАИ, вып. 166, Машиностроение, 1966.
2. В. П. Комолов, А. С. Рошаль, И. Т. Трофименко, Б. Я. Фельдман. Параметроны в цифровых устройствах, Библиография по автоматике, вып. 275, Энергия, 1968.
3. А. Е. Каплан, Ю. А. Кравцов, В. А. Рылов. Параметрические генераторы и делители частоты, Советское радио, 1966.
4. А. И. Вишневецкий, Г. М. Немецкий. Параметроны и их применение в устройствах связи, Связь, 1968.
5. Н. Н. Боголюбов, Ю. А. Митропольский. Асимптотические методы в теории нелинейных колебаний, Физматгиз, 1966.

ՊԱՐԱՄԵՏՐՈՆԻ ԳՐԳՈՄԱՆ ՊՐՈՑԵՍԻ ՎԵՐԼՈՒԾՈՒԹՅԱՆ ՎԵՐԱԲԵՐՅԱԼ

Ս. Գ. ԽԱԼՊԱԽՉՅԱՆ

Առաջարկվում է պարզ գրաֆո-անալիտիկ մեթոդ, որը հնարավորություն է տալիս հայտնաբերել անցողիկ պրոցեսի պատկերը երկակի պարամետրոնում: Որոշված է առավելագույն արագությունը ապահովող աշխատանքային ռեժիմը: Գնահատված է գրգռման պրոցեսի տևողությունը:

ON THE ANALYSIS OF STIMULATING PROCESS OF PARAMETRON

S. G. KHALPAKHCHIAN

The simple graph-analytical method allowing to define the picture of transient process in double parametron is suggested. The regime of work ensuring maximum fast response is determined. The duration of transient process is estimated.

ПОЛОСКОВЫЙ БАЛАНСНЫЙ НАПРАВЛЕННЫЙ ПАРАМЕТРИЧЕСКИЙ УСИЛИТЕЛЬ НА ЧАСТОТЕ СИГНАЛА
 $f_c = 720 \text{ МГц}$

Т. М. ЦАРУКЯН

В последнее время появилось много работ по направленным параметрическим усилителям. Это объясняется тем, что они могут обеспечить работу параметрических усилителей без развязывающих устройств [1—5]. В работе [5] дано краткое описание указанных предыдущих работ и с целью получения широкой полосы пропускания экспериментально исследована балансная схема направленного параметрического усилителя (рис. 1).

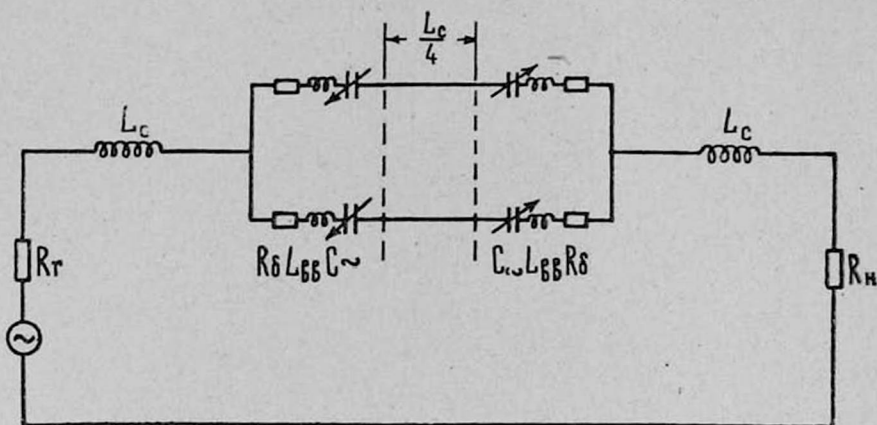


Рис. 1.

Настоящая работа посвящена экспериментальному исследованию балансного направленного параметрического усилителя, описанного в [5], в длинноволновом диапазоне радиоволн ($f_c = 720 \text{ МГц}$).

При реализации макета применялись диоды (полоскового типа) со следующими параметрами: $C_{\delta} = 0,14 \text{ пф}$, $L_{\delta\delta} = 1,1 \text{ ннн}$, $C_n = 0,05 \text{ пф}$, $R_{\delta} = 3,5 \text{ ом}$. При этих значениях расчетный коэффициент шума [2] получается равным $F = 1,3 \text{ ед.}$, а полоса пропускания $\frac{\Delta f}{f} = 10\%$ при

$$G = 12 \text{ дб}, \frac{f_x}{f_c} = 10 \text{ и } Z_{\text{вх}} \approx Z_{\text{вых}} \approx Z_0 \approx 50 \text{ ом.}$$

Блок-схема измерений параметров БНПУ приведена на рис. 2. На входе и выходе БНПУ имеются разделительные конденсаторы, которые развязывают БНПУ от внешнего тракта по постоянному току. Снятая амплитудно-частотная характеристика усилителя приведена на рис. 3. Сдвиг фаз по накачке между первой и второй парами диодов составляет 90° .

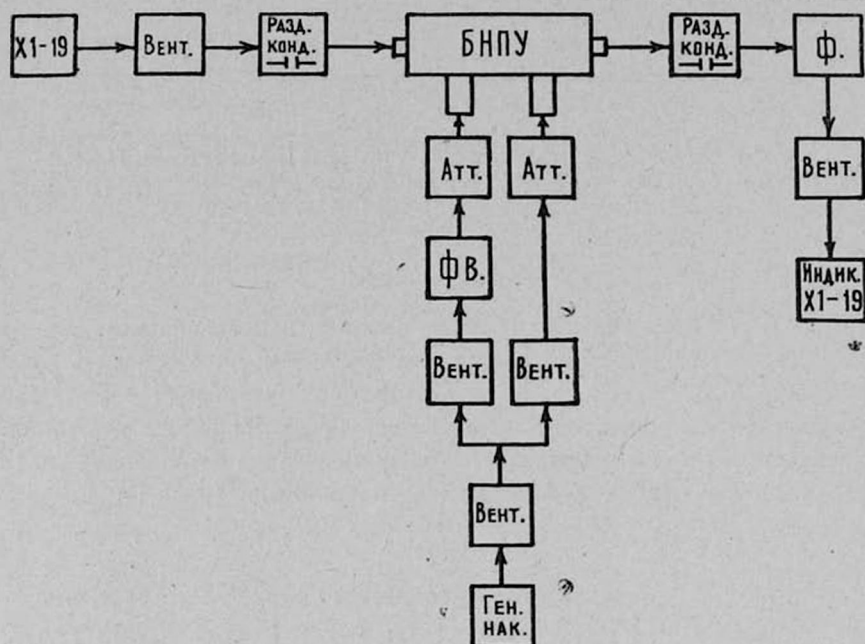


Рис. 2.

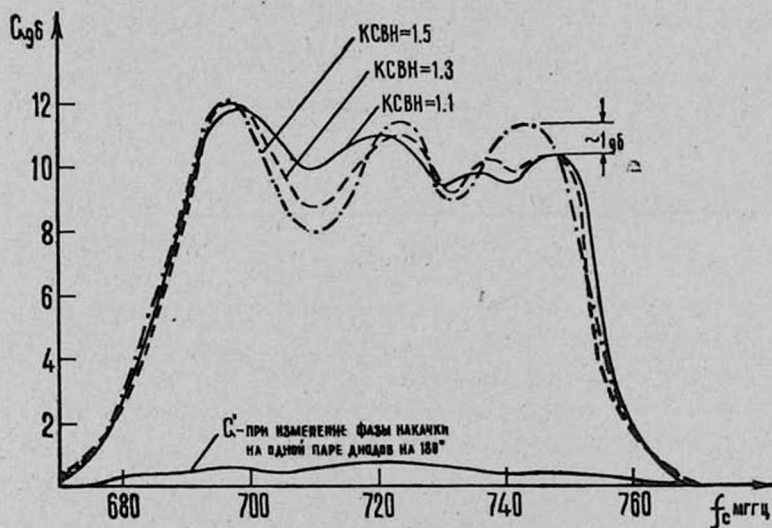


Рис. 3.

При изменении фазы накачки на второй паре диодов на 180° коэффициент усиления БНПУ значительно уменьшается и амплитудно-частотная характеристика видоизменяется, как показано на рис. 3, G' . Видно, что среднее значение коэффициента усиления $G' \approx 1$ дб; при этом коэффициент направленности составляет $\beta = 10$, вместо $\beta = \infty$. Это может быть объяснено, во-первых, тем, что фазовые соотношения между двумя парами диодов

по накачке в макете не сохраняются, и, во-вторых, тем, что имеется разброс параметров применяемых диодов (разброс по C_0 составляет $\sim 10\%$).

Коэффициент усиления усилителя при КСВН=1,1 составлял $G=10$ дБ, полоса пропускания по уровню $\xi_{1\text{ дБ}}=75$ МГц ($\sim 10\%$), по уровню $\xi_{3\text{ дБ}}=80$ МГц ($\sim 11\%$). При коэффициенте усиления $G=10$ дБ измерялся коэффициент шума БНПУ и для него получено значение $F=1,5$ ед.; при этом ток через первый диод составлял $\sim 8,5$ мка, а через второй диод $\sim 2,5$ мка.

На рис. 3 приведена также зависимость искажений амплитудно-частотной характеристики от КСВН входа. Видно, что при изменении КСВН на входе от 1,1 до 1,5 изменение амплитудно-частотной характеристики БНПУ составляет ~ 1 дБ. Эта зависимость была получена следующим образом: на входе подключался измеритель входных КСВН (коаксиальный), который представлял собой тройник, на третьем плече которого имелся поршень. С помощью изменения длины поршня КСВН на входе менялся от 1,0 до 1,5. Получено, что при изменении частоты накачки $\Delta f_H = \pm 10$ МГц неравномерность амплитудно-частотной характеристики усилителя составляет ~ 1 дБ. Конструкция макета БНПУ показана на рис. 4.

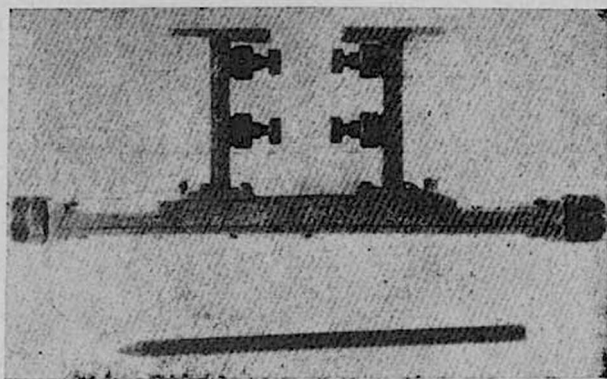


Рис. 4.

В заключение можно сказать, что при идентичных параметрах диодов можно создать балансные направленные параметрические усилители с приемлемыми для практических применений параметрами.

Институт радиофизики и электроники
АН АрмССР

Поступила 9.XI.1972

Л И Т Е Р А Т У Р А

1. J. Hamasaki. The Bell System Techn. J., 43, 1123 (1964).
2. К. С. Мосоян, И. А. Струков, В. С. Эткин. Радиофизика, 10, 1 (1967).
3. IEEE Transactions, MTT-15, 5, 301 (1967).
4. АЕУ, 24, 103 (1970).
5. К. С. Мосоян, И. А. Струков, В. С. Эткин. Изв. АН АрмССР, Физика, 6, 391 (1971).

ՇԵՐՏԱՎՈՐ ԲԱԼԱՆՍԱՅԻՆ ՈՒՂՂՈՐԴՎԱԾ ՊԱՐԱՄԵՏՐԻԿ ՈՒԺԵՂԱՑՈՒՑԻԶ
720 ՄՁԳ ԱԶԳԱՆՇԱՆԻ ՀԱՃԱԽՈՒԹՅԱՆ ՎՐԱ

Ք. Մ. ԾԱՌՈՒԿՅԱՆ

Աշխատանքում բերված են բալանսային ուղղորդված պարամետրիկ ուժեղացուցիչի հետազոտման արդյունքները $f_c = 720$ ՄՁԳ ազդանշանի հաճախության վրա, որտեղ ուժեղացման գործակիցը կազմում է $G = 10$ դԲ, բաց թողման շերտը $\frac{\Delta f}{f} = 11\%$, իսկ աղմուկի գործակիցը՝ $F = 1,5$ միավոր:

STRIP-LINED UNILATERAL PARAMETRIC BALANCE
AMPLIFIER (UPBA) ON THE 720 MHz SIGNAL FREQUENCY

T. M. TSAROUKIAN

In the article presented the results of investigation of strip-lined UPBA at signal frequency 720 MHz are given. The UPBA gain makes $G = 10$ db, the relative band-pass is $\frac{\Delta f}{f} \approx 11\%$ and the noise coefficient equals to $F = 1,5$ units.

СОВЕЩАНИЯ И КОНФЕРЕНЦИИ

НАУЧНАЯ СЕССИЯ ОТДЕЛЕНИЯ ФИЗИКО-
МАТЕМАТИЧЕСКИХ НАУК АКАДЕМИИ НАУК
АРМЯНСКОЙ ССР

(11 октября 1973 г.)

11 октября 1973 г. в конференц-зале Дома ученых Ереванского физического института состоялась научная сессия Отделения физико-математических наук АН Арм. ССР. На сессии были заслушаны доклады:

1. М. П. Лорилян. Переходное излучение в слоистых и пористых средах.

2. Р. О. Авакян. Исследование когерентного тормозного излучения на кристаллах.

3. Л. О. Абрамян, А. О. Аганьянц, Г. А. Вартапетян, А. Н. Лебедев, Э. Г. Мурадян, А. Г. Худавердян, Л. С. Хуршудян. Фоторождение одиночных π^\pm - и γ -мезонов на ядрах в области энергий 2—3 Гэв.

Ниже публикуется краткое содержание прочитанных докладов.

М. П. Лорилян. Переходное излучение в слоистых и пористых средах

Развитие физики элементарных частиц в последние годы все более остро ставит вопрос об идентификации частиц сверхвысоких энергий, так как использование черенковского излучения встречает серьезные трудности, когда лоренц-фактор частицы $\gamma > 100$ ($\gamma = \frac{E}{mc^2}$). В этом отношении уникальным является переходное излучение в рентгеновском диапазоне частот—РПИ. РПИ линейно зависит от энергии частицы, в связи с чем это явление привлекло большое внимание физиков, работающих в области физики элементарных частиц сверхвысоких энергий.

В докладе приводятся результаты исследований переходного излучения в рентгеновском диапазоне частот, проведенных в нашей лаборатории с 1969 года. Первый этап работ был выполнен методом стримерной камеры. Стримерная камера, содержащая небольшое количество тяжелого газа Хе или Kr, имеет достаточно высокую эффективность регистрации фотонов в диапазоне энергий $\hbar\omega \sim (5-100) \text{ Кэв}$. Стримерная камера является удобным прибором для регистрации частиц методом РПИ, так как позволяет зарегистрировать без предварительного отклонения частицы после прохождения радиатора переходного излучения отдельно как фотоны РПИ, так и частицу. Нами было показано, что в действительности имеет место линейная зависимость числа фотонов от энергии электронов и что экспериментальные результаты находятся в хорошем согласии с теорией переходного излучения в слоистой среде.

В этой же серии измерений было обнаружено, что интенсивное переходное излучение образуется и в пористых средах, где границы между средами расположены хаотично. Это обстоятельство представляет большой интерес как с точки зрения теории переходного излучения, так и для практического применения этого явления для детектирования частиц.

В последующих работах нами была подтверждена линейная зависимость числа фотонов от энергии электронов в более широком диапазоне энергий (1—4,5) Гэв и в пенопласте и показано, что на основе переходного излучения реально можно разрабатывать светосильные детекторы ультрарелятивистских частиц с высокой эффективностью регистрации (100%).

На втором этапе работ мы провели систематические исследования спектральных распределений интенсивности и других особенностей РПИ как в слоистых радиаторах, так и в пенопласте. В частности, были обнаружены максимумы в спектрах переходного излучения, обусловленные интерференцией излучения от двух границ каждой фольги в радиаторах из алюминия. Исследования показали, что в пенопласте число фотонов переходного излучения при энергии электронов 3 Гэв растет с ростом плотности от $\rho = 0,025 \text{ г/см}^3$ до $\rho = 0,09 \text{ г/см}^3$. Сравнение со слоистыми радиаторами показывает, что пенопласт не уступает слоистым радиаторам. Исследования РПИ при энергиях от 680 Мэв до 4 Гэв показали, что во всех использованных радиаторах влияние многократного рассеяния отсутствует и эти результаты хорошо описываются теорией переходного излучения.

Материалы доклада опубликованы в следующих работах:

Изв. АН АрмССР, Физика, 5, 267 (1970).

Письма ЖЭТФ, 16, 315 (1972); 17, 453 (1973); 18, 356 (1973).

Научное сообщение ЕФИ-31 (73); ЖЭТФ, 65, 1330 (1973).

Р. О. Авакян. Исследование когерентного тормозного излучения на кристаллах

В современных исследованиях по физике высоких энергий на электронных ускорителях особое место занимают исследования, проводимые на квазимонохроматических и поляризованных пучках фотонов. Эксперименты с поляризованными фотонами открывают новые возможности для проверки различных механизмов реакций, позволяют делать выбор между теми или иными теоретическими моделями. Использование монохроматических пучков облегчает проведение эксперимента и повышает точность результатов.

Для создания квазимонохроматических и поляризованных фотонов нами использовалось когерентное тормозное излучение электронов высоких энергий на кристалле алмаза. В отличие от сплошного спектра фотонов, излучаемых высокоэнергетичными электронами в аморфном радиаторе, тормозное излучение от монокристалла имеет ряд дискретных пиков с вы-

сокой степенью поляризации. Энергия фотонов, при которой появляется пик в спектре тормозного излучения, существенно зависит от угла влета в кристалл. С увеличением пиковой энергии фотонов интенсивность и поляризация фотонов падают. Мозли и Де Вайр в 1963 году предсказали возможность получения монохроматических пиков коллимированием когерентного тормозного излучения от тонкого радиатора.

На алмазной кристаллической пластинке толщиной 80 мк нами впервые был наблюден этот эффект. При этом наблюдалось подавление некогерентного фона с коэффициентом подавления 0,5. Проводилось также экспериментальное исследование поляризации фотонов. Измерялась асимметрия в образовании электрон-позитронных пар фотонами высоких энергий на кристаллическом радиаторе, с помощью которой вычислялась поляризация фотонов в пике.

Для ряда экспериментов с поляризованными фотонами требуется высокая поляризация фотонов при предельных энергиях ускорителя. Указанная выше методика не в состоянии удовлетворить этому требованию, ибо когерентные явления имеют место для фотонов с энергией до $3/4 E_0$, где E_0 — предельная энергия электронов ускорителя.

Для получения поляризованных фотонов предельных энергий нами используется метод, предложенный Кабиббо и основанный на прохождении неполяризованного пучка фотонов высоких энергий через кристалл. Неполяризованное излучение можно представить как смесь двух взаимно перпендикулярных поляризованных излучений. При прохождении через толстый кристалл (при подходящей ориентации) одно из них поглощается быстрее. В результате появляется преимущественная поляризация. Нами показано, что монокристалл корунда является подходящим для этой цели поляризатором.

При экспериментальном исследовании когерентного тормозного излучения была обнаружена интересная зависимость интенсивности фотонов предельных энергий от угла влета электронов в кристалл, которая не согласуется с теорией когерентного тормозного излучения. В частности, при углах влета, близких к нулю, наблюдается значительное подавление излучения, которое теорией не предсказывается.

Материалы доклада опубликованы в следующих работах:

1. Р. О. Авакян и др. Труды международной конференции по аппаратуре в физике высоких энергий, Дубна, 1971, том 2, стр. 78.
2. Р. О. Авакян и др. Изв. АН АрмССР, Физика, 6, 138 (1971).
3. Р. О. Авакян и др. Изв. АН АрмССР, Физика, 7, 311 (1972).

Л. О. Абрамян, А. О. Аганьянц, Г. А. Вартапетян, А. Н. Лебедев,
Э. Г. Мурадян, А. Г. Худавердян, Л. О. Хуршудян. Фоторождение
одиночных π^{\pm} - и η -мезонов на ядрах в области энергий 2—3 Гэв

В докладе приводятся результаты исследований процессов фоторождения одиночных π^{\pm} - и η -мезонов на сложных ядрах *Be, C, Al, Cu, Ag, Pb*

$$\gamma + A \rightarrow \left\{ \begin{array}{l} \pi^+ \\ \pi^- \\ \eta^0 \end{array} \right\} + A'$$

В случае фоторождения π^{\pm} -мезонов энергия фотонов и передаваемый импульс составляли соответственно $E_{\gamma} = 2$ и 3 Гэв и $|t| = 0,3$ и $0,58 (\text{Гэв}/c)^2$. В случае фоторождения η^0 -мезона — $E_{\gamma} = 2 \text{ Гэв}$ и $|t| = 0,5 (\text{Гэв}/c)^2$.

Для исследования реакций фотообразования π^{\pm} -мезонов был создан магнитный спектрометр, регистрирующий заряженные π -мезоны в области импульсов $0,8$ — $4 \text{ Гэв}/c$. Несмотря на применение стандартных магнитных элементов его разрешающая способность по импульсу $\delta p/p$ была доведена до $1,5\%$.

Для исследования процесса образования η^0 был создан гамма-спектрометр, который регистрировал η^0 -мезоны по их распаду на два фотона.

1. На основе полученных данных по фоторождению π^+ -мезонов

а) была изучена зависимость $Z_{\text{эф}} = \frac{d\sigma}{dt}(\gamma A \rightarrow \pi^+ A') / \frac{d\sigma}{dt}(\gamma p \rightarrow \pi^+ n)$

от энергии γ -кванта и получено, что в области энергий от 2 до 16 Гэв $Z_{\text{эф}}$ не меняется с E_{γ} (имеются в виду и данные, полученные на SLAC при $E_{\gamma} = 8$ и 16 Гэв); этот результат противоречит предсказанию модели векторной доминантности;

б) зависимость $Z_{\text{эф}}$ от атомного номера ядра-мишени A при $|t| = 0,58 (\text{Гэв}/c)^2$ можно описать в рамках модели Глаубера-Марголиса с учетом перерасеяния ρ -мезона в промежуточном состоянии.

2. По измеренным отношениям выходов π^+ - и π^- -мезонов была оценена разница в распределении плотности протонов и нейтронов на поверхности тяжелых ядер *Ag* [$R_p - R_n = (0,14 \pm 0,13) f$] и *Pb* [$R_p - R_n = (0,35 \pm 0,13) f$]. В случае *Pd* полученный результат совпадает с соответствующей оценкой Бете.

3. Из результатов по фоторождению η^0 -мезонов оценено полное сечение взаимодействия η -мезона с нуклоном ($\sigma_{\eta N}$). Полученные результаты по $\sigma_{\eta N}$ совпадают с предсказанием аддитивной модели кварков.

Описание отдельных узлов аппаратуры опубликовано в работах [1]. Данные по процессам фоторождения π^+ -мезонов опубликованы в работах [2], а результаты по реакции образования η^0 -мезона — в работах [3].

ЛИТЕРАТУРА

1. Л. О. Абрамян и др. ПТЭ, № 2, 60, 71 (1973).
2. L. O. Abrahamian et al. Phys. Lett., 38B, 544 (1972); ЯФ, 16, 739 (1972).
3. L. O. Abrahamian et al. Phys. Lett., 44B, 301 (1973); ЯФ, 18, 817 (1973).

ՀԵՂԻՆԱԿԱՅԻՆ ՑԱՆԿ
Հատոր 8, 1973 թ.

Աբրահամյան Լ. Հ., Աղամյան Ֆ. Վ., Վարդապետյան Հ. Հ., Խուղավերդյան Ա. Ի.-- Գազախին շեմային շերենկովյան հաշվիչ լայն կտրվածքով փնջբրի մեջ աշխատելու համար մի բանի միլիարդ էլեկտրոն-վոլտ էներգիաների տիրույթում	4	283
Աբրահամյան Մ. Գ. (տե՛ս Հովհաննիսյան Ռ. Ս.)	1	63
Աղամյան Վ. Ե., Արծրունի Ա. Ա., Հարությունյան Մ. Հ., Մկրտչյան Գ. Ս.—Պարզ կիսաավտոմատ շերմակարգավորիչ	3	232
Աղամյան Ֆ. Վ. (տես Աբրահամյան Լ. Հ.)	4	283
Աղոնց Գ. Գ.—Բեռնացված ճառագայթման անցումը ուղղանսային միջավայրով	4	241
Աղոնց Գ. Գ., Չալրիկյան Վ. Հ., Շահնագարյան Ն. Վ.—Բեռնացման էֆեկտները լույսի ինքնաֆոկուսացման ժամանակ	1	28
Աղոնց Գ. Գ. (տես Մուրադյան Ա. Ժ.)	5	331
Ազիզյան Հ. Հ. (տես Մարդարյան Վ. Ս.)	1	76
Ալեխանդրով Ի. Վ., Քարամյան Լ. Գ.—Իզոտրոպ փոխազդեցությունների ազդեցությամբ տեղի ունեցող քվանտային անցումները մասնիկների դիֆուզիոն շարժման ժամանակ	4	270
Ալիխանյան Ա. Ի., Քանեֆանյան Ս. Ա., Հովհաննիսյան Ա. Հ., Թամանյան Ա. Գ.—Գազախին բսնոնային սցինտիլյատոր փափուկ ունեցանյան ճառագայթման գրանցման համար	3	228
Ակոպով Ն. Զ., Զվերև Ա. Մ., Մատինյան Ս. Հ., Շահնագարյան Յու. Գ.—Աքսիալ մեղունների ֆոտոմոնումը մեծ էներգիաների դեպքում	3	161
Այվազյան Խ. Գ., Բառանով Վ. Գ., Օստանիճա Տ. Ա.—Պոլիպրոպիլենի և պոլի-ունդեկանամիդի սֆերոլիտների դեֆորմացիայի ուսումնասիրությունը	4	290
Այվազյան Յու. Մ., Մերգելյան Հ. Ս.—էլեկտրամագնիսական ալիքների դիֆրակցիան շարժվող պարբերականորեն անհամասեռ միջավայրում	3	178
Անդրիսի Մ. Վ., Բուդարեկո Ն. Ա., Կուկաևս Վ. Մ., Մարիկյան Գ. Գ., Նիկիտին Ն. Ն., Խարիտոնով Վ. Մ.—Լուսային ազդանշանի դիտումը համեմատական բազմալար խցիկի միջով լիցքավորված մասնիկի անցման դեպքում	5	362
Անտոնյան Կ. Գ., Մարդարյան Ռ. Ա.—Կորիոլիսյան փոխազդեցության ազդեցությունը կենտ ատոմային միջուկների մագնիսական մոմենտների վրա	3	168
Առաֆելյան Վ. Մ. (տես Մելիքյան է. Գ.)	5	381
Ասլանյան Ա. Մ, Ղուլյան Ա. Գ.—Կոսմիկական ռադիոազդրյունների միջոցով անտենայի երկրաչափական առանցքի նկատմամբ էլեկտրական առանցքի շեղման չափման մասին	1	68
Ասլանյան Ա. Մ., Ղուլյան Ա. Գ.—Անտենայի ազմուկի շերմաստիճանի և էֆեկտիվ մակերեսի չափումը	2	148
Ավագյան Ա. Լ., Ղարիբյան Գ. Մ., Յան Եի—Թիթեզների շերտում լիցքի առաջացրած ճառագայթումը Բրեքի հաճախությունների մոտ	1	3
Ավագյանց Գ. Մ., Ղարսյան Հ. Մ., Զեբեջյան Հ. Հ.—p-n-p-n-պ կառուցվածքի վոլտամպերային բնութագծի հաշվարկը	1	54
Ավագյանց Գ Մ., Ղարսյան Հ. Մ., Զեբեջյան Հ. Հ.—Ինվերսիայի երևույթը հնգաշերտ կառուցվածքներում	3	205
Ավագյանց Գ. Մ., Հարությունյան Վ. Մ.—Խորը ակցեպտորային կենտրոններ և էլեկտրոնների համար կալոդական մակարդակների պարունակող համակշռված կիսահաղորդիչներում կրկնակի ինժեկցիայի տեսության վերաբերյալ	6	429

Ավետիսյան Հ. Կ., Հովհաննեսիսյան Ս. Գ.— Կոպտոն-էֆեկտը միջավայրում շերտավորված կոնի մոտ	1	12
Ավետիսյան Հ. Հ. (տես Հովհաննեսիսյան Ս. Գ.)	6	395
Ավետիսյան Յու. Հ. (տես Մովսիսյան Լ. Մ.)	5	377
Արծրունի Ա. Ա., (տես Աղաճյան Վ. Ե.)	3	232
Բաղդասարյան Լ. Ս., Բարսեղյան Է. Հ., Թաշչյան Ա. Հ., Խալիբեգով Վ. Խ.— Ֆոտոն-ների նշման համար մագնիսական սպեկտրոմետր	5	371
Բառաճով Վ. Գ. (տես Ալվադյան Խ. Գ.)	4	290
Բառսուկով Կ. Ա., Բեղլոյան Է. Ա., Գազազյան Է. Գ., Լազիկ Է. Մ.— Անցումային ճառագայթումը ալիքատարում, որի մի կողմը փակված է իզեալ հաղորդականությամբ օժտված թաղանթով	1	20
Բարսեղյան Է. Հ. (տես Բաղդասարյան Լ. Ս.)	5	371
Բեգիրգանյան Պ. Հ. (տես էյրամչյան Յ Հ.)	3	193
Բեգիրգանյան Պ. Հ. (տես Թրունի Կ. Գ.)	2	118
Բեգիրգանյան Պ. Հ. (տես Թրունի Կ. Գ.)	4	252
Բեգիրգանյան Պ. Հ. (տես Նավասարդյան Մ. Ա.)	2	108
Բեղլոյան Է. Ա. (տես Բառսուկով Կ. Ա.)	1	20
Բիխտաճով Ա. Ա. (տես Թաղևոսյան Ա. Հ.)	5	343
Բռնդարենկո Ն. Ա. (տես Անտիխի Մ. Վ.)	5	362
Բոստանբեյյան Ն. Խ., Վարդումյան Գ. Ս., Մարիկյան Գ. Հ., Մաթևոսյան Կ. Ա.— Կապարի և ալյումինիումի մեջ ոչ առաձգական միջուկային փոխազդեցության կրտրվածքի շահումը կայծային խցիկների և իոնացման կալորիմետրի օգնությամբ	6	391
Գազազյան Է. Գ. (տես Բառսուկով Կ. Ա.)	1	20
Գազազյան Է. Գ. (տես Հերունի Պ. Մ.)	4	304
Գգրյան Զ. Մ. (տես Պողոսյան Յա. Մ.)	4	261
Գգրյան Զ. Մ. (տես Պողոսյան Յա. Մ.)	6	418
Գյուլազյան Ռ. Ն., Կարմենյան Կ. Վ., Չիլինգարյան Յու. Ա.— Ոչ գծային օպտիկական էֆեկտներ պիկովարկյանային զրգման դեպքում	2	125
Գրիգորով Ն. Լ., Մխառյան Ս. Վ., Սավելև Ա. Ի.— Տիեզերական ճառագայթներում 10 ¹² էվ-ից ավելի մեծ էներգիայով օժտված տարբեր բնույթի մասնիկների միջուկային փոխազդեցությունների բնութագրերի ուսումնասիրման մեթոդ	2	23
Գևորգյան Լ. Ա. (տես Ղարիբյան Գ. Մ.)	4	248
Գևորգյան Ռ. Գ., Սինանյան Լ. Գ.— Ստատիստիկ թերմոդինամիկայի բաշխման հավասարակշիռ ֆունկցիայի հիմնավորման հարցի շուրջը	6	438
Դանգալյան Ա. Ս., Դեմյոխիս Կ. Ա.— Լիցքավորված պիոնների ֆոտոծնումը A ¹²⁷ Բ ¹¹ միջուկներում 2-ից մինչև 4,5 Գեվ մարտիմալ էներգիաների դեպքում	5	321
Դեմյոխիս Ն. Ա. (տես Դանգալյան Ա. Ս.)	5	321
Դուրգարյան Ա. Հ. (տես Թաղևոսյան Ա. Հ.)	5	343
Եղիազարյան Գ. Ա. (տես Սմիթնիցկայա Գ. Վ.)	2	133
Եղյան Կ. Ա., Մաթիսոսյան Ռ. Գ., Կարապետյան Վ. Վ.— Մասմանների վարքի որոշ առանձնահատկությունները անհամասնու անիզոտրոպիայի դաշտ ունեցող մագնիսական թաղանթներում	1	42
Եղյան Կ. Ա., Սանճյան Յու. Գ.— Հիմքի խորզուրորդությունների ազդեցությունը գլանային մագնիսական թաղանթների ընկալման վրա	2	14
Եսիկ Ս. Կ., Նիկողոսյան Վ. Յ., Թամանյան Ա. Ռ.— Բետատրոնային տատանման հաճախությունները Երևանի սինխրոտրոնում	3	215
Զազյան Մ. Զ., Մամիջանյան Է. Ա., Մաթիսոսով Ռ. Մ.— Մեկ Տեվ էներգիայի նուկլոնների ոչ առաձգական փոխազդեցությունների կտրվածքի որոշումը երկաթում	1	73
Զոլյան Տ. Ս.— Հեղուկ կիսահաղորդչային բարձրատիճան դիոդ	3	220
Զվեբև Ա. Մ. (տես Ակոպով Ն. Զ.)	3	161
Էյրամչյան Յ. Հ., Թրունի Կ. Գ., Բեգիրգանյան Պ. Հ.— Չորսրոկանի ինտերֆերոմետր	3	193
Էնֆիաշյան Ռ. Լ. (տես Ղազարյան Է. Մ.)	1	47
Թաղևոսյան Ա. Հ., Բիխտաճով Ա. Ա., Դուրգարյան Ա. Հ., Շասկոլսկայա Մ. Պ.— Ներքին շփման կախվածությունը LiF մոնոբյուրեղում	5	343

Թամանյան Ա. Գ. (տես Ալիխանյան Ա. Ի.)	3	228
Թամանյան Ա. Գ. (տես Քանթանյան Ս. Ա.)	4	305
Թաշչյան Ա. Հ. (տես Բաղդասարյան Լ. Ս.)	5	371
Քոխմախյան Մ. Գ.—Ինդուլտիվ բեռով տրանզիտտորային կասկադի զբոսանքի մի ըս- կըրրունքի մասին, որը ապահովում է հոսանքի և լարման օպտիմալ ան- ցողիկ բնութագրերը	5	356
Թրունի Կ. Գ., Վարդանյան Գ. Մ., Բեգիրզանյան Պ. Հ.—Ռենտգենյան ճառագայթների ցրման սֆերիկ ալիքային մոտավորությունը Բրեզի դեպքում	2	118
Թրունի Կ. Գ., Բեգիրզանյան Պ. Հ.—Ռենտգենյան ճառագայթների էներգիայի հոսքի զծերը Բրեզի անդրադարձման դեպքում	4	252
Թրունի Կ. Գ. (տես էյրամչյան Ֆ. Հ.)	3	193
Քումանյան Ա. Ռ. (տես Նսին Ս. Կ.)	3	215
Քումանյան Ա. Ռ. (տես Նարինյան Վ. Թ.)	4	279
Լազիկ Է. Մ. (տես Բառուկով Կ. Ա.)	1	20
Լորիկյան Ա. Պ., Կավալով Ռ. Լ., Տրոֆիմով Ն. Ն.—Ղեկավարվող երկրորդային էլեկտրոնային էմիսիան բարձր էներգիաների տիրույթում	1	33
Խալիբաևով Վ. Խ. (տես Բաղդասարյան Լ. Ս.)	5	371
Խալպախչյան Ս. Գ.—Պարամետրների զբոսանքի պրոցեսի վերլուծության վերաբերյալ	6	451
Խաչատրյան Ժ. Խ.—Վակուումային ուլտրամանիշակագույն տիրույթի համար ճառա- գայթման վերափոխիչները և նրանց հիման վրա պատրաստված սարքերը	5	367
Խարիտոնով Վ. Մ. (տես Անտիխ Մ. Վ.)	5	362
Խոյձեց Ս. Ա. (տես Մելիքյան Ռ. Ա.)	2	85
Խոլովալեռյան Ա. Ի. (տես Աբրահամյան Լ. Հ.)	4	283
Մառուկյան Թ. Մ.—Շերտավոր բալանսային ուղղորդված պարամետրիկ ուժեղացուցիչ $f_c = 720$ մզհց աղանշանի հաճախության վրա	6	457
Կարայան Յու. Կ. (տես Օվանեսով Գ. Թ.)	4	300
Կավալով Ռ. Լ. (տես Լորիկյան Մ. Պ.)	1	33
Կարապետյան Վ. Վ. (տես Եղյան Կ. Ա.)	1	42
Կարմենյան Կ. Վ. (տես Գյուլպայան Ռ. Ն.)	2	125
Կոլումբեց Վ. Գ. (տես Մուրադյան Ա. Ժ.)	5	331
Կոխմախյան Ն. Ա.—Օնդուլտտորային ճառագայթման որոշ հարցերի վերաբերյալ	6	405
Կուկարև Վ. Մ. (տես Անտիխ Մ. Վ.)	5	362
Հակոբյան Ռ. Փ., Տեր-Միքեալ Յու. Ս.—Ալյումինիումի նուրբ բյուրեղային կառուց- վածքի ուսումնասիրությունը սողքի ընթացքում ուսումնասիրության հղանակով	1	37
Հարությունյան Գ. Մ., Ղազարյան Է. Մ.—Սեփական կլանումը ուժեղ էլեկտրամագնիս- ական ալիքի դաշտում գտնվող բարակ կիսահաղորդչային թաղանթներում	5	339
Հարությունյան Մ. Հ. (տես Աղամյան Վ. Ե.)	3	232
Հարությունյան Վ. Մ. (տես Ավագյան Գ. Մ.)	6	429
Հերունի Պ. Մ., Գազարյան Է. Գ., Տեր-Անտոնյան Ռ. Վ.—Սֆերիկ հայելու ճառագայթ- ման դաշտը Կիրխհոֆի մոտավորությամբ	4	304
Հովհաննիսյան Ա. Գ. (տես Քանթանյան Ս. Ա.)	4	405
Հովհաննիսյան Ա. Հ. (տես Ալիխանյան Ա. Ի.)	3	228
Հովհաննիսյան Ռ. Ս., Աբրահամյան Մ. Գ.—Պտտվող հեղուկ զնդի տատանումները թորոդիալ մագնիսական դաշտի առկայության դեպքում	1	63
Հովհաննիսյան Ս. Գ. (տես Ավետիսյան Հ. Կ.)	1	12
Հովհաննիսյան Ս. Գ., Ավետիսյան Հ. Կ.—Քվանտային էֆեկտներ միջավայրում ազատ էլեկտրոնների և հարթ էլեկտրամագնիսական ալիքի փոխազդեցության ժամանակ	6	395
Ղազարյան Է. Մ., Մայիլյան Գ. Լ., Էնֆիլյան Ռ. Լ.—Չլուկալիզացված էքսիտոնի ցրումը Ֆոտոնների վրա բարակ թվանտացված կիսահաղորդչային թաղանթներում	1	47
Ղազարյան Է. Մ. (տես Հարությունյան Գ. Մ.)	5	339
Ղանբարչյան Լ. Տ., Մանբարչյան Կ. Ա.—Հեղուկ բյուրեղները որպես դիէլեկտրիկ միջա- վայրեր էլեկտրալյումինացնող ըջիջներում	4	309
Ղարայան Հ. Մ. (տես Ավագյան Գ. Մ.)	1	54
Ղարայան Հ. Մ. (տես Ավագյան Գ. Մ.)	3	205
Ղարիբյան Գ. Մ. (տես Ավագյան Ա. Լ.)	1	3

Ղարիբյան Գ. Մ., Գևորգյան Լ. Ս., Յան-Շի—Անցումային ճառագայթումը անկանոն անհամասեռ միջավայրում 4 248

Ղուլյան Ա. Գ. (տես Ասլանյան Ա. Մ.) 1 68

Ղուլյան Ա. Գ. (տես Ասլանյան Ա. Մ.) 2 143

Մաքևոսյան Կ. Ա. (տես Բոստանջյան Ն. Խ.) 6 391

Մամիչանյան Է. Ա. (տես Ջազյան Մ. Ջ.) 1 73

Մամիչանյան Է. Ա. (տես Քերոսյան Մ. Ի.) 3 224

Մայիլյան Գ. Լ. (տես Ղազարյան Է. Մ.) 1 47

Մամյան Ռ. Հ.—Երկշերտ ֆերոմագնիսական թաղանթների դիֆերենցիալ թափանցելիությունը 6 412

Մանրաշյան Կ. Ա. (տես Ղանթարջյան Լ. Տ.) 4 309

Մատինյան Ս. Հ. (տես Ակոպով Ն. Ջ.) 3 161

Մարիկյան Գ. Գ. (տես Անոսին Մ. Վ.) 5 362

Մարիկյան Գ. Հ. (տես Բոստանջյան Ն. Խ.) 6 391

Մարտիրոսյան Ռ. Գ. (տես Նղյան Կ. Ա.) 1 42

Մարտիրոսյան Ռ. Մ. (տես Շախպարյան Վ. Պ.) 6 446

Մարտիրոսով Ռ. Մ. (տես Ջազյան Մ. Ջ.) 1 73

Մարտիրոսով Ռ. Մ. (տես Քերոսյան Մ. Ի.) 3 224

Մելիքյան Է. Գ., Առաքելյան Վ. Մ.—Մագնիսական դաշտի աղբյուրությունը անիզոտրոպ դեֆորմացված դիողներին վոլտ-ամպերային բնութագրերի վրա 5 381

Մելիքյան Ռ. Ա., Օղյով Յու. Ֆ., Խեյֆեց Ս. Ա.—Սինխրոտրոնում էլեկտրոնի շարժման քվանտային տեսությունը ավտոֆազացնող դաշտի առկայության դեպքում, I Այլբային ֆունկցիաները 1 85

Մեղքեյան Հ. Մ.—Հիրոտրոպ պարբերականորեն անհամասեռ միջավայրում շարժվող լիցքավորված մասնիկի դաշտը 2 100

Մեղքեյան Հ. Ս. (տես Ալվազյան Յու. Մ.) 3 178

Մխոյան Ս. Վ. (տես Գրիգորով Ն. Լ.) 2 93

Մկրտչյան Գ. Ս. (տես Ադամյան Վ. Ն.) 3 232

Մովսիսյան Լ. Մ., Ավետիսյան Յու. Հ.—Փնջի հոսանքի և վազող էլեկտրամագնիսական ալիքի սինքրոն փոխազդեցության դեպքում անհամասեռ ալիքատարի բնութագրերի հաշվարկը 5 377

Մուրադյան Լ. Ժ., Աղոնց Գ. Գ., Կոլումբեց Վ. Գ.—Մոնոքրոմատիկ ինտենսիվ ալիքի անցումը ուղղանոսային միջավայրով 5 331

Յան-Շի (տես Ավազյան Ա. Լ.) 1 3

Յան-Շի (տես Ղարիբյան Գ. Մ.) 4 248

Նագոսկի Գ. Ա. (տես Սեռով Վ. Լ.) 5 326

Նավասարդյան Մ. Ա., Բեգիրբազանյան Պ. Հ.—Լաուէ-անդրադարձված փնջի ինտենսիվության փոփոխման դինամիկական ջերմաստիճանային գրադիենտի մեծության մոնոտոն փոփոխման ընթացքում 2 108

Նավասարդյան Մ. Ա.—Ռենտգենյան ինտերֆերոմետրի և ուղղանոսային նոր սխեմաներ 3 187

Նարինյան Վ. Թ., Թումանյան Ա. Ռ.—Սինխրոտրոնի էլեկտրամագնիսում մագնիսական դաշտի լարվածության փոփոխության փոքր արագության դեպքում սինխրոնիզացնող ազդանշան ստանալու սարքավորում 4 279

Ներսիսյան Ջ. Ա. (տես Օվանեսով Գ. Թ.) 4 300

Նիկիտին Ն. Ն. (տես Անոսին Մ. Վ.) 5 362

Նիկողոսյան Վ. Յ. (տես Նսին Ս. Կ.) 3 215

Շախպարյան Վ. Պ., Մարտիրոսյան Ռ. Մ.—Միլիմետրային դիսպազոնի պարամագնիսական ուժեղացուցիչներում անադուզիտի կիրառության հարցի շուրջը 6 446

Շանեազարյան Յու. Գ. (տես Ակոպով Ն. Ջ.) 3 161

Շանեազարյան Ն. Վ. (տես Աղոնց Գ. Գ.) 1 28

Շակոբկայա Մ. Պ. (տես Քաղեսոյան Ա. Հ.) 5 343

Չալքիկյան Վ. Հ. (տես Աղոնց Գ. Գ.) 1 28

Չեչերեիկով Վ. Ի. (տես Քալանթարյան Վ. Պ.) 3 197

Չիլիեզարյան Յու. Ս. (տես Գյուլազյան Ռ. Ն.) 2 125

Պողոսյան Յա. Մ., Գզրյան Ջ. Մ.—Գոմենային սահմանների սողբի վերաբերյալ 4 261

Պողոսյան Յ. Մ., Գրչյան Զ. Մ.—Ֆերո-անտիֆերոմագնիսական փոխազդեցությունը կապված թաղանթների վերամագնիսացման որոշ առանձնահատկությունների մասին	6	413
Ջերեջյան Հ. Հ. (տես Ավագյանց Գ. Մ.)	1	54
Ջերեջյան Հ. Հ. (տես Ավագյանց Գ. Մ.)	3	205
Սահակյան Գ. Ս. (Վաթոճամյա հորեյլանի առթիվ)	4	312
Սաճոյան Յու. Գ. (տես Նդյան Կ. Ա.)	2	140
Սավելև Ա. Ի. (տես Գրիգորով Ն. Լ.)	2	93
Սարգսյան Ռ. Ա. (տես Անտոնյան Կ. Գ.)	3	168
Սարգսյան Վ. Ս., Ազիզյան Հ. Հ.—Չափային քվանտացման պայմաններում լուսի միջոցով դիսպերձանի ուժեղացման մի հնարավորության մասին	1	76
Սեռով Վ. Լ., Նազարևի Գ. Ա.—Լիցքերի կամայական բաշխում ունեցող զծային թանձրուկների ճառագայթումը ռեզոնատորում	5	326
Սինեյցև Լ. Գ. (տես Գևորգյան Ռ. Գ.)	6	438
Սմիռնիցկայա Գ. Վ., Նիլազարյան Գ. Ա.—Օսցիլացվող էլեկտրոններով պարապման տատանումների փորձնական հետազոտումը	2	133
Վարդանյան Գ. Մ. (տես Թրոնի Կ. Գ.)	2	116
Վարդապետյան Հ. Հ. (տես Աբրահամյան Լ. Հ.)	4	283
Վարդումյան Ռ. Տ. (տես Բոստանչյան Ն. Խ.)	6	391
Տեր-Անտոնյան Ռ. Վ. (տես Հերոնի Գ. Մ.)	4	304
Տեր-Միլեասով Յու. Ս. (տես Հակոբյան Ռ. Փ.)	1	37
Տրոֆիմչուկ Ն. Ն. (տես Լորիկյան Մ. Պ.)	1	33
Քալանթարյան Վ. Պ., Չեչերեիկով Վ. Ի.—Միջուկային մագնիսական ռեզոնանսը (նայտի շեղումը) և մագնիսական ընկալումը V-Ta-Nb անցումային էլեմենտների համաձուլվածքների սխեմայում	3	197
Քանֆանյան Ս. Ա. (տես Ալիխանյան Ա. Ի.)	3	228
Քանֆանյան Ս. Ա., Քոչարյան Մ. Ս., Հովհաննիսյան Ա. Գ., Քամանյան Ա. Գ.—Ռենտգենյան անցումային ճառագայթման դետեկտորի ուսումնասիրումը էներգառաքման մեթոդով	4	305
Քարամյան Լ. Գ. (տես Ալեքսանդրով Ի. Վ.)	4	270
Քերոփյան Մ. Ի., Մամիջանյան Է. Ա., Մարտիրոսով Ռ. Մ.—Բարձր էներգիայով նուկլոնների կողմից զենեքացված միջուկային հեղեղի կլանումը երկաթում	3	224
Քոչարյան Մ. Ս. (տես Քանթանյան Ս. Ա.)	4	305
Օդով Յու. Յ. (տես Մելիքյան Ռ. Ա.)	2	85
Օստաինա Մ. Ա. (տես Ավագյան Խ. Գ.)	4	290
Օվանեսով Գ. Թ., Ներսիսյան Զ. Ա., Կարալյան Յու. Կ.—Քլորոպրենային կաուչուկի բյուրեղացումը և հալումը	4	300

АВТОРСКИЙ УКАЗАТЕЛЬ 8 ТОМА ЗА 1973 г.

	вып. стр.
<i>Абрамян Л. О., Адамян Ф. В., Вартапетян Г. А., Худавердян А. Г.</i> Газовый пороговый черенковский счетчик для работы на широких пучках в области энергий несколько Гэв	4 283
<i>Абрамян М. Г.</i> (см. Оганесян Р. С.)	1 63
<i>Авакьянц Г. М., Арутюнян В. М.</i> К теории двойной инжекции в компенсированных полупроводниках, содержащих глубокие акцепторные центры и электронные уровни прилипания	6 429
<i>Авакьянц Г. М., Караян Г. С., Джереджян А. А.</i> Расчет вольт-амперной характеристики р-п-р-п-структуры	1 54
<i>Авакьянц Г. М., Караян Г. С., Джереджян А. А.</i> Явление инверсии в пятислойных структурах	3 205
<i>Авакян А. Л., Гарсбян Г. М., Ян Ши.</i> Излучение, образуемое зарядом вблизи брэгговских частот в стопке пластин	1 3
<i>Аветисян Г. К., Оганесян С. Г.</i> Комптон-эффект в среде вблизи черенковского конуса	1 12
<i>Аветисян Г. К.</i> (см. Оганесян С. Г.)	6 395
<i>Аветисян Ю. О.</i> (см. Мовсисян Л. М.)	5 377
<i>Адамян В. Е., Арцруни А. А., Арутюнян М. А., Мкртчян Г. С.</i> Простой полуавтоматический терморегулятор	3 232
<i>Адамян Ф. В.</i> (см. Абрамян Л. О.)	4 283
<i>Адонц Г. Г.</i> Прохождение поляризованного излучения через резонансную среду	4 241
<i>Адонц Г. Г., Чалтыкян В. О., Шахназарян Н. В.</i> Поляризационные эффекты при самофокусировке света	1 28
<i>Адонц Г. Г.</i> (см. Мурадян А. Ж.)	5 331
<i>Азизян А. О.</i> (см. Сардарян В. С.)	1 76
<i>Айвазян Х. Г., Баранов В. Г., Останина Т. А.</i> Изучение деформации сферолитов полипропилена и поли- ω -ундеканамида	4 290
<i>Айвазян Ю. М., Мергелян О. С.</i> Дифракция электромагнитных волн на движущихся периодически-неоднородных средах	3 178
<i>Акопов Н. Э., Зверев А. М., Матинян С. Г., Шахназарян Ю. Г.</i> О фоторождении аксиально-векторных мезонов при высоких энергиях	3 161
<i>Акопян Р. М., Терминасов Ю. С.</i> Рентгенографическое исследование тонкой кристаллической структуры алюминия при ползучести	1 37
<i>Александров И. В., Карамян Л. Г.</i> Переходы под влиянием короткодействующих изотропных взаимодействий при диффузионном движении частиц	4 270
<i>Алиханян А. И., Канкян С. К., Оганесян А. Г., Таманян А. Г.</i> Газовый ксеноновый сцинтиллятор для регистрации мягкого рентгеновского излучения	3 228
<i>Анохин М. В., Бондаренко Е. А., Кукарев В. М., Марилян Г. Г., Никитин Н. И., Харитонов В. М.</i> Наблюдение светового сигнала при прохождении заряженных частиц через многопроволочную пропорциональную камеру	5 362
<i>Антонян К. Г., Сардарян Р. А.</i> Влияние кориолисова взаимодействия на магнитные моменты нечетных атомных ядер	3 168
<i>Аракелян В. М.</i> (см. Меликян Э. Г.)	5 381
<i>Арутюнян В. М.</i> (см. Авакьянц Г. М.)	6 429

Арутюнян Г. М., Казарян Э. М. Собственное поглощение в тонких полупроводниковых пленках в поле сильной электромагнитной волны	5	339
Арутюнян М. А. (см. Адамян В. Е.)	3	232
Арцруни А. А. (см. Адамян В. Е.)	3	232
Асланян А. М., Гулян А. Г. К вопросу об измерении смещения электрической оси антенны относительно геометрической с помощью внеземных источников радионзлучения	1	68
Асланян А. М., Гулян А. Г. Измерение шумовой температуры и эффективной площади антенн	2	148
Багдасарян Л. С., Барсебян Э. О., Ташчян А. А., Халдыбанов В. Х. Магнитный спектрометр для измерения γ -квантов	5	371
Баранов В. Г. (см. Айвазян Х. Г.)	4	290
Барсебян Э. О. (см. Багдасарян Л. С.)	5	371
Барсуков К. А., Беглоян Э. А., Газазян Э. Д., Лазиев Э. М. Переходное излучение в закороченном волноводе	1	20
Беглоян Э. А. (см. Барсуков К. А.)	1	20
Безирганян П. А. (см. Навасардян М. А.)	2	108
Безирганян П. А. (см. Труни К. Г.)	2	118
Безирганян П. А. (см. Труни К. Г.)	4	252
Безирганян П. А. (см. Эйрамджян Ф. О.)	3	193
Блистанов А. А. (см. Тадевосян А. А.)	5	343
Бондаренко Е. А. (см. Анохин М. В.)	5	362
Бостанджян Н. Х., Вардумян Д. Т., Марибян Г. А., Матевосян К. А. Измерение сечения неупругого ядерного взаимодействия в Рb и Al с помощью искровых камер и ионизационного калориметра	6	391
Варданян Д. М. (см. Труни К. Г.)	2	118
Вардумян Д. Т. (см. Бостанджян Н. Х.)	6	391
Вартапетян Г. А. (см. Абрамян Л. О.)	4	283
Газазян Э. Д. (см. Барсуков К. А.)	1	20
Газазян Э. Д. (см. Геруни П. М.)	4	304
Гарибян Г. М. (см. Авакян А. Л.)	1	3
Гарибян Г. М., Геворгян Л. А., Ян Ши. Переходное излучение в неупорядоченной неоднородной среде	4	248
Геворгян Л. А. (см. Гарибян Г. М.)	4	248
Геворкян Р. Г., Синанян Л. Г. К вопросу об обосновании равновесной функции распределения статистической термодинамики	6	438
Геруни П. М., Газазян Э. Д., Тер-Антонян Р. В. Поле излучения сферического рефлектора в приближении Кирхгофа	4	304
Гзрян Э. М. (см. Погосян Я. М.)	4	261
Гзрян Э. М. (см. Погосян Я. М.)	6	418
Григоров Н. Л., Митоян С. В., Савельева А. И. Метод изучения характеристик ядерных взаимодействий частиц космических лучей различной природы с энергией выше 10^{12} эв.	2	93
Гулян А. Г. (см. Асланян А. М.)	1	68
Гулян А. Г. (см. Асланян А. М.)	2	148
Гюзальян Р. Н., Карменян К. В., Чилингарян Ю. С. Нелинейные оптические эффекты при пикосекундной накачке	2	125
Данагулян А. С., Демехина Н. А. Фоторождение заряженных пионов на ядрах при максимальной энергии фотонов от 2 до 4,5 Гэв	5	321
Демехина Н. А. (см. Данагулян А. С.)	5	321
Джереджян А. А. (см. Авакьянц Г. М.)	1	54
Джереджян А. А. (см. Авакьянц Г. М.)	3	205
Дургарян А. А. (см. Тадевосян А. А.)	5	343
Егизарян Г. М. (см. Смирницкая Г. В.)	2	133

<i>Егиян К. А., Мартиросян Р. Г., Карапетян В. В.</i> Некоторые особенности поведения границ в магнитных пленках с неоднородным полем анизотропии	1	42
<i>Егиян К. А., Саноян Ю. Г.</i> Влияние шероховатости подложки на восприимчивость цилиндрических магнитных пленок	2	140
<i>Есин С. К., Никогосян В. Ц., Туманян А. Р.</i> Частоты бетатронных колебаний в Ереванском синхротроне	3	215
<i>Зазян М. З., Мамиджанян Э. А., Мартиросов Р. С.</i> Определение сечения неупругого взаимодействия нуклонов с энергией $\sim 1,0$ Тэв в железе	1	73
<i>Зверев А. М.</i> (см. Акопов Н. З.)	1	161
<i>Золян Т. С.</i> Высокотемпературный контактно-точечный диод	3	220
<i>Кабалян Ю. К.</i> (см. Ованесов Г. Г.)	4	300
<i>Кавалов Р. Л.</i> (см. Лорикян М. П.)	1	33
<i>Казарян Э. М.</i> (см. Арутюнян Г. М.)	5	339
<i>Казарян Э. М., Маилян Г. Л., Энфиаджян Р. Л.</i> Рассеяние нелокализованного экситона на фонах в тонких квантованных полупроводниковых пленках	1	47
<i>Калантарян В. П., Чечерников В. И.</i> Ядерный магнитный резонанс (сдвиг Найта) и магнитная восприимчивость сплавов V-Ta-Nb	3	197
<i>Канканын С. А.</i> (см. Алиханян А. И.)	3	228
<i>Канканын С. А., Кочарян М. С., Оганесян А. Г., Таманян А. Г.</i> Исследование РПИ детектора на основе энерговыделения	4	305
<i>Кантарджян Л. Т., Манташян К. А.</i> Жидкие кристаллы в качестве диэлектрических сред в электролюминесцентных ячейках	4	309
<i>Карапетян В. В.</i> (см. Егиян К. А.)	1	42
<i>Карамян Л. Г.</i> (см. Александров И. В.)	4	270
<i>Караян Г. С.</i> (см. Авакьянц Г. М.)	1	54
<i>Караян Г. С.</i> (см. Авакьянц Г. М.)	3	205
<i>Карменян К. В.</i> (см. Гюзалян Р. Н.)	2	125
<i>Керопян М. И., Мамиджанян Э. А., Мартиросов Р. М.</i> Поглощение ядерной лавины, генерированной нуклонами высоких энергий в железе	3	224
<i>Коломиец В. Г.</i> (см. Мурадян А. Ж.)	5	331
<i>Корхмязян Н. А.</i> Некоторые вопросы теории ондуляторного излучения	6	405
<i>Кочарян М. С.</i> (см. Канканын С. А.)	4	305
<i>Кукарев В. М.</i> (см. Анохин М. В.)	5	362
<i>Лазиев Э. М.</i> (см. Барсуков К. А.)	1	20
<i>Лорикян М. П., Кавалов Р. Л., Трофимчук Н. Н.</i> Управляемая вторичная электронная эмиссия в области высоких энергий	1	33
<i>Маилян Г. Л.</i> (см. Казарян Д. М.)	1	47
<i>Мамиджанян Э. А.</i> (см. Зазян М. З.)	1	73
<i>Мамиджанян Э. А.</i> (см. Керопян М. И.)	3	224
<i>Мамян В. А.</i> Дифференциальная восприимчивость двухслойных ферромагнитных пленок	6	412
<i>Манташян К. А.</i> (см. Кантарджян Л. Т.)	4	309
<i>Марикян Г. А.</i> (см. Бостанджян Н. Х.)	6	391
<i>Марикян Г. Г.</i> (см. Анохин М. В.)	5	362
<i>Мартиросов Р. М.</i> (см. Зазян М. З.)	1	73
<i>Мартиросов Р. М.</i> (см. Керопян М. И.)	3	224
<i>Мартиросян Р. Г.</i> (см. Егиян К. А.)	1	42
<i>Мартиросян Р. Г.</i> (см. Шахпарян В. П.)	6	446
<i>Матевосян К. А.</i> (см. Бостанджян Н. Х.)	6	391
<i>Матинян С. Г.</i> (см. Акопов Н. З.)	3	161
<i>Меликян Р. А., Орлов Ю. В., Хейфец С. А.</i> Квантовая теория движения электрона в синхротроне с учетом автофазирующего поля. I. Волновые функции	2	85

<i>Меликян Э. Г., Аракелян В. М.</i> Влияние магнитного поля на вольт-амперные характеристики анизотропно деформированного диода	5	381
<i>Мергелян О. С.</i> Поле заряженной частицы, движущейся в гиротропной периодически неоднородной среде	2	100
<i>Мергелян О. С.</i> (см. Айвазян Ю. М.)	3	178
<i>Митоян С. В.</i> (см. Григоров Н. Л.)	2	93
<i>Мкртчян Г. С.</i> (см. Адамян В. Е.)	3	232
<i>Мовсисян Л. М., Аветисян Ю. О.</i> Расчет характеристик неоднородного волновода при синхронном взаимодействии тока пучка с бегущей электромагнитной волной	5	377
<i>Мурадян А. Ж., Адоц Г. Г., Коломиец В. Г.</i> Прохождение интенсивной монохроматической волны через резонансную среду	5	331
<i>Навасаряня М. А., Безираяня П. А.</i> Динамика изменения интенсивности Лауэ-отраженного пучка при непрерывном изменении величины температурного градиента	2	103
<i>Навасаряня М. А.</i> Новые варианты рентгеновских интерферометров и резонаторов	3	187
<i>Нагорский Г. А.</i> (см. Серов В. Л.)	5	326
<i>Наринян В. Т., Туманян А. Р.</i> Устройство для получения синхронизирующих импульсов при малой скорости изменения напряженности магнитного поля в электромагните синхротрона	4	279
<i>Нерсесян Д. А.</i> (см. Аванесов Г. Т.)	4	300
<i>Никитин Н. Н.</i> (см. Анохин М. В.)	5	362
<i>Никогосян В. Ц.</i> (см. Есин С. К.)	3	205
<i>Ованесов Г. Г., Нерсесян Д. А., Кабалаян Ю. К.</i> Кристаллизация и плавление хлоропренового каучука	4	300
<i>Оганесян А. Г.</i> (см. Алиханян А. И.)	4	300
<i>Оганесян А. Г.</i> (см. Канканян С. А.)	4	305
<i>Оганесян Р. С., Абрамян М. Г.</i> О колебании вращающейся жидкой сферы при наличии тороидального магнитного поля	1	63
<i>Оганесян С. Г.</i> (см. Аветисян Г. К.)	1	12
<i>Оганесян С. Г., Аветисян Г. К.</i> Квантовые эффекты при взаимодействии электронов с плоской электромагнитной волной в среде	6	395
<i>Орлов Ю. Ф.</i> (см. Меликян Р. А.)	2	85
<i>Останина Т. А.</i> (см. Айвазян Х. Г.)	4	290
<i>Погосян Я. М., Гэрян З. М.</i> К вопросу о сползании доменных границ	4	261
<i>Погосян Я. М., Гэрян З. М.</i> О некоторых особенностях перемагничивания пленок с ферро-антиферромагнитным взаимодействием	6	418
<i>Саакян Г. С.</i> (К 60-ти летию со дня рождения)	4	312
<i>Савельева А. И.</i> (см. Григоров Н. Л.)	2	93
<i>Саноян Ю. Г.</i> (см. Егиян К. А.)	2	140
<i>Сардарян В. С., Азизян А. О.</i> Об одной возможности усиления гиперзвука светом в условиях размерного квантования	1	76
<i>Сардарян Р. А.</i> (см. Антонян К. Г.)	3	168
<i>Серов В. Л., Нагорский Г. А.</i> Возбуждение цилиндрического резонатора линейным сгустком с произвольным распределением заряда	5	326
<i>Синянян Л. Г.</i> (см. Геворкян Р. Г.)	6	438
<i>Смирницкая Г. В., Егиазарян Г. А.</i> Экспериментальное исследование колебаний в разряде с осциллирующими электронами при низких давлениях	2	133
<i>Тадевосян А. А., Блистанов А. А., Дургарян А. А., Шаскольская М. П.</i> Температурная зависимость внутреннего трения в монокристаллах	5	343
<i>Таманян А. Г.</i> (см. Алиханян А. И.)	3	228
<i>Таманян А. Г.</i> (см. Канканян С. А.)	4	305
<i>Тащян А. А.</i> (см. Багдасарян Л. С.)	5	371
<i>Тер-Антонян Р. В.</i> (см. Геруни П. М.)	4	304

Терминасов Ю. С. (см. Акопян Р. П.)	1	37
Тохмахян М. Г. Об одном методе возбуждения транзисторного каскада с индуктивной нагрузкой, обеспечивающем оптимальные переходные характеристики тока и напряжения	5	356
Трофимчук Н. Н. (см. Лорикян М. П.)	1	33
Труни К. Г., Варданян Д. М., Безирганян П. А. Приближение сферических рентгеновских волн в случае Брэгга	2	118
Труни К. Г., Безирганян П. А. Линии потока энергии рентгеновских волн при отражении по Брэггу	4	252
Труни К. Г. (см. Эйрамджян Ф. О.)	3	193
Туманян А. Р. (см. Есин С. К.)	3	215
Туманян А. Р. (см. Наринян В. Т.)	4	279
Халдыбанов В. Х. (см. Багдасарян Л. С.)	5	371
Халлахчян С. Г. К анализу процесса возбуждения параметрона	6	451
Харитонов В. М. (см. Анохин М. В.)	5	362
Хачатрян Ж. Х. Конверторы излучения для вакуумного ультрафиолета и приборы на их основе	5	367
Хейфец С. А. (см. Меликян Р. А.)	2	85
Худавердян А. Г. (см. Абрамян Л. О.)	4	283
Царукян Т. М. Полосковый балансный направленный параметрический усилитель на частоте сигнала $f_c = 720$ Мгц	6	457
Чалтыкян В. О. (см. Адонц Г. Г.)	1	28
Чечерников В. И. (см. Калантарян В. П.)	3	197
Чилингарян Ю. С. (см. Гюзальян Р. Н.)	2	125
Шаскольская М. П. (см. Тадевосян А. А.)	5	343
Шахназарян Н. В. (см. Адонц Г. Г.)	1	28
Шахназарян Ю. Г. (см. Акопов Н. З.)	3	161
Шахпарян В. П., Мартиросян Р. М. К вопросу о применении андалузита в парамагнитных усилителях миллиметрового диапазона	6	446
Эйрамджян Ф. О., Труни К. Г., Безирганян П. А. Интерферометр с четырьмя широкими блоками	3	193
Энфиаджян Р. Л. (см. Казарян А. Л.)	1	47
Ян Ши (см. Авакян А. Л.)	1	3
Ян Ши (см. Гарибян Г. М.)	4	213

Բ Ո Վ Ա Ն Դ Ա Կ Ո Ի Թ Յ Ո Ի Ն

Ն. Խ. Բոստանջյան, Գ. Տ. Վարդումյան, Գ. Հ. Մարիկյան, Կ. Ա. Մարևոսյան. Կապարի և այլումինիումի մեջ ոչ առաձգական միջուկային փոխազդեցության կրտսերվածքի չափումը կայծային խցիկների և իոնացման կալորիմետրի օգնությամբ	391
Ս. Գ. Հովհաննիսյան, Հ. Կ. Ավետիսյան. Քվանտային էֆեկտներ միջավայրում ազատ էլեկտրոնների և հարթ էլեկտրամագնիսական ալիքի փոխազդեցության ժամանակ	395
Ն. Ա. Կոռյանայան. Օնդուլյատորային ճառագայթման որոշ հարցերի վերաբերյալ	405
Ո. Հ. Մամյան. Երկչերտ ֆերոմագնիսական թաղանթների դիֆերենցիալ թափանցելիությունը	412
Յա. Մ. Պաղոսյան, Զ. Մ. Գգրյան. Յերո-անտիֆերոմագնիսական փոխազդեցությամբ կապված թաղանթների վերամագնիսացման որոշ առանձնահատկությունների մասին	418
Գ. Մ. Ավազյանց, Վ. Մ. առաքյունյան. Խորը ակցեպտորային կենտրոններ և էլեկտրոնների համար կալորական մակարդակների պարունակող համակշռված կիսահաղորդիչներում կրկնակի ինժեկցիայի տեսության վերաբերյալ	429
Ռ. Գ. Գեորգյան, Լ. Գ. Սինաեյան. Ստատիստիկ թերմոդինամիկայի հավասարակշիռ ֆունկցիայի բաշխման հիմնավորման հարցի շուրջը	438
Վ. Պ. Շախպարյան, Ռ. Մ. Մարտիրոսյան. Միլիմետրային դիսպազոնի պարամագնիսական ուժեղացուցիչներում անդալուզիտի կիրառության հարցի շուրջը	446
Ս. Գ. Խալպախյան. Պարամետրոնի զրգաման պրոցեսի վերլուծության վերաբերյալ	451

ՀԱՄԱՌՈՏ ՀԱՂՈՐԴՈՒՄՆԵՐ

Թ. Մ. Մառուկյան. Շերտավոր բալանսային ուղղորդված պարամետրիկ ուժեղացուցիչ $f_c = 720$ մգհց աղղանշանի հաճախության վրա	457
--	-----

ԽՈՐՀՐԴԱԿՑՈՒԹՅՈՒՆՆԵՐ ԵՎ ԿՈՆՖԵՐԱՆՍՆԵՐ

Հայկական ՍՍՀ ԳԱ ֆիզիկա-մաթեմատիկական գիտությունների բաժանմունքի նստաշրջանը (11 հոկտեմբերի 1973 թ.)	461
Հեղինակային ցանկ	465



СОДЕРЖАНИЕ

<i>Н. Х. Бостанджян, Д. Т. Вардумян, Г. А. Марикян, К. А. Матевосян.</i> Измерение сечения неупругого ядерного взаимодействия в Pb и Al с помощью искровых камер и ионизационного калориметра	391
<i>С. Г. Оганесян, Г. К. Аветисян.</i> Квантовые эффекты при взаимодействии электронов с плоской электромагнитной волной в среде	395
<i>Н. А. Корхмязян.</i> Некоторые вопросы теории ондуляторного излучения	405
<i>В. А. Мамян.</i> Дифференциальная восприимчивость двухслойных ферромагнитных пленок	412
<i>Я. М. Погосян, Э. М. Гэрян.</i> О некоторых особенностях перемагничивания пленок с ферро-антиферромагнитным взаимодействием	418
<i>Г. М. Авакьянц, В. М. Арутюнян.</i> К теории двойной инжекции в компенсированных полупроводниках, содержащих глубокие акцепторные центры и электронные уровни прилипания	429
<i>Р. Г. Геворкян, Л. Г. Синанян.</i> К вопросу об обосновании равновесной функции распределения статистической термодинамики	438
<i>В. П. Шахпарян, Р. М. Мартиросян.</i> К вопросу о применении андалузита в парамагнитных усилителях миллиметрового диапазона	446
<i>С. Г. Халпахчян.</i> К анализу процесса возбуждения параметрона	451

КРАТКОЕ СООБЩЕНИЕ

<i>Т. М. Царукян.</i> Полосковый балансный направленный параметрический усилитель на частоте сигнала $f_0 = 720$ Мгц	457
--	-----

СОВЕЩАНИЯ И КОНФЕРЕНЦИИ

Научная сессия Отделения физико-математических наук Академии наук Армянской ССР (11 октября 1973 г.)	461
Авторский указатель	465

